トリカブト属植物の塩基成分と

その化学変換に関する研究

高山広光

且 次

総論の部

序	論	•••••	1
第	一章	各産地トリカブトの塩基成分に関する研究	
	第一節	う 高尾山産ヤマトリカブトの塩基	6
	第二節	ロンプトリカブトの塩基成分と Ezochasmanine	
		1) Vilmorrianine An合成	22
第	二章	C19 ジテルペンアルカロイトの化学変換	
		に関する研究	
	第一節	i Isodelphinineの合成 — アコニットアルカロイドの	
		C15α位への水酸基導入に関する研究―	41
	第二節	新塩基 15-a-Hydroxyneoline の部分合成	
		による構造決定	63
	第三節	b Lycoctonine型アルカロイドから aconitine型	•
		アルカロ仆"への化学変換に関する研究・・・・・・・・・	83
第	三章	アコニットアルカロイドの構造し	
•		毒性発現原因に関する研究	75
	3		
結	語	•••••••••••••••••	81
鈉	辞		83

実験の部

第一章第一節に関する	実験 85
第一章第二節に関する	実験96
第二章第一節に関する	実験 113
第二章第二節に関する	実験130
第二章第三節に関する	実験133
第三章に関する実験	137
文	144

キンポウゲ科 (Ranunclaceae) トリカブト属 (Aconitum) 植物は、世界各地、特に北半球の寒帯から温帯に自生する多年 生草本であり、その種類は極めて多数にのぼっている。その猛 毒性から古くより注目を集め、日本ではアイヌが矢毒として使 用していることで有名である。トリカブト属はヒエンソウ属 (Delphinium) およびレイジンソウ属 (Lycoctonum) と極 めて近縁関係にあり、三者の向には共通の成分もいくつか見い 出されている。トリカブト属植物の塩基成分としては、1833 年、Geiger および Hesse が欧州産トリカプト Aconitum Napellus から aconitine と命名する化合物を分離したのが 最初である。り その構造研究に関しては、1936年に始まる Jacobs 一派の仕事²⁾、我が国においては真島、杉野目、田村 らの仕事をもって嚆矢とし、これらは初期の仕事として高く評 価されている。しかしながら、これ以後の各国における多数の 研究にもかかわらず、その後分離されたいくつかの塩基を含め、 それらの構造口長年の向、不明のまま残されてきた。が、19-54 年に至り、カナダの Wiesner教授がメキシコ産 Garrya 属植物より得たジテルペンアルカロイドの構造解析の結果を利 用して、トリカブト属アルカロイドの一つ、 atisine (2)の構 造も明かにした。3) 1956 年には同じくカナダの Marion教授 らにより Delphinium, Aconitum, Lycoctonumに共通のアル カロイド lycoctonine の誘導体 (des(oxymethylene)lycoctonine hydroiodide monohydrate)のX線結晶解析が行われ、 lycoctonine の構造が (3) 式と提出された。4) (その後, 1981

(3)

Atisine

(2)

Lycoctonine Chart 1

年に至り、C1 位をα-methoxy 基と訂正した論文が発表され た。5)。 また、aconitine に関しては、Marionらによる des methanol aconinone hydroiodide trihydrate の×線解析 の結果4)と、Wiesner らによる合成研究の結果6)より最終的 に (1) 式が提出された、最近では jesaconitine (4), HCl04塩 の直接法による単結晶X-線構造解析も報告されている。7 以来、これらの研究を基礎として、また、分離技術・各種スペ クトルの進歩と共にトリカブト属アルカロイドの大半の構造が 明かにされた。 特に日本においては、杉野目らによる研究に 引き続き、落合・岡本グループにより C20型ジテルペンアルカ ロイドを中心に構造研究が進められた。9),10) 現在までの研究 で明かにされたところによると、トリカブト属アルカロイドは ニっのグループに大別することができる。") (Chart 2) その一つは aconitine (1)を代表とするもので、炭素数19より なる基本骨格を持ち、水酸基、メトキシ基あるいはメチレンジ オキシ基などを多く有し、そのエステルアルカロイドは一般に

aconitine type

atisine type

Chart 2

猛毒性である。この Ciqジテルペンアルカロイドはさらに二っ カグループに分類されている。⁽¹⁾、⁽¹⁾ (p68 を参照) 他の一つは atisine (2) を代表とするもので、一般に毒性は少なく炭素数 20 からなる基本構造を有し、水酸基は比較的少なく、メトキシ基、メチレンジオキシ基を持たない。後者のタイプの化合物は、さらに細かく分類することも試みられている。⁽³⁾

これらアルカロイドの合成研究も盛んに行われており、比較的簡単な構造を有する atisine (2)¹⁴⁾、 veatchine (5)¹⁵⁾ の全合成に始まり、最近では Wiesnerらにより、さらに複雑な

Chart 3

骨格を有したアルカロイド (denudatine (6)16), napeline (7) , talatizamine (8) 18) , chasmanine (9) 19) か立体選択 的かつ効率のよいルートで合成されている。 (Chart 3)

先にも記したが、クロマトグラフィーなどによる分離技術, および各種機器分析技術の進歩はめざま しく、特に ¹³C-NMR のこの分野への適 用は、アコニットアルカロイドが固定さ 川た "かご型構造"を有している(Fig.1) がゆえに大きな威力を発揮する。したが

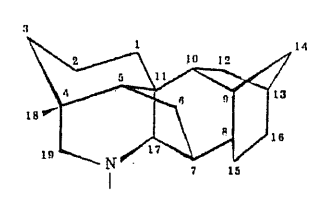


Fig. 1

って非晶形の微量塩基の構造解析をも可能にした。落合らの日 本産トリカブトについての研究によれば、同一学名を有するト リカプトでも産地により成分が異なることがある。20) 最近の進歩した技術を駆使し、トリカブド属植物の微量塩基成 分とも単離構造決定することは, 植物学的に分類が困難である とされている本植物の正しい分類の手がかりとなるばかりでな く,ほとんど解明されていないアコニットアルカロイドの生合 成ルート型の研究にも何らかの示唆を与えることができるであ ろうし考える。

一方、トリカプト根は、古くから中国、日本にて附子(鳥頭) として漢方で用いられている。 虚寒証み 患者の衰えた新陳代謝 と亢進させる効力を持つとされ、湯液療法では欠くことのでき ない薬物である。附子のもつ多くの生理活性の本体を追究する ことも行われるようになり、ハくつかの成果が上がっている。 また、最近、中国において 3-acetyl-aconitine (14)が cocaine の 100 倍の鎮痛,麻酔作用を持つことがわかり,

臨床にも応用されているとい う報告がある。23)しかし、 現在めが国においては、トリ カブト根を物理的方法。例え ば食塩水浸漬,加熱などによ り無毒化し使用しているよす

Chart

ざない。そこで、種々のアコニットアルカロイドの毒性をスク リーニングし、構造上の毒性発現要因を明かにすることは、附 子の安全かつ有用な利用法の確立における基礎研究と考えた。

又,アコニットアルカロイドは分子内に数多くの官能基(例 えば、三級室素、複数の水酸基·×トキシ基、エステル結合、 カルボニル基、二重結合 etc.…)を有し、更に立体的にも特殊 な構造を有している(Fig.1)ので、多量に入手可能な主成分 も有機反応により他の成分へ誘導してゆくことは高選択的な反 応の研究対象となるばかりでなく、微量天然物を短工程で多量 に得る方法を提供するものと考える。

以上のような見地から、筆者は二種のトリカブト属植物の塩 基成分研究(第一章)と、これら塩基を用いた他のアルカロイ ドへの化学変換(第二章)を研究した。また、これら一連の化 合物の毒性を調べ、構造上の毒性発現要因につき考察した。(第三章)

第一章 各産地トリカブトの塩基成分に関する研究

第一節 高尾山産ヤマトリカブトの塩基 24)

高尾山(東京都)産ヤマトリカブト(Aconitum japonicum Thunb.)の塩基成分の研究は、約20年前、落合らによって行めれているが、25)他産地のヤマトリカブトと異なり、aconitine (1)、mesaconitine (15)、hypaconitine (16)等の猛毒性塩基を含まぬ特異的なトリカブトである。今回、著者は最近20年間の分離技術並びに機器分析の進歩を考え、本植物合有塩基成分の再検索を行った。その結果、新塩基5種を含む10種のアルカロイドを単離構造決定することができた。

1977年5月、東京都下高尾山木下沢地区で採集したヤマト

Table l	Isolated	Alkaloids	and	their	Yield

	Alkaloids		mg(%)a)	mg(%)b)	mg(%) c)
	Isohypognavine HCl salt	(17)	531(7.27)	32(1.23)	968(6.22)
*	ll-Acetylisohypognavine	(18)	151(2.07)		
*	Diacetylisohypognavine	(19)	23(0.32)		
	Isotalatizidine	(20)	14(0.19)	1(0.04)	-
	Condelphine	(21)		13(0.50)	
*	14-Acetyltalatizamine	(22)		67(2.58)	
	Delcosine	(23)	644(8.82)	69 (2.65)	654(4.19)
*	Takaosamine	(24)		41(1.58)	
	Dehydrodelcosine	(25)	132(1.81)	30(1.15)	1088(6.98)
*	Takaonine	(26)	62(0.85)	17(0.65)	
	Takao base II	(27)			32(0.22)

a) The crude base(7.3g) was isolated from fresh root(3.7Kg) of Aconitum japonicum Thunb. collected 1977, May.

b) The crude base(2.6g) was isolated from fresh stem and leaf (4.6kg) of A. japonicum Thunb. collected 1977, May.

c) Ref. 25): The crude base(15.6g) was isolated from fresh root (11.6kg) of A.japonicum Thunb. collected 1955, March.

リカブトを地上部および地下部に分け、実験の部に記載のごとくメタノール冷浸により抽出し、得られた粗塩基をアルミナおよびシリカカラムクロマトグラフィー、 preparative thin layer chromatography (p-TLC)を併用することにより分離した。その結果を落合らの報告 と比較して Table I に示した。 (Table 中、星印口今回単離された新塩基である。) 猶、前回得られている Takao base II (27) は得られず、又、四級塩基の存在は認られなかった。

以下、Table 1 の順に従って各塩基の単離と構造決定について記す。

Isohypognavine (17)

本物質は地下部,地上部共シリカカラムクロマトの高極性溶出部より得られる非晶形塩基である。本塩基は塩酸塩(mp 189~191.5°(dec.)) を与え、質量(MS

Isohypognavine (17)

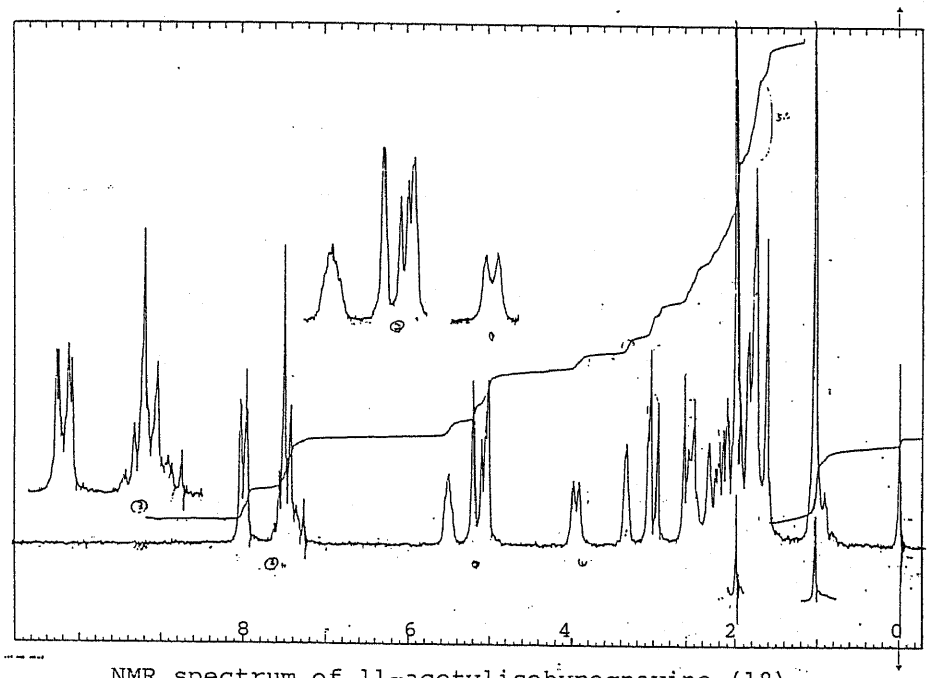
)スペクトル並びに元素分析値より C27H31NO4の分子式を示す。また、赤外線吸収(IR)スペクトルにおいて、-OH(3400 cm⁻¹)、ROCOPh(1710 cm⁻¹)、CH2(1640 cm⁻¹)の吸収が見られ、紫外部吸収(UV)スペクトルは安息香酸エステルに由来する吸収を示す。核磁気共鳴(NMR)より、エキソメチレン、二級アルコール×2の存在等が示唆される。以上の物理恒数並びにスペクトルデータは既報の文献25)なよび鎌田の報告²⁶⁾に一致することから isohypognavine (17) であることを確認した。

11-Acetylisohypognavine (18)

地下部より得られた isohypognavine (17) 塩酸塩の結晶母液を遊離 塩基ヒレ、アルミナカラムクロマト

11-Acetylisohypognavine (18)

にて分離精製し、アセトンより結晶化すれば、mp 187.5~188.5°の無色プリズム晶が得られる。本品は新塩基であるが、各種スペクトルデータも isohypognavine (17) と比較することによりその構造を明確にした。すなめち元素分析値および MS スペクトルにおいて 5475に分子イオンピーク (M*)を与えることより本分子式は C29 H33 NOs であり、 isohypognavine (17) より COCH3基が一つ多いことを示している。 IR スペクトルは-OH、-OCOCH3 (1735 cm-1)、-OBz に由来する 吸収を示す。 NMR スペクトル (Fig. 2) では かぶの6 (1H,d) と か、1.98 (3H,s) に新



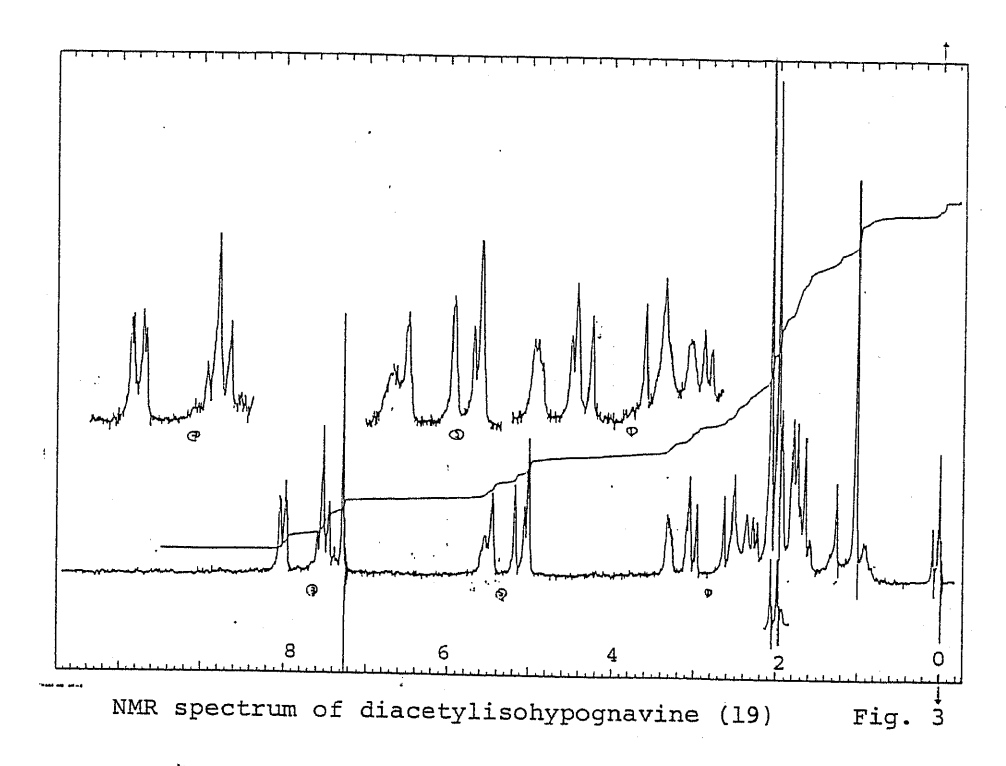
NMR spectrum of ll-acetylisohypognavine (18)

Fig. 2

しいピークが出現した以外は isohypognavine (17) の NMR スペクトルと非常によく類似している。 すなわち前者のピークは C_{11} 位の水酸基がアセチル化されたことにより、そのつけ根のプロトンが (17)に比べ 1.06 ppm 低磁場シフトしたものとアサインできる。この構造は化学的にも証明された。(Chart 5) (17)をアセチル化して得た diacetylisohypognavine (19) と本塩基をアセチル化したものは完全に一致することより、両者は同一骨格を有している。また、本塩基を MnO_2 にて酸化すれば $\alpha\beta$ - 不飽和ケトン (28) を与えることより C_{15} - OH、 C_{n} -OAcである。以上の結果より本塩基を 11- 11

Diacetylisohypognavine (19)

地下部粗塩基のシリカカラムクロマト・8% MeOH-CHCl3溶 出部をシリカ更にアルミナカラムクロマトにて精製し、Ft2On-hexane より結晶化すれば、mp181~183°の無色針状晶が得



ら川る。元素分析値、MS スペクトルから isohypognavine (17)より COCH3 基がニケ多いことが示唆される。また、NMR スペクトルにおいてよ2.06、1.98 (each 3H、s) と共に、よ5.03に 1H、d、で Cn 位のプロトンが、よ5.45 に 1H、s.で Cis 位のプロトンがそれぞれ OAc 基のつけ根として観測される。以上のことより本塩基は isohypognavine (17)の diacetyl 体と推定し、(17)を無水酢酸ーピリジンにてアセチル化して得たものと比較したところ、混融試験、IR スペクトル共に一致したので、diacetyl isohypognavine (19) であると決定した。

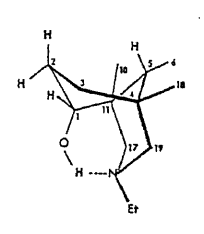
Isotalatizidine (20)

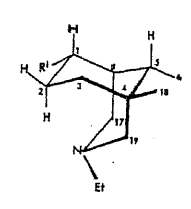
本塩基はシリカカラムクロマトの10~ 15%MeOH-CHCl3溶出部をアルミナ更に

Isotalatizidine (20)

シリカカラムクロマトにて精製することにより mp 115.5~116° の結晶として、地下、地上部から得られる。 MS スペクトルにおいて m/2 407 に M⁺ を示し、元素分析値で C₂₃ H₃₇ NOs を与える。 IR スペクトルは 3350 cm⁻¹に水酸基の 吸収が見られ、 NMR スペクトルにおいて、 N- Et基、- OMe × 2、 よ 3.72 (IH、 broad s、 Wh= 6 Hz、 C₁-β-H) が観測される。以上の物理恒数

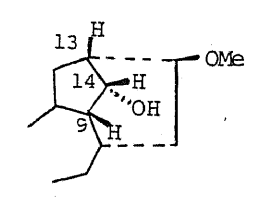
脚注!): C19 - ジテルペンアルカロイドが C1 位に a OH を有している場合,この OHと N: が水素結合を形成しその結果 A環はボート型で存





在している(左図)。このため C_1 位の β Hと、 C_2 位の二つのHとがなす角度は夫々ほぼ 60° となるので、 C_1 - β -HのNMRは β broadな β singlet (β s

脚注 2): 分子模型より、C14BH の立体配置は C9BH、C13BHヒ夫々ほぼ同じ 45°の角度で 存在し、これが triplet およびその丁値が適 切な値であることがわかる。



並びにスペクトルデータより既知化合物の isotalatizidine (20) と推定し、Pelletier 教授より分与していただいた condel phine (21) もアルカリ加水分解して得た isotalatizidine (20)と比較したところ、TLC、IR、MS スペクトル、混融試験共に一致した。したがって本塩基は isotalatizidine (20)である。

猫,落合らが Kajigamori base と仮称し報告した塩基²⁹⁾ は isotalatizidine (20) である事を TLC, 混融試験, IR, NMR, MSスペクトルにて認めた。

Condephine (21)

地上部粗塩基のシリカカラムクロマト・10% MeOH-CHCl3溶出部をアルミナカラムクロマト更に p-TLC で精製し得られるmp 156~157.5°の塩基である。MSスペクトルおよび元素分析値より C25 H39 NO6を与え、IR スペクトルは1740 cm⁻¹にエステルのカルボニルの吸収を示す。NMR スペクトルにおいてアセチル基の存在並びにそのつけ根のプロトンのシグナルがδ4.85に triplet, J=4.5 Hz で特徴的に現れ、これは C14-β-Hの存在を示す。(p11の脚注1))以上のことより本塩基は condel phine (21) と推定し、Pelletierの標品と比較したところ、

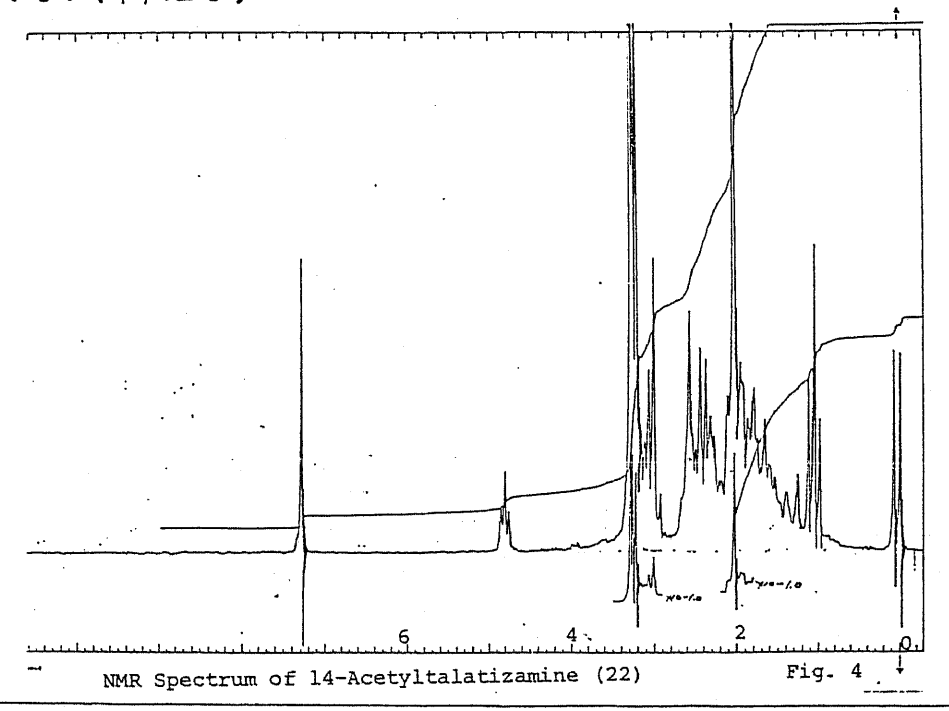
TLC, IRスペクトル、混融試験で一致した。

14 - Acetyltalatizamine (22)

本塩基は地上部粗塩基の30%MeOH-CHClョ 溶出部を更にアルミナカラム クロマトで精製して得られる。MS

14-Acetyltalatizamine (22)

スペクトルにおいて 1½463に M[†]も示し、432(M[†]- ome)にで - スピークを与えることより、C₁- OMe 基であることが推定で きる。(脚注3)



脚注3): C₁₉-ジテルペンアルカロイドはMS スペクトルドおいてC₁位のα配置の置換基が開製したもの(右図)がベースピークとして現めれる。^{20)、31)}

IRスペクトルにおいて 1740 cm にエステルのカルボニルの吸収を示し、NMRスペクトルでは (Fig.4)、N-Et, -OMe×3 の他によ2.03に COCH3、よ4.80 にt, J=4.5 Hz で CHBH が OAcのつけ根として観測される。こらに ¹³ C-NMR を Condelphine (21)のそれ ²²と比較すると、 (21)の C1-α-OHを -OMe基に変換したことによるケミカルシフトの変化として説明できる。 (Table 2)すなわち (22) ヒ (21) かよび chasmanine (9) (C1-α-OMe) と neoline (29) (C1-α-OH) を対応させると、 A 環付近の炭素 (C1,2,3,5,19等)のケミカルシフトの変化がよく一致している。以上のことより本塩基を14-acetyltalatizamine (22)と推定し、これを

Table 2 13C Chemical Shifts and Assignments

carbon	(22)	(21)	(9)	(29)	
1	85.7	72.1	86.1	72.3	
2	26.2	29.1	26.0	29.5	
3	32.7	29.7	35.2	29.9	
4	38.5	37.3	39.5	38.2	
5	45.4	41.4	48.8	44.9	PO TOMe
6	24.9°	25.1	82.5	83.3	RO JA OAc OME
1 2 3 4 5 6 7 8	46.3	45.8	52.8	52.3	2 OAC
. 8	73.6	74.5	72.6	74.3	
	45.9	44.6	50.3	48.3	5 V OF
10	45.0	43.5	38.4	40.7	19 1,8
11	48.8	49.0	50.4	49.6	MeO
12	28.5	26.7	28.6	29.8	R=OMe, (22)
13	35.5	37.0	45.7	44.3	· /
14	77.0	76.9	75.5	75.9	R=H, Condelphine (21)
15	41.0	42.4	39.2	42.7	
16	81.7	82.2	82.2	82.3	PO TOME
17	62.2	63.5	62.4	63.6	RO OH OME
18	79.5	79.0	80.8	80.3	
19	53.2	56.6	54.0	57.2	/-N / / 1
N-CH ₂	49.4	48.4	49.3	48.2	OH
CH ₃ OMe 1	13.6	13.0	13.6	13.0	Mac ÖMe
OMe 1'	56.2		56.3		MeO
16'	56.2		57.2	57.8	R=OMe, Chasmanine (9)
18'		55.9	55.9	56.3	R=H, Neoline (29)
1	59.5 170.6	59.3 170.3	59.2	59.1	it ii, Neorrile (29)
O=C CH ₃	21.4	21.2			
CH3	4.4	41.4			

a) In ppm downfield relative to $\mathrm{Me_4Si}$, solvent CDCl $_3$

(Ashio base I)

加水分解し(chart 7), 東京大学(葉)岡本教授より分与してい ただいた標品の talatizamine (8) と比較したところ、TLC. MS, IR, 混融試験にて一致した。

猫,落合らが ashio base I と仮称し報告した塩基 は、talatizamine (8)であることを、TLC、混融試験、IR、NMR、MS スペクトルにて認めた。

Delcosine (Takao base I) (23)36)

地下部,地上部共,シリカ続いてア ルミナカラムクロマトドて精製し、mp 189~192.5°の結晶として得られる主

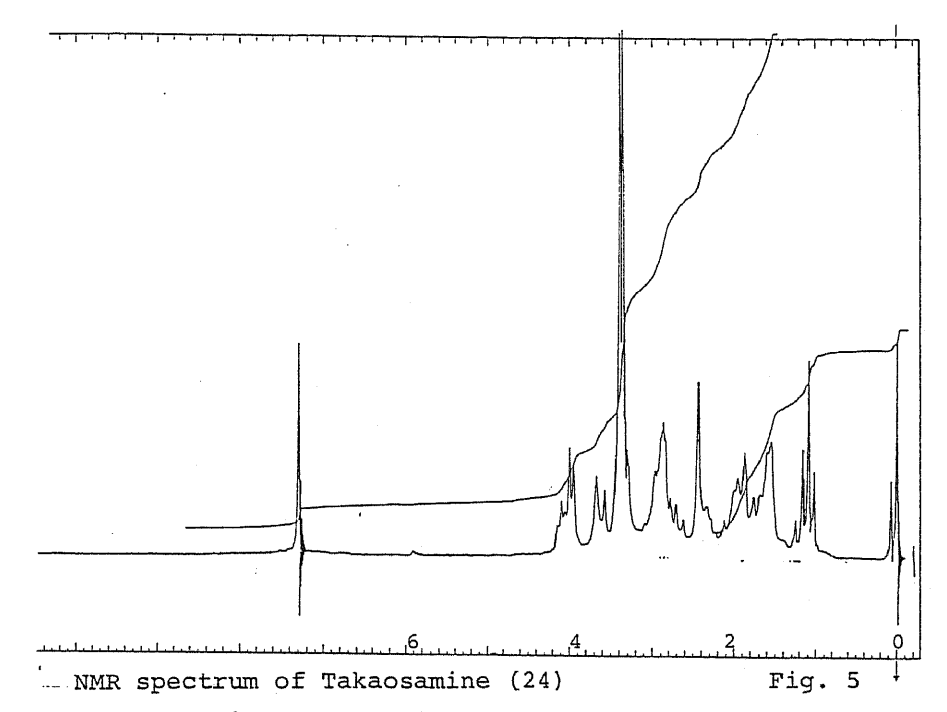
Delcosine (23) (Takao base I)

塩基である。IR, NMRスペクトルタび Takaosamine (24) TLCが標品と一致し、混融試験においても融点降下を示さない

ことから本塩基は del cosine (23)である。

Takaosamine (24)

本塩基は地上部粗塩基のシリカカラムクロマト 20% MeOH-CHCl3 溶出部をアルミナ更にシリカカラムクロマトで精製する ことにより mp 174~175°の結晶として得られる新塩基であり。 takaosamine (24) と命名する。 [a] + 61.2° (CHCl3)を示す。IR スペクトルロ 3450 cm-1 に水酸基の吸収を示し、MS スペクト



ルにおいて m/2 439に M* を与え、そのフラグメントパターンは delcosine (22)、 delsoline (30)のそれ とよく類似している。また、NMR スペクトルにおいて (Fig.5)、N-Et,-OMex2、よ4.00(IH、S.C6αH)、よ4.10(IH、t, J=4.5Hz、C14-β-H)のシグナルを与える。これらのこと等から、本品は delcosine (22) よリメトキシ基のメテル基が一つ少ない lycoctonine 型アルカロイド の骨格を持った塩基であることがわかる。一般および二級アルコールの位置と配置を決めるために、本塩基をアセチル化し、(chart8) そのつけ根のプロトンのNMR を解析した。

OMe

本品を無水酢酸- Loリジン (10°C) ヒぃう条件でアセチル化を 行うと約2:1の割合で diacetate (31) ヒ triacetate (32) を与 えた。 Diacetate (31)は MSスペクトルにおいて が2 523 に M. 464 (M^t-OAc)にベースピークを与える。(p.13の脚注3). NMR スペクトルにおいて よ3.95 (2H,s,-CH2OAc) にシグナルが 現われていることより、一段アルコール(-CH2OH)が存在し たことを示す。また、 & 4.72 (1H, dd, J=6Hz, J2=10Hz)の 結合定数より、CI位に d 水酸基が存在したことが示唆される。 (p.1] の脚注1). Diacetate (31) を 更に アセチル化 (無水酢 酸- ピリジン、82~92°C)すると、triacetate (32) を与える。 本品は先の条件で得た triacetate (32) と同一である。 (32)は NMR スペクトルにおいて \$3.95 (-"CH2OAc), &4.72 (C,-β-H) の他に f4.68 (IH,t, J=4.5Hz)に C14位の βHか OAc基 のつけ根として観測される。(p.11の脚注2).以上のスペクト ルデータの解析により本塩基は delcosine (23) の Cis位のメトキ シ基のメテル基が欠如した構造が推定できる。 そこで本品をジオキサン中 NaH-CH3I(10~ 12°C)という条件 でメテル化したところ OMe Delcosine (23)

(chart 9), C₁₄-0H がメナル化された化合物 (33) と C₁₄-0H, C₁₈-0H がメチル 化された化合物 (30) を得, 前者 は標品の gigactonine

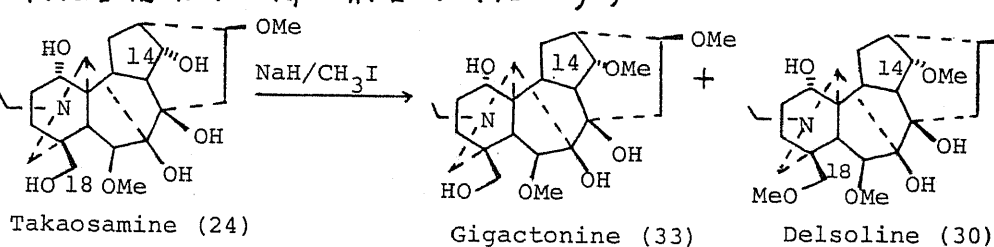


Chart 9

(33)³⁹⁾ k,後者は delsoline (30) (本品は文献 38) に従いde-lcosine (23)より誘導した)と同定した。したがってtakao-samineの構造は 18-O-demethyldelcosine (24)と決定した。

くC1, C14 水酸基のアセチル化に対する反応性について〉アコニットアルカロイドのC1, C14 位の二つの d配置二級水酸基のアセチル化に対する反応性について知見を得た。Takaosamine (24)のアセチル化実験の際 (p.17), C1-OH と C14-OH の向に反応性の差がみられたので、del cosine (23) を用いてこれにつき検討を加えた。 (23)を無水酢酸ーピリジン (10°C) という条件にてアセチル化したところ、1-mono acetate (35)を主生成物として得た。 (chart 10) 本品は Cornforth酸化に付した後、加水分解すれば、5 員環ケトン-ラクタム体 (14-dehydro-oxodel cosine) (38) (IR: 1760 cm⁻¹, 1630 cm⁻¹)を与えることより、

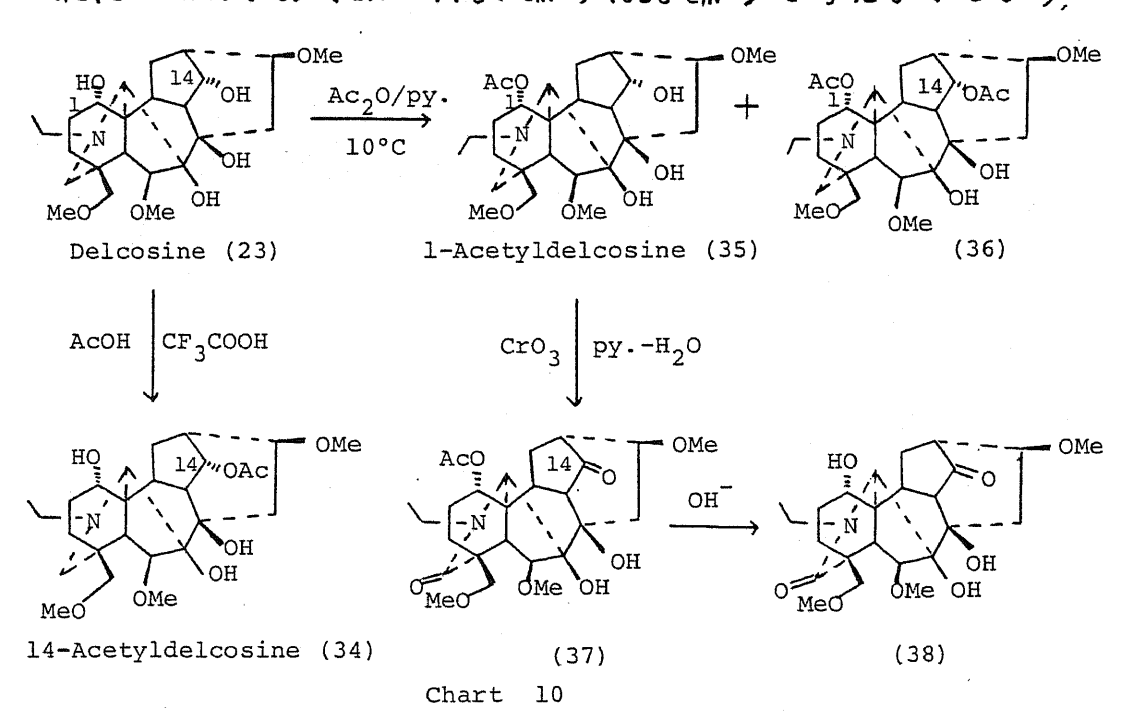


Fig. 6

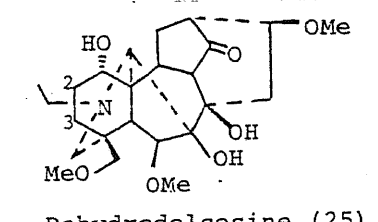
Dehydrodelcosine (Shimobro base I) (25)

地下部,地上部共に比較的低極性部より得られる mp 199~202°(dec.) の塩基である。 MS スペクトルおよび元素分析値より C24H37NOg を与え、IRスペクトルにおいて 1760 cm⁻¹に5 買躍ケトンによる 唆収を示す。これらのこと等から、既報のdehydrodelcosine (25)である鼻を認めた。

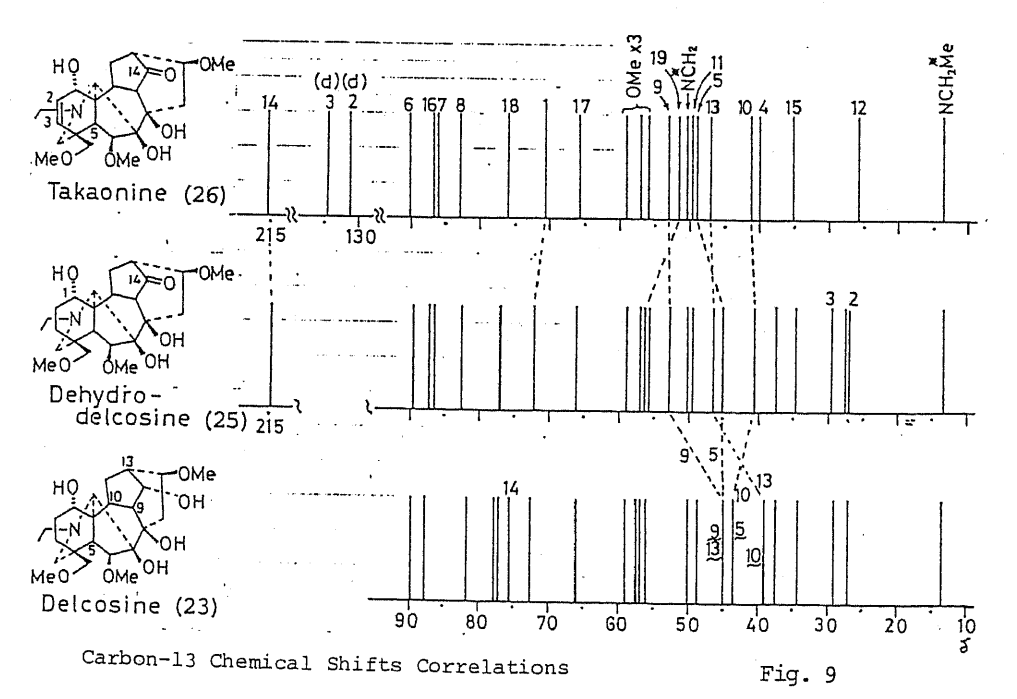
Takaonine (26)

-0.5

地下部, 地上部共に最も低極性塩基として シリカ およびア ルミナカラムクロマ...........CD Spectra of (25),(26)



ルシングレットでオレフィンプロトンが観測され、さらに ¹³C-NMR では 134.5 ppm かよび 131.3 ppm にそれぞれダブレットでシグナルが観測されることより、分子内に -CH=CH- を有することが明かとなった。本品のアセチル体(39)(chart 11)は



H-NMRスペクトルにて から、91 (1H、d、J=10Hz、Ha), から、72 (1H、dd、J,=10Hz、Jz=4Hz、Hb), から、18 (1H,d、J=4Hz、Hc) が観測され、デカップル法により、C-CHa=CHb-C、OACの存在が明確となった。 Delcosine (23) 、 dehydrodelcosine (25) かよび本塩基の ¹³C-NMR を比較検討することにより (Fig. 9、 Table 15)、最終的に takaonine の構造を 2.3-dehydro-14-dehydrodelcosine と推定した。そこで本塩基を接触還元に付したところ delcosine (23)を与え、本品は標品の delcosine (23)と TLC、混融試験、IR、MS スペクトルにて一致した。したがって takaonineの構造は (26)式である。

猫、C2、C3位に二重結合を有する C19-ジテルペンアルカロイドが天然より単離されたのは初めての例である。

第二節 エゾトリカブトの塩基成分とEzochasmanine より Vilmorrianine A の合成 43)

エゾトリカブト(Aconitum yesoense Nakai)は猛毒性の
えアイヌの向で矢毒として使われてきたことで有名である。そ
の含有アルカロイドに関する研究は1950年、杉野目らによっ
て着于され、主塩基 jesaconitine (44)、pseudokobusine (
41)の存在が明かにされた。
44)、落合・岡本らにより、こ
れらアルカロイドを含む数種の主塩基の構造研究が進められ、
近年に至りその構造が明かにされた。また、二波長クロマトス
キャンナー、ガスクロマトグラフィーを駆使したこれら成分の

Table	3	Isolated	Alkaloids	from	10g	of	Crude	Base ^{a)}	
-------	---	----------	-----------	------	-----	----	-------	--------------------	--

Alkaloids		mg	*p)	_울 c)
Kobusine ·	(40)	474	4.74	0.055
Pseudokobusine	(41)	1738	17.38	0.201
Luciculine	(7)	158	1.58	0.018
Lucidusculine	(42)	409	4.09	0.047
* 1-Acetylluciculine	(43)	14	0.14	0.0016
Neoline	(29)	336	3.36	0.039
* 14-Acetylneoline	(44)	12	0.12	0.0014
Chasmanine	(9)	1382	13.82	0.160
* Ezochasmaconitine	(45)	12	0.12	0.0014
* Anisoezochasmaconitine	(46)	10	0.10	0.0012
* Pyrochasmanine	(47)	8	0.08	0.0009
* Ezochasmanine	(48)	204	2.04	0.024
Mesaconitine	(15)	55	0.55	0.0064
Jesaconitine	(4)	365	3.65	0.042
Glaucine	(49)	15	0.15	0.0017

a) The crude base(75g) was isolated from dry root (6.5kg).

b) Based on crude base. c) Based on dry root.

定量法も確立した。45)

今回、本トリカブト 含有塩基成分の再検索を行い、6種の新塩基を含む 15 種の塩基を単離し、これらの化学構造を明めにすることができた。460

1977年7月,北海道幌泉郡チャッナイ地区にて採集したエットリカブトの乾燥粉砕根を実験の部に記載か如くMeOH冷浸により抽出し、得られた粗塩基をアルミナおよびシリカカラムクロマトグラフィー、 preparative TLC を併用することにより分離した。その結果を Table 3 に示す。(星印が新塩基である)以下、 Table 3 の順に従って各塩基の単離と構造決定につき記すこととする。

Kobusine (40) 47). 48). 49)

粗塩基のアルミナカラムクロマトの高極性部(10%MeOHーAcOE+溶出)をアセトンより結晶化し得られる塩基である・IR、MSスペクトル、混融試験にて標品と一致することから kobu-sine (40) であることを確認した。

Pseudokobusine (41) (41), 49), 50)

粗塩基のアルミナカラムクロマトにて
Kobusine (40)より更に高極性部より得 R=0 られる主塩基である。本品も標品との IR,
MSスペクトルの比較、混融試験により
Pseudokobusine (41) であることを認めた。

R=H, Kobusine (40)
R=OH, Pseudokobusine (41)
Chart 12

Luciculine (Napeline) (7) 51)

粗塩基のアルミナカラムクロマト、5% MeOH-AcOEt 溶出部を再度アルミナカラムクロマト続いて preparative TLCKで精製し得られる mp 114~116°の塩基である。本品はIR および NMR スペクトルにおいて、エキソメチレン、N-Et 基、ラC-Me、二段水酸基3個の存在を示すことから、luciculine (7)と推定し、lucidusculine (42) を加水分解して得た化合物と比較したところ、TLC、混融試験、IR、MS スペクトルにて一致した。

Lucidusculine (42)⁵¹⁾

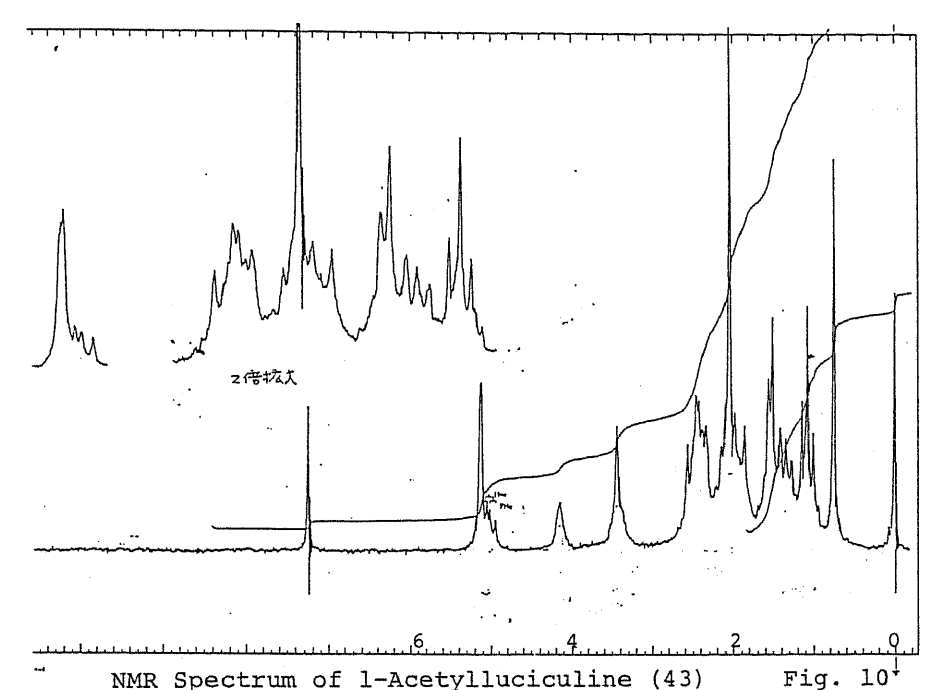
粗塩基のアルミナカラムクロマト,5% MeOH-AcOEt溶出部を再びアルミナクロマトに付し、AcOEt部より得られる融点174~175°の塩基である。MS,IR,

 $R_1=R_2=R_3=H$, Luciculine (7) (Napeline) $R_1=R_3=H$, $R_2=Ac$, Lucidusculine (42) $R_1=Ac$, $R_2=R_3=H$, (43) Chart 13

NMRスペクトルより既報の lucidusculine (42) であること を確認した。

1 - Acetylluciculine (43)

粗塩基のアルミナカラムクロマトの20% AcOEt-benzene 溶出部をシリカカラムクロマトに付し、3% MeOH-CHCl3 部を p-TLC (siO2、acetone: CHCl3=1:1)にて精製し得られる非 晶型の新塩基である。本品は高分解能 MSスペクトルの結果から lucidusculine (42)と同一の分子式 C24H35 NO4 を有し、



加水分解に付せば luciculine (7) を与えることより、lucidusculine (42) カアセチルエステルの位置異性体であることがわかる。 MS スペクトルにおいて、これら一連のアルカロイドは1 位の置換基の脱離を特徴的なピークとして与えるが (p.13の脚注3)、本新塩基はアセトキシ基の脱離した%342にベースピークを示すことより、luciculine (7)の C_1 位の水酸基がアセチル化されていることが強く支持される。更に lucidusculine (42) の NMRスペクトルにおいて、 AcO基のつけ根である C_{15} - α -H は δ δ .28 (IH,s,VV)に超測されるのに対し、本塩基では C_{15} - α -H は δ δ .16 (IH, δ)に超測されるのに対し、本塩基では C_{15} - α - δ 0 に超離水酸基のつけ根として観測され、また、 C_1 - δ 0 に現めれている。これらのスペクトルデータより本塩基の構造を I-acetylluciculine (43)

Table 4.	Carbon-13	Chemical	Shifts	and	Assignments ^{a)}
iabic i.	ourson so		DITTT CD	and	Assignments

carbon	(43)	(42)	(7)	(50) ^{b)}	
1	74.5	69.9	70.5	70.1	
2	27.0	31.6	31.9	31.5	R3
3	30.1	30.5	32.4	31.9	\mathbb{H}_n^3
4	34.4	34.0	34.7	34.0	R ₁ O 20 16 17
5	47.8	47.7	49.4	49.0	
6	~ 23.2	23.7	23.6	23.0	-(-N,), /(12
7	44.7	43.7	45.0	43.4	OR_2
1 2 3 4 5 6 7 8	50.1	49.6	50.3	49.7	19 18
9	36.9	37.7	38.2	35.1	(43) $R_1 = Ac, R_2 = H, R_3$ OH
10	50.4	52.5	53.5	52.1	VID III IIO/III III III OH
11	28.6	29.1	29.4	37.3	(42) $R_1=H, R_2=Ac, R_3(^{H}_{OH})$
12	75.7	75.5	76.2	209.6	(12) HI HIMZ HEARTS OH
13	47.8	48.8	49.9	53.6	(7) $R_1 = R_2 = H$, $R_3 > OH$
14	37.9	36.5	38.4	38.0	11 12 27 13 OH
15	77.5	77.5	77.8	76.9	(50) R ₁ =R ₂ =H, R ₃ =O
16	159.2	153.1	160.8	150.3	(Songorine)
17	108.6	109.5	107.4	111.1	(22302)
18	26.0	26.4	26.4	26.0	
19	57.4	57.9	57.7	57.2	
20	65.2	65.7	66.2	65.8	
N-ÇH2	50.8	50.8	51.5	50.8	
ĊH3	13.4	13.4	13.3	13,5	
ç=o l	171.2	170.6		-	
CH3	22.1	21.6		day day	

a), Chemical shifts in ppm downfield from TMS; solvent is CDCl $_3$ otherwise mentioned. b), Spectrum was taken in pyridine-d $_5$.

と推定した。 更に本品の ¹³C-NMRを lucidusculine (42), luciculine (7), songorine (50)と共に測定し、これらめケミカルシフトを比較したところ (Table 4), C₁位の水酸基がアセテイトとして存在していることがより明確となった。一方、本品を

Aco
$$K_2CO_3$$
 Aco Ac

lucidusculine (42) より化学的に誘導し構造を確認した。 (chart 14) すなわち (42) を無水酢酸-ピリジンにて処理し triacetate (51) とした後,これを K2CO3-ag. MeOH (pH 8.5) にて室温で5時間処理し, 部分加水分解したところ, C12-OAc基のみが加水分解された (52) (収率60%) と C12, C15 の OAc基が加水分解された (43) (収率15%) が得られた。後者 は天然より分離した (43)と TLC, IR, MSスペクトルにて一致した。

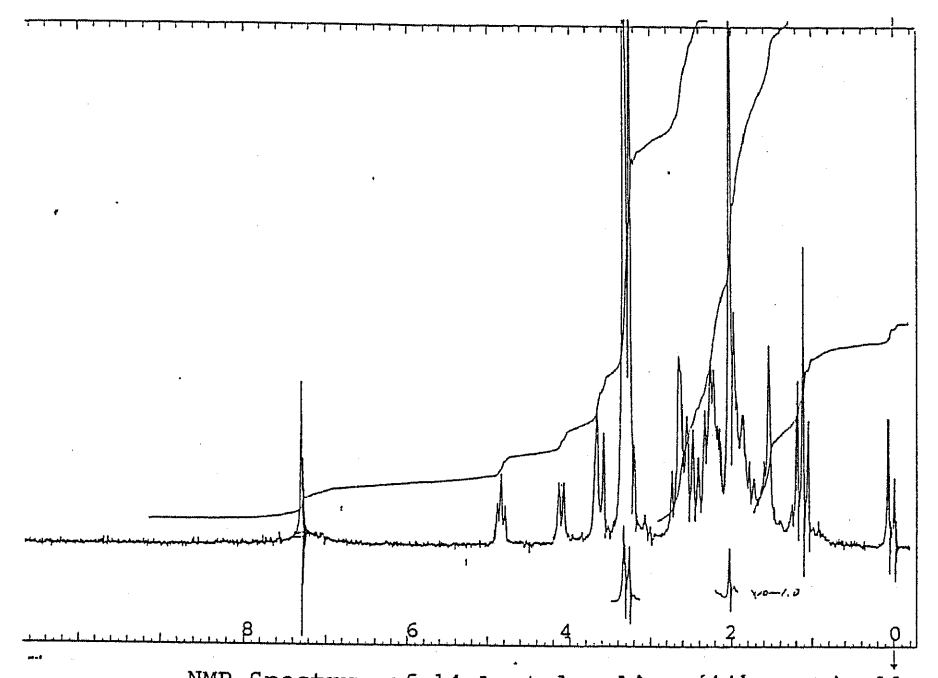
Neoline (29) 27), 55), 56)

粗塩基のアルミナカラムクロマトの ACOEt 溶出部をシリカカラムクロマトに付し、2~5% MeOH- CHCl3部より得られた mp 155~ 157° の塩基である。本品はIR、MS、NMR スペクトルの比較により既報の neoline (29) であることを確認した。

HO (140~) TOMe

14-Acetylneoline (44)

本塩基は 1- acety lluci cu line (43) の精製と同時に得られた非 R=H, Neoline (29)
R=Ac, 14-Acetylneoline (44)



NMR Spectrum of 14-Acetylneoline (44) Fig.11 28 (3H,s,OCOCH3) と δ 4.84 κ t, J= 4.5 Hz で C14-β-H か特徴的に現かれていることより、本塩基の構造が 14-acetylneoline (44) と決定された。本塩基は neoline (29)の C14ニ 総水酸基を選択的にアセチル化することにより合成された。すなわち neoline (29)を AcOH中 CF3 COOH存在下 80° C にて 6時間反応させることにより (44)を 62%の 収率で得た。本条件で C1 位の二級水酸基がアセチル化に抵抗したのは、Fig.6 (ρ.19)に示すようにA環がボート型をとり、窒素にプロトネイトした水素と1位の水酸基が水素結合したためと考えられる。ここで得た化合物は天然の塩基とTLC,IR にて一致した。

14-Acetylneoline (44)

Chart 16

Neoline (29)

Chasmanine (9) 58), 59)

粗塩基のアルミナカラムクロマトの 20~50% AcOE+-benzene 溶出部を n-hexane にて熱抽出し、これを n-hexane より結晶化し得られる主塩基である。物理恒数、 IR, MS, NMR スペクトルより既報の Chasmanine (9) であることを確認した。

Ezochasma conitine (45) 本塩基は粗塩基カアルミナ

MeO OR OR Chart 17

クロマト・5% AcOE+-benzene 溶出部を p-TLC (sio2, 25% アンモニア水飽和エーテル)

 $R_1=R_2=H$, Chasmanine (9) $R_1=Ac$, $R_2=Bz$, Ezochasmaconitine (45) $R_1=Ac$, $R_2=Ans$, Anisoezochasmaconitine (46)

にて精製し得られる新塩基であり ezochasmaconitine と命名する。 mp 163~165°の無色プリズム晶で、MS、元素分析値より C34H47NOg を与え、IRスペクトルにおいて ROAc(1730 cm-1)、ROBz (1700 cm-1)の吸収がみられ、UVスペクトルは安息香酸エステルに由来する吸収を示す。これらめことから本塩基が Chasmanine (9)のアセチル・ベンゾイルエステル体であることがわかる。現在すでに天然より単離されているジエステル型アコニチンタイプアルカロイドは全て8位にアセチル、14位にアロイルエステルを有しているので、Chasmanine (9)より誘導した8-acetyl-14-benzoyl chasmanine (53)と ezochasmaconitine (45)を比較したところ、各種スペクトルにていくつかの相違点を有することが明かとなった。すなわち MSスペクトルにおいて (53)では C1 位の OMe基に続いてAcOH の型で脱離したピークが特徴的に現れている⁶⁰⁾のに対し

EZOCHAS Maconitine (45)では CI 位の OMe基と安息香酸が脱離したピークがベースピークである。この事は Cs 位の三酸水酸基がベングイルエステルとして存在することを強く支持する。 更に NMR スペクトルにおいて (53) のようなタイプではアセテルのメテル基がベンゼン環により著しくシールドされ、よい3 付近に観測されるのに対し、本塩基ではか1.76と僅かにシールド効果を受けているにすぎない。また、 C14 B H は d 4.82 (1H,+, J=4.5 Hz) と通常のアセトキシ基のつけ根として現めまている。以上のことより ezochas maconitine (45)の構造を8-benzoyl-14-acetyl chas manine と推定した。更に本塩基の 13 C-NMRスペクトルと chas manine (9)のそれ 数はでは、近ば本推定式の母当性が主張できる。 (Table 5) そこで本塩 基 Chas manine (9)より合成し構造を確認することとした。 (Chart 18)まず chas manine (9)の C14 位の二級水酸基を

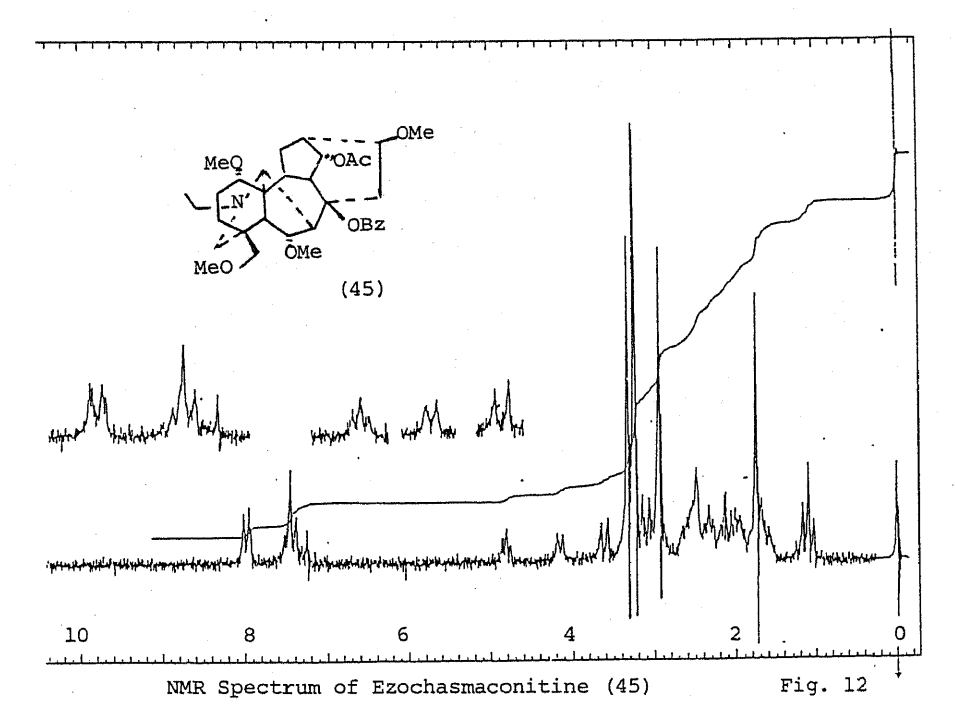


Table 5. Carbon-13 Chemical Shifts and Assignments a)

carbon	(9)	(45)	(46)		(9)	(45)	(46)
1 2 3	86.1 26.0 35.2	84.7 26.4 34.8	84.8 26.4 34.8	18 19 N-ÇH ₂	80.8 54.0 49.3	80.2 53.7 48.9	80.3 53.7 48.9
4 5 6	39.5 48.8 82.5	39.0 49.1 83.4	39.0 49.1 83.4	CH3 OMe 1' 6'	13.6 56.3 57.2	13.4 56.5	13.4 56.5
7 8	52.8 72.6	49.2 86.4	49.2 85.9	16' 18'	55.9 59.2	57.8 55.9 58.9	57.8 55.9 59.0
9 10	50.3 38.4	44.8 39.2	44.9 39.3	С=0 СН3		171.1 21.4	171.1 21.4
11 12 13	50.4 28.6 45.7	50.2 29.0 43.9	50.2 29.0 43.9	C=0		164.5 132.5 131.0	164.4 162.9 131.1
14 15	75.5 39.2	75.6 37.6	75.6 37.6	R		129.1 128.1	123.5
16 17	82.2 62.4	82.6 61.4	82.7 61.3	R=OMe			55.3

a) Chemical Shifts in ppm downfield from TMS, solvent CDCl

AcOH-CF3CO2Hにて処理すること によりアセチル化した。本化合物 (54) は m/2 493に M[†] を与え、NMR スペクトルにて d 4.79 (1H,+,J= 5Hz) に C14 βH をアセトキシ

 $R_1=R_2=H$, Chasmanine (9) $R_1=Ac$, $R_2=Bz$, Ezochasmaconitine (45) $R_1=Ac$, $R_2=Ans$, Anisoezo-

基のつけ根として示す。本品の Cg 位の三級 X酸基をベングイル化する為に、p-TsOH存在下トルエン中無水安息香酸と共に加熱還流したところ、目的とした 8-benzoyl-14-acetylcha-smanine (45)(mp166% 収率20%)と共に C15, C16 位で脱メタノールした化合物 (55)(mp147.5~149% 収率39%)を得た。

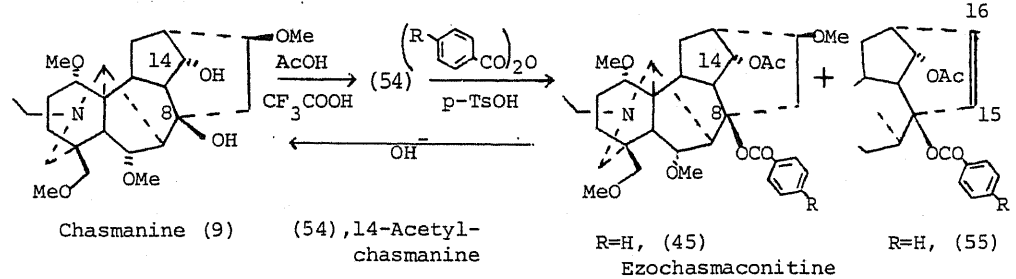
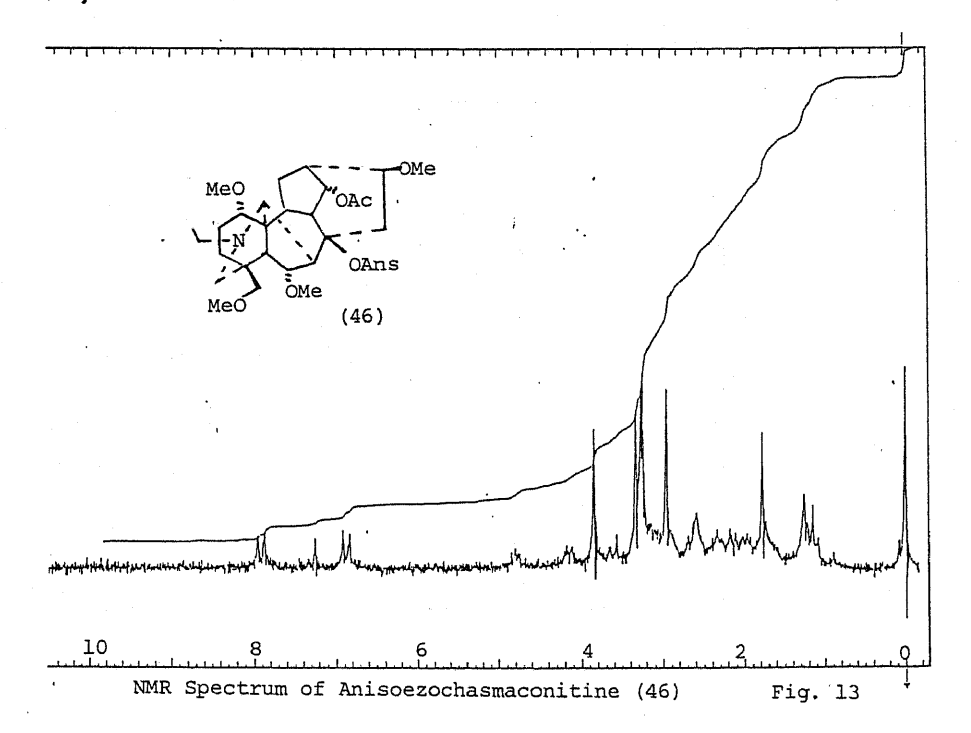


Chart 18

R=OMe, (46) R=OMe, Anisoezochasmaconitine (56 前者は強酸により骨格転位,立体配置の異性化等起こしていない事を確認するためにアルカリ加水分解し Chasmanine (9) に戻ることを確めた。 更に合成された (45) を天然品と混融試験, TLC, IR, MS, NMR, CD スペクトルにて同定し、ここに ezochasmaconitine (45) の構造が決定された。

Anisoezochasmaconitine (46)

粗塩基のアルミナカラムクロマトの5% AcOEt-benzene 溶出部をp-TLC にて精製をくり返すことにより anisoezo-chasma conitine (46) と pyrochas manine (47) が得られた。 Anisoezo chasma conitine と命名した新塩基は mp 136~138.5°の無色プリズム晶で C35H49NOgを与え、UV スペクトルは入max 259 nm にアニス酸エステルに由来する吸収を示す。 (46)の IR、MS、Hかよび 13C-NMR スペクトルを



ezochasma conitine (45) のそれと比較した所、本塩基は (45)のベンゾイルエステルが単にアニソイルエステルに置き換った構造であることが推定できた。 そこで ezochasma conitine (45) の場合同様、本塩基を Chasma nine (9) より誘導し (Chart 18) 天然物と混融試験、TLC、IR、MS、NMR、CD スペクトルにて同定し、その構造を8-anisoy|-14-acety|-Chasmanine (46)と決定した。

猫, ezochasmaconitine (45), anisoezochasmaconitine (46) かかく、二つのエステルか位置がこりまで得られているジエステル型アコニチンタイプアルカロイド とは逆め型である化合物が天然より得られたのは初めての例である。

Pyrochasmanine (47)

本塩基は ani soezo chasma conitine (46)の単離と共に精製された。 mp 124.5~127°のプリズム晶で、IR、NMRスペク

トル (Fig. 15) Kでオレフィンの存在を示し、UVスペクトルドで、8,15位に二重結合を有する.いめゆる (47) ゆる pyro 化合物 に特異的な248 nm に吸収を示す。これらのデータより文献上 Chasmanine 8 6 4 2

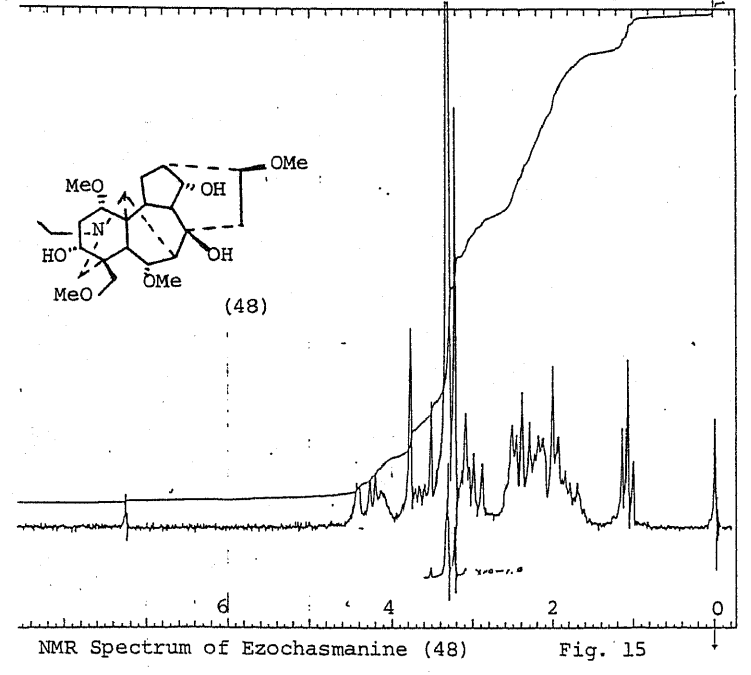
NMR Spectrum of Pyrochasmanine (47) Fig. 15

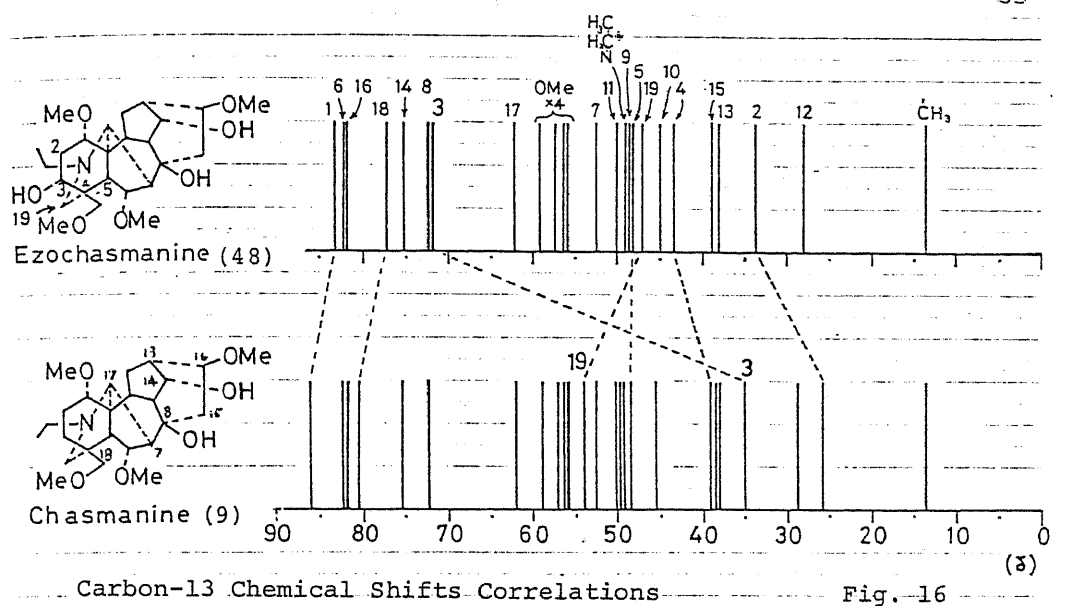
(9)より誘導されている pyrochasmanine (47) と推定された。そこで文献 58) に従い Chasmanine (9)を diacetate (57) とした後、減圧下加熱後加水分解し (chart 19) pyrochasmanine (47)を得、今回単離した化合物と同一であることを、混融試験、TLC、IR スペクトル、旋光度の比較にて確認した。本品は天然より初めて得られた。

Ezochasmanine (48)

粗塩基のアルミナカラムクロマトの 50% benzene - AcOEt 溶出部を更にアルミナクロマトに付し、5% E+OH- n-hexane 部より得られる新塩基であり ezochasmanine (48) と命名する。

mp 115~118°の 無色プリズム晶, に以了p + 40.3°(CHCl3)で、MS, てた素分析値より、 Chasmanine (9)よりである。 またいのかある。





'H-NMR (Fig. 15) にてδ4.10 (IH.t. J=5Hz)に C14βHを示し、更に4ヶのMeO基とN-E+基の 存在が明らかとなった。¹³C-NMR スペクトル

RO 3H HH 1 OME

E Chasmanine (9)のでは 32)と比較すると (Fig. 16) 本化合物は chasmanine (9)の C3α位に X酸基が存在していることが推定できる。すなわち両者の A環上および C18, C19の炭素のケミカルシフト以外はよく一致しているのに対し、特に C3位のシグナルは (48)において 37 ppm 低磁場へシフトしている。また、(48)の C19位が chasmanine (9)のではに 比べ 6.6 ppm 高磁場へ移行しているのに対し、 C5位はほとんど変化していない。これは C3の は側に水酸基が導入されたことにより、 C3-α-Hと C19-Ha (Fig. 17)の 1.3-diaxial の 関係が取り除かれ C19 位が高磁場へ移行した 620と説明できる。

Ezochas manine (48) を無水酢酸-ピリジンドて3°Cで 処理すれば、3-monoacetate (58) と 3,14-diacetate (59) を与え、無水酢酸-p-TsOH (80~90°C) にてアセチル化を行

$$\begin{array}{c} \text{MeQ} & \text{14} \text{OR}_2 \\ \text{OR}_2 & \text{65-70°C} \\ \text{R}_1 \text{O.3} & \text{OMe} \end{array} & \text{(59)} & \text{R}_1 = \text{R}_2 = \text{Ac, R}_3 = \text{H} \\ \text{NeO} & \text{OMe} \end{array}$$

$$(48) & \text{R}_1 = \text{R}_2 = \text{R}_3 = \text{H, Ezochasmanine}$$

$$\text{OH} & \text{Ac}_2 \text{O/p-Tsoff} & \text{MeO} & \text{OMe} \\ \text{(60)} & \text{1.pyrolysis} & \text{NeO} & \text{NeO} & \text{OMe} \\ \text{(60)} & \text{1.pyrolysis} & \text{NeO} & \text{NeO} & \text{NeO} \\ \text{(60)} & \text{1.pyrolysis} & \text{NeO} & \text{NeO} & \text{NeO} \\ \text{(60)} & \text{1.pyrolysis} & \text{NeO} & \text{NeO} & \text{NeO} \\ \text{(60)} & \text{1.pyrolysis} & \text{NeO} & \text{NeO} & \text{NeO} \\ \text{(60)} & \text{1.pyrolysis} & \text{NeO} & \text{NeO} & \text{NeO} & \text{NeO} \\ \text{(60)} & \text{1.pyrolysis} & \text{NeO} & \text{NeO} & \text{NeO} \\ \text{(60)} & \text{1.pyrolysis} & \text{NeO} & \text{NeO} & \text{NeO} \\ \text{(60)} & \text{1.pyrolysis} & \text{NeO} & \text{NeO} & \text{NeO} \\ \text{(60)} & \text{1.pyrolysis} & \text{NeO} & \text{NeO} & \text{NeO} \\ \text{(60)} & \text{1.pyrolysis} & \text{NeO} & \text{NeO} & \text{NeO} \\ \text{(60)} & \text{1.pyrolysis} & \text{NeO} & \text{NeO} & \text{NeO} \\ \text{(60)} & \text{1.pyrolysis} & \text{NeO} & \text{NeO} & \text{NeO} \\ \text{(60)} & \text{1.pyrolysis} & \text{NeO} & \text{NeO} & \text{NeO} \\ \text{(60)} & \text{1.pyrolysis} & \text{NeO} & \text{NeO} \\ \text{(60)} & \text{1.pyrolysis} & \text{NeO} & \text{NeO} \\ \text{(60)} & \text{1.pyrolysis} & \text{NeO} & \text{NeO} & \text{NeO} \\ \text{(60)} & \text{1.pyrolysis} & \text{1.pyrolysis} \\ \text{(60)} & \text{1.pyrolysis} & \text{1.pyrolysis} \\ \text{(60)} & \text{1.pyrolysis} & \text{1.pyrolysis} & \text{1.pyrolysis} \\ \text{(60)} & \text{1.pyrolysis} & \text{1.pyrolysis} \\ \text{(60)} & \text{1.pyrolysis} & \text{1.pyrolysis} \\ \text{(60)} & \text$$

Chart 20

 $R_1 = R_2 = R_3 = Ac$

えば triacetate (60) を与える。 3-Monoacetate (58)の NMRスペクトルにおける 5 4.88 (1H, dd, J₁=6Hz, J₂=10Hz) のシグナルは C₃位の axial BHを示し (Fig. 17), このことも C₃ α 水酸基の存在を証明している。

ďМе

(61)

そこで本式を化学的に証明するためにC3の水酸基が選択的に除去可能な8-acetyl-14-benzoylezochasmanine(62)を合成し、これを chasmanine(9)へ誘導して直接肉連づけることとした。(chart 21,22) C3、C14位の二つの二級水酸基はアミル化に対して反応性に差があるのではないかと考え、これにつき検討した結果、(48)をじりジン中1.7当量の塩化ベングイルを用いて2時間-18°Cにて反応させることにより、14-

(53) R=OMe mp.148.5-151°

mp.174-178°

(68) R=H

(9) chasmanine

Chart 22 monobenzoate (63) を収率 68% で得ることができた。本品 はNMR スペクトルにおいて よら.11に triplet, J=5Hz でC14 BHが現われている。次いで、保護基として強酸性条件下で安 定であり、ほぼ中性条件にて脱離可能なCCl3CH2OCO基(3) を選び C3水酸基を保護 (収率83%)した。本品(65) は IR スペクト1レドて 3600 (OH), 1760 (OCOOR), 1720 (OBz) cm-1の 吸収を示し、MSスペクトルで M2745にM*(5%),747に M*+2(4.5%)を与える。又、NMR スペクトルドてか4.62と よ4.87にAB type (J=11 Hz) で OCOO CH2 CCl3のプロトンが 現われている。 (65)のCg 三紋水酸基を無水酢酸-pTsOH にて アセチル化 (収率 64%)後、Zn-AcOH にて保護基を脱離させ ると、8-acetyl-14-benzoylezochasmanine (62)が収率 76%で得られた。 mp 113~114° の本品は NMRスペクトルに てアコニチン類同様、アセチル基のメチルのシグナルが C14の ベンゼン核の遮蔽効果により着しく高磁場(よ1.36)に現われ ている。 続いて (62)を SOCl2中加熱 64)することにより、2,3anhydro 体 (67) を収率71%で得た。(NMR &: 6.04、IH, dd. J₁=10Hz, J₂=4Hz, C₂-H, 5.79、IH, d. J=10Hz, C₃-H) 本品をPtO2を用いた接触還元に付した後、p-TLCにより精製したところ、目的とした(53)(収率59%)と共に加水素化分解された化合物(68)(収率25%)を得た。後着はmp174~178°、C₃₃ H45 NO8を与え、NMRスペクトルにて3ケのOMe基の存在を示すこと等より、I-demethoxy-3、13、5-trideoxyaconitine(68)である。前者は(mp148、5~151°) chasmanine(9)より誘導した8-acetyl-14-benzoylcha-Smanine(53)とTLC、混融試験、IR、CDスペクトルの比較により同定し、最後にアルカリ加水分解にてchasmanine(9)を与えることを確認した。Chasmanine(9)はその14-benzoateの塩酸塩のX線結晶解析により構造が確定している59)ので、以上の実験結果より、新塩基ezochasmanineの構造が(48)式と決定された。

Vilmorrianine Aの合成

Vilmorrianine A (69) は 中国のグループによって 雲南地域 の民间薬・黄草島(Aconitum

Vilmorrianine A (69)

Vilmorrianum Kom.) より単離され、そのスペクトルの解析により構造が提出されている塩基である。 本化合物は ezo-chasmanine (48)の 8-acetyl-14-anisoyl 体 であるので、これを(48)より誘導し、Vilmorrianine Aの構造証明をすることとした。合成方法は上記した 8-acetyl-14-benzoyl ezochasma-

MeO OR₁ OR₂ OMe CCl₃CH₂OCOCl (TrCO) (72) R₁=Ans py OR₃ (Ans=p-anisoyl)
$$R_2=R_3=H$$
 R₂=TrCO, R₃=H,

(48) R₁=R₂=R₃=H(Ezochasmanine)

Chart 23 Vilmorrianine A (69)

nine (62) への変換ルートに従った。(chart 23) まず ezo-chasmanine (48)の部分的アニソイル化を行い 14-mono ani-soy 1体 (70)を 70%の収率で得た。本品は 55.12に triplet, J=5Hzで C14BHが現めれている。続いて C3 水酸基をCC13CH20C0基にて保護 (72) した後、残っている C8 水酸基を無水酢酸ーp-Ts0H にてアセチル化 (73)した。最後に保護基を Zn-AcOHで処理して脱離させ、目的とした 8-acety|-14-anisoy|-ezo-chasmanine (69)を得た。本品(無色プリズム晶、mp 167~169°、 [α]p+24.1°)は TLC、混融試験、 IR, CD スペクトルにて、陳、楊らより贈与された標品の Vilmorrianine A と同定された。したがって Vilmorrianine A の部分合成と構造証明が完了した。

Mesaconitine (15) 66), 6)

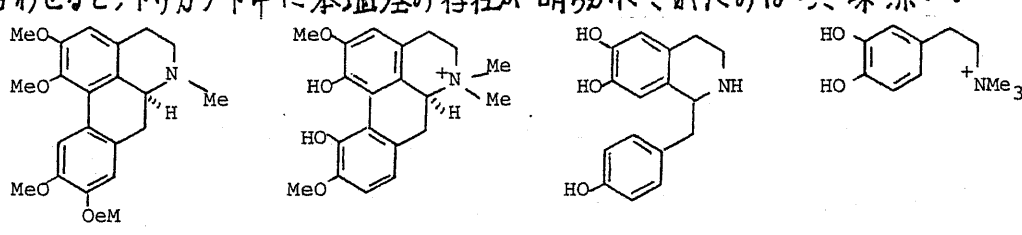
粗塩基カアルミナカラムクロマト

9 20~50% AcOEt-benzene 溶此部 (15) R₁=Me, R₂=H, Mesaconitine もシリカクロマト続いて p-TLCによ (4), R₁=Et, R₂=OMe, Jesaconitine Chart 24 り精製し得られる。標品との混融試験、IR、NMRスペクトルの比較により既報の mesaconitine (15)であることを確認した。

Jesaconitine (4) 66),7)

粗塩基のアルミナカラムクロマトの20%AcOEt-benzene溶出部をシリカクロマト続いてp-TLCにて精製することにより得られる。HC104塩、mp226~229°、本品も標品とのTLC、IR、NMRスペクトルの比較により既報のjesaconitine(4)であることを認めた。

本塩基は粗塩基のアルミナクロマトの10%AcOE+-benzene部をp-TLCドで精製し得られる。はつかUV、NMR、MS スペクトルより d-glaucine (49) と推定し、そのHBr塩(mp 219~225°)を標品のHBr塩と比較した所、混融試験、IR共ドー致した。猫、Aconitum属植物より aporphine型塩基が得られたのは四級塩基のmagnoflorine(74)の一例⁶⁸⁾を除けば三級塩基としては初めてである。又、小菅らがオクトリカブト(Aconitum japonicum Thunb.)より強心成分としてisoquinoline型塩基のhigenamine (dl-demethylcoclaurine)(75)を単離している⁶⁹⁾事実およびにもりらにより附子中の血圧上昇作用物質としてcoryneine (76)が単離されている事でと考え合わせると、トリカブト中に本塩基の存在が明らかにされたのは興味深い。



Glaucine (49)

Magnoflorine (74)

Higenamine (75)

Coryneine (76)

<u>第二章 C19 ジテルペンアルカロイドの化学変換</u> <u>に関する研究</u>

第一節 Isodelphinineの合成 ー アコニットアルカロイドの Cis α 位への水酸基導入に関する研究 ―

著者らはアコニットアルカロイドの代表として挙げられる猛毒性塩基 aconitine (1)の合成を計画した。本化合物は立体的に複雑な骨格を有し、かつ高度に酸素化されているため、その全合成は全く成されていないが、近年、カナダの Wiesner 教授らにより、同一の基本骨格を持つ chasmanine (9)のラセミ体の全合成が完成された。「9)そこで著者はエゾトリカブト(Aconitum yesoense Nakai)より多量に入手可能な chasmanine (9)を出発原料として、酸素官能基の導入法と選択的なエステル化法を開発し、これによる aconitine (1)の形式的な全合成を計画した。(chart 26)

Chart 26

その第一段階として、アコニットアルカロイドの Cua 位への 水酸基導入の効率よい一般法を南発し、これを用いて天然に存 在するアルカロイドを合成することを目的として研究を進れた。 目標化合物として樺太産トリカプト Aconitum Miyabei Nakai

Chart 27

より分離され⁷²⁾、Pelletier らにより、その¹³C-NMRの解析から構造が提出されている isodel phinine (77)⁷³⁾を選んだ。(Chart 27) この合成を完成させるためには、 chasmanine(9) の N-E+基を N-Me 基に変換すること、 C₁₅ α位へ永酸基を導入すること、 更に C₈, C₁₄位の水酸基を選択的にアシル化することが必要である。

まず、C8、C15 位に二重結合を合成し、これを手がかりにC15 位に水酸基を導入する計画をたてた。二重結合からトランスジオールを合成する手段は種々知られているが、これら酸化反応に対して三級窒素を保護する目的で、N-E+ 基を N-formyl 基とすることとした。 N-formyl 基は後に必要な N-Me基に変換できる。以下、Chart 28のスキームに従い中间体 (82)を合成した。まず Chasmanine (9)を Ac20-p-Ts0H にて処理し、8、14-diacetate (57) (mp 138.5~140°、NMR: 84.75 (1H, t, J= 4.5 Hz、C14/8 H))を収率 81%で得、これを水性アセトン中、KMnO4にて酸化 (74)し、des-N-E+体 (78)を収率 89%で得た。本品は NMR スペクトルにて N-E+基のシグナルが消失したこと、IRスペクトルにて N-E+基のシグナルが消失したこと、IRスペクトルにて N- E+基のシグナルが消失したこと、IRスペクトルにて N- E+基のシグ・IRスペクトルにて N- E+基のシグ・

MeO 14 OR 2 Ac 20 P-TsOH (57)
$$\frac{\text{KMnO}_4}{\text{aq.acetone}}$$
 (78) $\frac{\text{HCOOH}}{\text{Ac 20}}$ (78) $\frac{\text{R}_1 = \text{Et}}{\text{R}_2 = \text{Ac}}$, $\frac{\text{R}_1 = \text{H}}{\text{R}_2 = \text{Ac}}$, $\frac{\text{Cool}}{\text{MeO}}$ OMe $\frac{\text{Cool}}{\text{R}_2 = \text{Ac}}$, $\frac{\text{MeO}}{\text{Cool}}$ OMe $\frac{\text{MeO}}{\text{R}_2 = \text{Ac}}$, $\frac{\text{OMe}}{\text{MeO}}$ OMe $\frac{\text{MeO}}{\text{Cool}}$ OMe $\frac{\text{MeO}}{\text$

精製後、N-formyl体(79)を結晶収率72%で得た。本品(mp 180~182°)はIRスペクトルにかいて、1655 cm-1ドアミドの吸収を、またNMRスペクトルにて f8.02 (IH.S) にN-CHOのシグナルを示す。続いて C8、C15 位に二重結合を導入するために (79)を pyrolysis に付すこととした。 C8 位にアセトキシ基を有するアコニットアルカロイドは C8 - C15 位の方向で容易に脱酢酸することが知られている。 じところが N-formyl体 (79)の pyrolysisは、MSスペクトルのフラグメントの強度比からも推定できる Table 6 1.......

ように (Table 6) 反応性が低く, また, 副生成物をと

Table 6	N-CHO (79)	N-Me (109)	Mesaconitine (15)
		intensity ((%)
M*OMe M*OMe M*OMe-AcOH	100 10 42	1.5 100 27	2 50 100

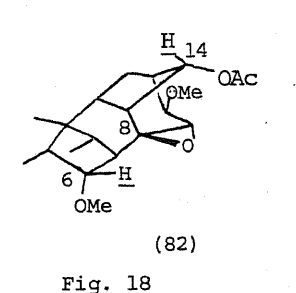
もなって反応が進行することがわかった。一方、N-E+基、N-Me 基の化合物 (57)、(109)の場合は、容易に高収率で C8-C15 二重結合体が得られた。これらの事実は、アコニットアルカロイドの pyrolysisが Chart 29に示した窒素の電子の寄与によ

Chart 29

このようにして得た(80) の二重結合を利用してトランスジオールを合成するためにまず Prevost 反応⁷⁶⁾を試みた。PhCO₂Ag, I2 を用い種々条件を検討したが、目的

としたトランスジオール体は得られず、はぼ原料回収に終った.これは立体障害により試薬の二重結合への接近が妨げられているためと考之られる。そこで、トランス 開裂することが知られている工か。キシドを合成し、これを用いて8,15-トランスジオール体を得る計画をたてた。(80)を dry CH2Cl2 中. 1.2当量のm-CPBAと室温にて反応させ、Al2O3クロマトにて精製すると、工がキシ誘導体(82)が収率 98% で得られた。本品(mp197~198°)はTLC、NMRスペクトルにて単一であり、エポキシ基の選ば承が各側より攻撃したと考えられる。すなわち、立体モデルの考えられる。すなわち、立体でエデルの表より試薬が各側より攻撃したと考えられ、更に NMRスペクトルにて の29 ppm高磁場へシールドされ、三員環の真横にある C6/3Hが (79)のそれに にで 0.38 ppm デシールドされる。 その他のスペクトルも本構造を支持している。 続いてエポキシ

基の 開製 にっき 検討した・ 塩基性条件による方法 に対して エポキシ基は 開製に低抗した・次に酸をして、 c.H2504-ag. acetone ⁷⁹⁾、 Hs IO6-ag. acetone ⁸⁰⁾、 85% HCO2H ⁸¹⁾、 HCO2H - BF3·Et20等用いて種々条件を検討した結果、 98%



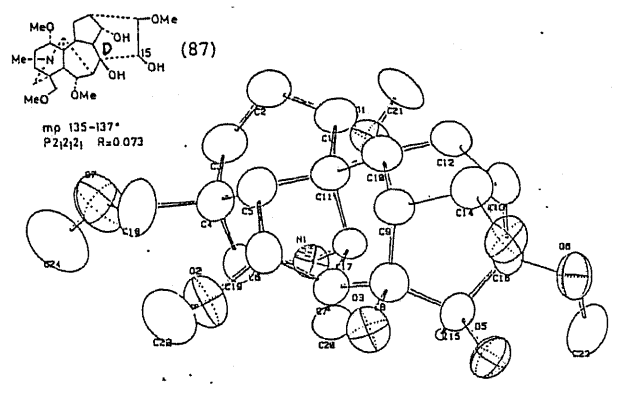
HCO2H中, 80°Cにて20分向処理するという方法にて(flash column chromatography 82) 精製後)収率60%でジオール体を得ることができた。(Chart 31) 本品(86)はIRスペクトルにて3430 cm⁻¹に幅広い水酸基の吸収を示し、また MSスペクトルで

(90) (mp 191~193°) を与えるが、NMRスペクトルにてよ5.62 に 1H, d, J=8Hzで C15-H を特徴的に表わしている。一方、 (86) を化学的に誘導してゆく段階で、C8,C15のジオールがシス配置である可能性を支唆する事実に直面した。 (chart 32) すなめち (86) を 8- acetyl-14-benzoyl 体へと変換する目的で、まず (86)のC15 水酸基を tetrahydropyranyl (THP)基にて保護して (91)とし、これをLiAlH4選元して N-Me、14-0H体 (92)とした。続いて C14 水酸基をベンゾイル化した。 (93)の 8位の三級水酸基を DMAP (4-dimethylaminopyridine) を用いた方法でアセチル化しようとしたがこれに強く抵抗したので、THP基をPPTS (pyridinium p-toluene suifonate) にて脱離させ、代りに CC13 CH2 O CO 基にて保護しようとしたところ、8,15-cyclic-

Carbonate (95) *** と思めれる化合物が生成した。本品はIR スペクトルにて1790 cm-1に5員環 Carbonate に由来する吸収を示し、MSスペクトルにて M2 583に M* を与えることより構造を推定した。8、15-Trans-diol体の cyclic carbonate は分子模型上、非常に大きなひずみがかかる。また、 mesa-conitine 誘導体 (96) によるモデル実験においても、8、15-トランスジオールでは cyclic carbonateは全く生成しなかった。 (chart 33) これらの事実より、(92)のエポキシ南製反

応により得られたジオール体がシス配置である可能性が大きくなった。そこで、(86)の LiAlH4選元により得られたトリオール体 (87)の直接法による×線結晶解析を行った。その結果、Fig.19に示すように、C15位の水酸基はB配置すなわち、8、15位の水酸基はシス配置であることが確められた。又、D環は half boat

型をヒリ、その結果. C15αHとC16αHは18° の角度で存在している. こりにより、NMRス でクトルで、C15-Hが J=8Hzと比較的大き な値を示していたこ



Rigaku AFC-5 Diffractometer Fig. 19

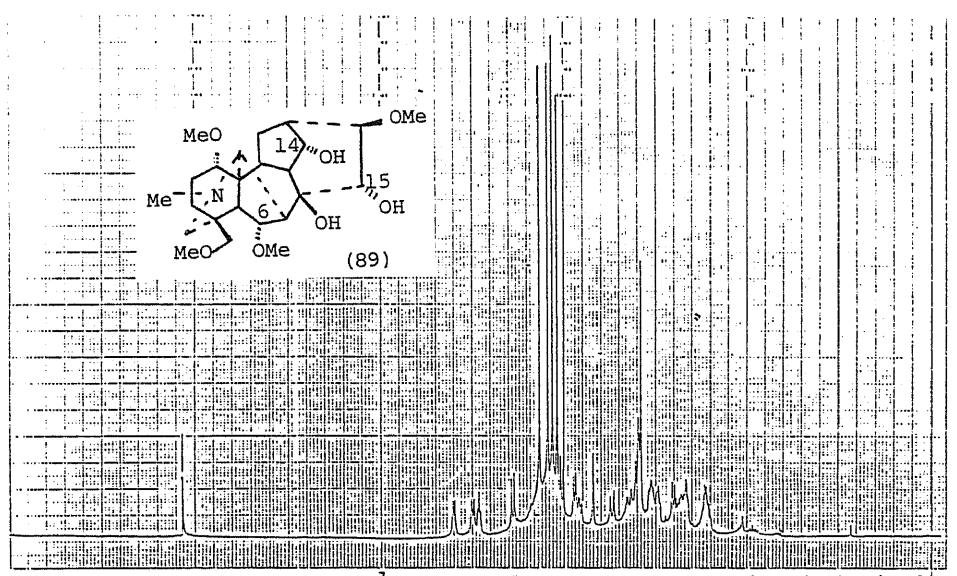
とが説明できる。

このように、CIS 水酸基が望まない B配置であったので、これを反転させ必要としている a 配置 a 化合物を得ることとした. 水酸基を SN2 的に反転させる方法はいくつか 開発されているが、化合物 (86)においては立体的にこみ合った a 側からの試薬の攻撃はほぼ不可能と考えられたので、この水酸基を酸化してケトン体とした後、この還元により望む d 水酸基を はいう方法を選択した。そこで、この酸化還元という一連の操作における C16-0Me基の異性化の有無と、C15ケトン基の還元の方向性について検討するため、mesaconitine (15)を用いてモデル実験を行った。 Chart 34に示した手順で mesaconitine (15)より15-ケトン体 (100)へと誘導した。 (15)を封管中、H20と120~130°Cにて 4時向加熱し、8-deacetyl体 (benzoylmesaconine)(98)を96%で得、これを1-2当量の塩化でングイルとにのリジン中、-40~0°Cにて

Chart 34

反応させ、C3水酸基を benzoate として保護した(収率86%)。 残った C15位の二級水酸基 E PCC (pyridinium chlorochromate) 89) にて酸化し、シリカクロマトですばやく精製することにより. 15-ケトン体(100)を収率87%で得た.本品はアルミナクロマ トに付せば、TLC上 Rf値が若千変化した化合物へと変換してし まい、このものはMS,NMR スペクトルより、C16 位のメトキ シ基の配置が異性化したものと推定できる。したがって以後 15ケトン体はアルミナクロマトによる精製をさけ、シリカクロ マトにてすばやく精製するか、直接次の反応に付すこととした。 異性化してないケトン体(100) ETHF中 O°C にて LiAlH4選元に 付したところ、TLC上ほぼ one spotで mesaconine (101) に相 当する化合物を与えた。本品は非常に高極性ゆえに同定が困難 だっためで、ピリジン中週剰の塩化ベングイルと処理して tribenzoate (102) El, mesaconitine (15) \$1) mesaconine (101) とへて誘導した 3,14,15-tribenzoylmesaconine (102) と、TLC. IR、NMRスペクトルにて同定した。したがって、本モデル実 験により、15位の水酸基の酸化とそれにひき続く還元という一 連の操作では、C16位のメトキシ基が反転することなく、B側 から優先的にハイドライド(H)が攻撃することが確められた。 そこで、エポキシ体(82)の 舶製により得られた化合物(86)を 15ケトン体とするために、まず PCC 酸化に付したが、シスジ

おいて炭素-炭素結合の南製を共わないと言われている。90)(86) EArガス下、-70°Cにて、DMSO/(CF3C0)2 続いて Et3N にて 処理したところ、ほぼ定量的に15ケトン体(88)が得られた。 (chart 35) 本品は IR スペクトルにて 1740, 1720 (6 負環 ケトン),1660 cm-1 にカルボニルの吸収を示し、MSスペクト ルドて M2 507 ドMt を与える。また NMRスペクトルドでよ3.55 にCISカルボニル基によりデシールドされたCIG-OMe基のプロ トンが特徴的に現めれている。続いて(88)をTHF中 LiAIH4に て、0°Cで30分次いで加熱環流下1時间, 還元したところ、TLC (SiO2 / benzene: AcOE+: EtaNE=5:4:1) 上, 2つの生成物を与 えた。これをflash column chromatographyにて分離し、R+値大の 化合物 も 35%, Rf値小の化合物 を 41% の収率で得た, 前者 13先 に (86)の LiAlH4 還元により得た化合物, すなめち 15-epiisodelphonine (87) であることを確わた。後者は望む 8.15-トランスジオール体, すなわち isodel phonine (89) であるこ とが以下の事実より支持された。 (89) は非晶形 ([d] o +13.0°) であるが、高分解能MSスペクトルにて C24H39NOァを与え、 フラグメントパターンはエピ体(87)とよく一致する。 270MHz の H-NMRスペクトル (Fig. 20) にて、N-Me基、4ヶのOMe 基の他に、 54.37 (IH, d, J= 6.4 Hz)に C15/3H (これはD環か



270MHz 1H-NMR Spectrum of Isodelphonine (89) Fig. 20

half boat form をとり、C15-β-HとC16-α-H が約130~140°の角度で存在しているためと考えられる)、64.17(1H、d、J=6.9Hz)にC6-β-H、64.09(1Ht、J=4.6Hz)にC14-β-H が観測される。更に本品の「3C-NMRスペクトルをChasmanine(9)のそれと比較すると(Table 7)、C15位のシグナルが chasmanine(9)に対し、41 ppm低磁場にシフトし、C15位に隣接したC16位が 8.5 ppm、C8位が 5.8 ppm低磁場へシフトしている。また、C7位が逆に6.9 ppm高磁場へ移行している。これは chasmanine(9)におけるC7-HとC15-α-Hとの1、3-diaxialのinteraction(Fig. 21)が、C15 は位に水酸基が導入されたことにより除去されたたの62)と説明できる。また、isodelphonine(89)は塩化ベングイルーピリジンにて処理することによりdibenzoate(103)を与え、NMRスペクトルにて 65.44に1H、d.J=7HzでC15-β-Hを示す他に、N-Me基が 61.90と高磁場に現めれている。(15-epi体

Table 7

13
C Chemical Shifts and Assignments a)

carbon (77) (89) (87) (9) 1 85.1 85.5 86.1 86.1 2 26.4 26.3 25.6 26.0 3 34.9 34.6 35.0 35.2 4 39.3 39.4 39.8 39.5 5 47.8 48.1 47.5 48.8 6 83.7 83.6 82.4 82.5 7 44.5 45.9 49.6 52.8 8 92.1 78.4 73.7 72.6 9 44.8 49.8 50.2 50.3 10 38.8 41.2 36.4 33.4 11 50.1 50.3 50.7 50.4 12 29.4 30.4 27.7 28.6 13 44.0 46.9 45.5 45.7 14 76.4 75.9 75.5 75.5 15 75.6 80.2 66.4 39.2 <
6

$$R_1=Me$$
, $R_2=R_4=R_5=H$, $R_3=OH$, (89) (1sodelphonine)

$$R_1=Me, R_2=R_3=R_5=H, R_4=OH,$$
 (87)

$$R_1$$
=Et, R_2 = R_3 = R_4 = R_5 = H , (9)
(Chasmanine)

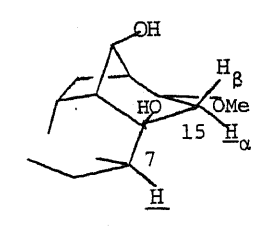


Fig. 21

a) Chemical Shifts in ppm downfield from TMS,

の dibenzoate (90) ではよ2.34)、これは CISA 水酸基のベンソルエステル基による 遮蔽効果によるものと考えられ、分子模型上の考察と一致する。

以上のように chasmanine (9) から重要中向体である iso-delphonine (P9)への誘導に成功したが、収率の点等向題を残したため、より効率のよい合成ルートを検討することとした。

新しいルートの特徴は chasmanine (9)の N-E+基をN-Me 基に変換することにより pyrolysisを容易にさせ、二重結合の 酸化をOsO4 にて行うというものである。まず Chart 36 に

$$\begin{array}{c} \text{MeO} \\ \text{R}_{1} - \text{N} \\ \text{R}_{2} - \text{N} \\ \text{OR}_{3} \\ \text{OR}_{3} \\ \text{OR}_{3} \\ \text{OR}_{3} \\ \text{R}_{1} = \text{Et}, \\ \text{R}_{2} = \text{Bz}, \\ \text{R}_{2} = \text{Bz}, \\ \text{R}_{3} = \text{H}, \\ \text{R}_{3} = \text{H}, \\ \text{R}_{3} = \text{H}, \\ \text{Chasmanine} \\ \end{array}$$

$$\begin{array}{c} \text{OMe} \\ \text{R}_{1} = \text{Et}, \\ \text{R}_{2} = \text{Bz}, \\ \text{R}_{3} = \text{Bz}, \\ \text{R}_{3} = \text{Ac}, \\ \text{R}_{3} = \text{Ac}, \\ \text{R}_{3} = \text{Ac}, \\ \text{OHe} \\ \end{array}$$

$$\begin{array}{c} \text{OMe} \\ \text{OHe} \\$$

従い、14-benzoyl-8,15-olefine誘導体(107)を合成した。反 応スキームの最初に14-benzoateとしたのは、最終目的物isodelphinine (77) にそれが必要であり、後に生成する C15水酸 其ヒ区別するためである。この二重結合体(107) E Os O4 にて 酸化し、8,15-シスジオール体(108)を得た。先の方法に従い、 15位の二級水酸基を酸化しようと試みたが、活性化された DM-SOE用いた種々の方法 C抵抗し原料回収に終 った.これはFig. 22 に示すように、14-benzoyl基の大さな立体障害のため、C15B水酸基へ Fig.

そこで再びスキームの最初に戻り、8,14- diacetate (57) Eへて、この合成を進めることとした。 (chart 37) Des-N-ethyl-diacetyl chasmanine (78) & ag. CH3 CN中, AcOH て"pH を4に調製しながら CH20 と NaBCN H3 した.本品(109)はMSスペクトルにてM2521にMを与え. NMRスペクトルにて &2.29 (3H/S) に N-Me基のシグナルを示 すことより構造を確認した。(109)を減圧下 (2mmHg), 195~205°C

の試薬の攻撃が妨げられたためと考えられる。

 R_1 =Et, R_2 =H,Chasmanine (9)

で12~15分, pyrolysis に付したところ, 収率94% で 8,15 二重結合体 (110)を得た. 前述 (p43) したように、N-CHO体 に比べ反応は容易に進行する。本品は UVスペクトルにて、こ Nらピロ化合物に特徴的な241 nmに吸収を示し、HCI水溶液 添加により末端吸収となる・ NMRスペクトルにて 55.45に d. J=6HzでCis位の二重結合上のプロトンを示す。この二重結 合も手がかりにジオール体を得るために、(110)をじりジンー THF中, 1.2 当量の 0s04 と3日 自反応させ, 続いて生成した 環状 Osmate E ag. NaHSO3 93)にて選元的に処理した。アル ミナクロマト精製後,シスジオール体(111)を70%の収率で得 た. 本品はIRスペクトルにて 3450 cm-1 に幅広い水酸基の 吸収 を示し、MSスペクトルドで M2 495 ドMtを与える・NMRスペ 17 IUK T & 4.65 (+, J=5Hz) K C14-B-H, & 2.27 (3H, S) K N-Me 基、& 1.98 (3H、S)に OAc基のシグナルを示す。化合物(111)の C15水酸基の反転を今回も、ケトンへの酸化、その還元 という手順で行うこととした。 (III) E Arガス下, -72°C にて DMSO-(CFi3CO)2O 続いて Ft3N にて処理したところ、14-

Chart 38

benzoate (108) の場合とは対照的に、定量的に 15-ケトン体 (112) へと変換された。本品 (MS, m/z 493 M^+)は比較的不安 定なことが予想されたので、精製することなく次の反応に用いた。ケトン体 (112) から目的とする 8, 15-トランスジオール体 (89) と収率よく得るための立体選択的な還元条件を種々検討し

Table 8に示すごと くの結果を得た。(条件 1~3 は後処理後, flash column chromatography (回/AcOEt/Et=NH) にて分離・精製した) すなわち、LiAI (OMe)3H 94) を用い、-72°C~

Table 8

į	reagents	conditions	(89) (87)		
1	Lialh ₄	-55°~0° RT 1 hr. 1 hr.	42% 37%		
2	LiAl(OMe) ₃ H	0° RT 2 hr. 1 hr.	45% 32%		
*3	LiAl(OMe) ₃ H	-72%-50° RT lhr. l hr.	79% trace		
4	NaBCNH ₃	RT	NR		
5	PtO ₂ /H ₂	RT	NR		
6	LiB(sec-Bu) ₃ H	-80%-60° RT 2 hr. 1 hr.	3-4 spots		

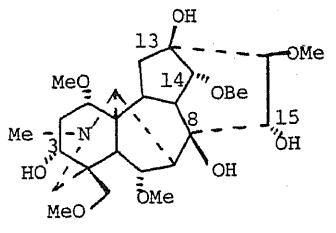
室温にて選元を行うと、けば選択的に8,15-トランス体 (89)が得られることがわかった。ここで得た isodel phonine (89) は epoxide (82) をへるルートで合成したものと同一であることを TLC、IR、NMR スペクトルにて確認した。

Fig. 23

このようにして isodelphonine (89)の効率よい合成ルートが確立できためで、次にこめアルカミン体から天然の isode-

Iphinine (8-acety1-14-benzoyl-isodelphonine) (77) 10 変換を検討した· Isodelphonine (89) における3つの氷酸基 を何らかの方法で区別し、選択的にアシル化する必要がある. C14-a-OH と C15-a-OH は共に二級であるが、分子模型上、若干 C15-α-OHの方が立体的にこみ合っていることが予想できる. そ こで C14 水酸基の部分的ベンゾイル化を試みた. 反応溶媒とし てピリジンに CH2Cl2を同量添加することにより, -70℃付近で 操作ができるようにして反応性を低下させた、ここに1.3 当量 の塩化ベングイルを滴下し、除々に反応温度を0°Cまで上昇さ せ、すみやかに後処理をした、シリカクロマト精製後、98%の 収率で monobenzoate (113) を得た. 本品は IR/UV スペクト ルにてベングイルエステルカ存在を示し、MS スペクトルにて M/2 557にM を与える. 特にNMRスペクトルドてよ5.07に t. J= 4.5 Hzで C14-β-H & benzoyloxy基のつけ根として表わし ていることより、目的とした 14-mono-benzoate (113) である ことを確認した。更に本品の構造を確かなものとするために、

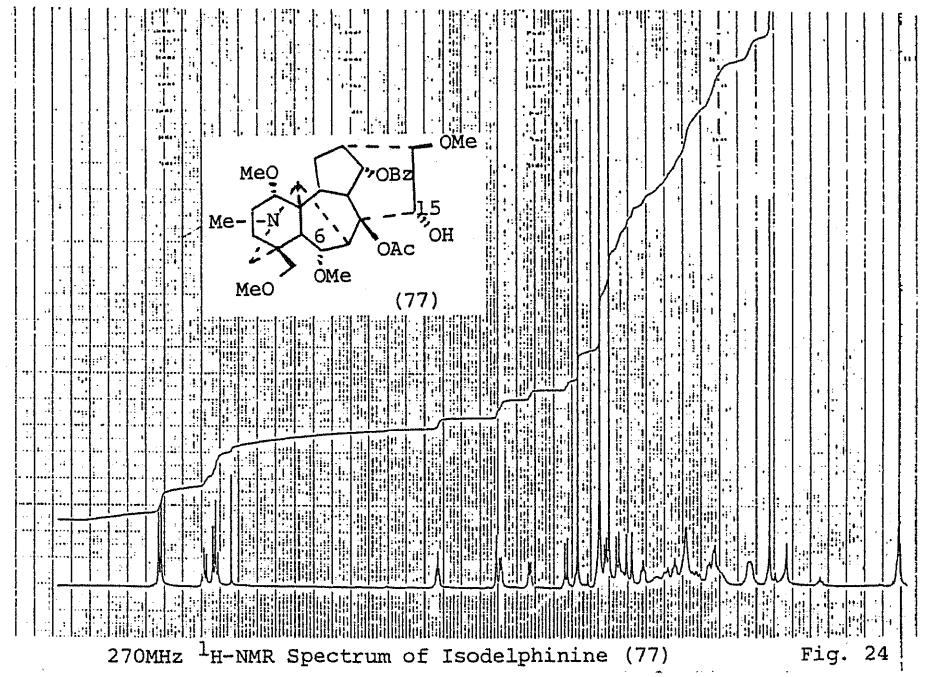
本品の 8,15- diacetyl誘導体を合成することとした、ところで、benzoylmesaconine (98)を用いたアセチル化実験により、アセチル化の速度は C3、C15-OH>C13-



Benzoylmesaconine (98)

OH > C8-OH の順であり、特に C8-OHは Accl 中、長期面放 置することにより、ようやくアセチル化されるということを認 めたので、14-benzoate (113)をAcclに溶解し、アンプルに封 じて室温で2週间放置したところ、アルミナクロマト精製後、 8,15-diacetate (114) も 96%の収率で得た. 本品は mp184~ 186°の無色プリズム晶であり、元素分析にて C35H47NO10E与 える. NMRスペクトルにて & 5.93に d. J= 6Hz で C15-B-H を 示す他に、2本のアセチル(δ 2.11、 δ 1.33)の存在を示し、 特に高磁場のアセチルのシグナルは C14位にベンゾイル基が存 在するときのC8アセティトの×テル基の特徴である.なお、 本品はアルカリ加水分解し、isodelphonine (89)に戻ること とたしかめた. 次に、14-benzoate (113)における C 15 水酸 基を保護した後、Co 水酸基をアセチル化し、次いで保護基を 脱離するという手順で isodelphinine (77)を合成することとし た。 (chart 39)保護基としては酸性条件下安定で、ほぼ中性 条件で脱離可能な CCl3 CH2 O C O 基 を選んだ。 (113) を dry じり ジン中、1.5 当量の CCl3CH2OCOCI と室温にて 14時间反応させ シリカクロマトにて精製すると(115)が収率88%で得られた。 本品はIRスペクトルにて1760 cm-1に carbonate の吸収を示 U, NMR スペクトルにて S5.88 (IH, d. J=6Hz)にC15-B-H,

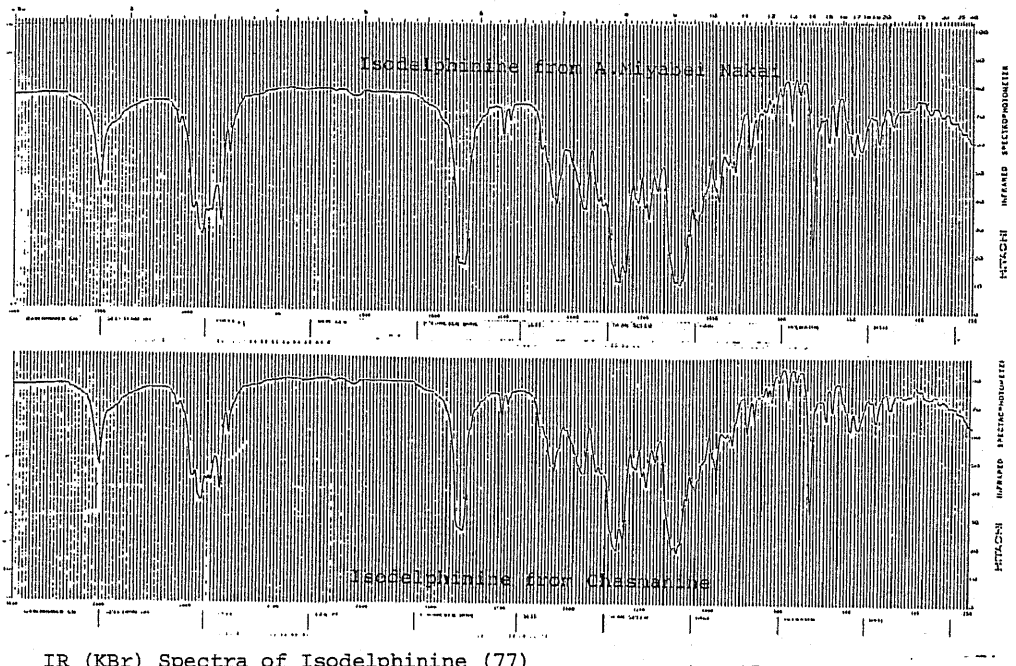
また δ 4.95 k 4.64 に そ 川 で 川 1H, d, J= 12Hz で COOCH2 CCl3のシグナルを示す・次いで (115)の残った C 8 三級水酸基をアセナル化した。ACCl ヒ共に室温にて放置(12日面)という方法にて 96%の収率で,一方、Ac20、Ac0H-p-Ts0H と共に室温で12日 自放置することにより 79%の収率で、そ 川 で 川 8- QCetate (116)を得た・本品は NMRスペクトルにて δ 1.37に3H、S.でベンゼン環により遮蔽されたアセチル基のメチルのシグナルを示す。最後に (116)を Ac0H中、 Znにて処理し、クロマト精製後、保護基が脱離した化合物を収率 88% で 得た・本品をn-hexane-Ft20より結晶化したところ、 mp 158~160°、 [α]²⁹ +17.4°の Colorless Solidが得ら刊た・ (文献記載は無色射状晶). 元素分析および MSスペクトルにて C33 H45 N09を与之、IRスペクトルにて 3490 cm⁻¹に水酸基、1720、1705 cm⁻¹に エステルの 吸収を示す・270 MHz の 「H-NMR (Fig. 24) にて δ 5.05 (IH・L)= 4.3Hz)に C14-β-H、δ 4.41 (IH、d. J= 2.8Hz)に - 0H、δ 4.35 (IH、d. d.



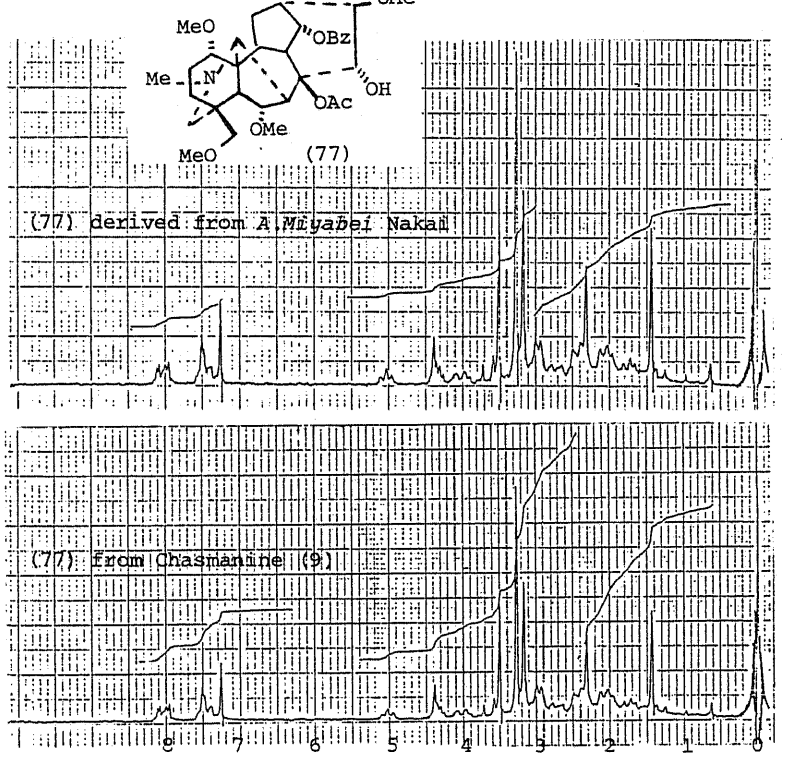
 $J_1 = 2.6$ Hz, $J_2 = 5.7$ Hz)に C_{15} - β -H の他に3.52(3H.5), 3.29(6H·s), 3.19 (3H·s)に 0Me基×4、 & 2.35 (3H·s)に N-Me基, お1.44 (3H,8) に OAc 基が観測され、60MHzの H-NMRの チャー トは、Pelletier 教授かよび一戸教授からおくっていただいた isodelphinine (77)の 'H-NMRのチャートとよく一致した. 更 KBC-NMRの値も文献記載値と符合したが、IR(KBr)スペク トルにて、天然品カチャートと合成品の向に指紋領域で若干の 差が見られた、これは結晶型の違いによる事も考えられたので 天然の isodelphinine (77) との直接の比較が望るれた. しかし 天然品を入手できなかっためで、北海道大学・勝井教授より、 文献⁷²⁾上,(77)のみが単離されたAconitum Miyabei Nakai の 塩基性フラクション【も贈与していたださ、これよい(77)を分 離V同定することとした. 本フラクションは 20年以上放置され ていたものであり、かなり着色·分解していたので、まず HCl 水溶液と AcOE+ にてアルカロイト"処理もし、改めて塩基性フラ クションを得た. このTLCは isodelphinine (77)に相当するス ポットを示さず、8-deacetyl-isodelphinine (= 14-benzoyl isodel phonine) に相当する化合物の存在を示唆した.これ もシリカ、アルミナカラムクロマト、次ぃでアルミナの p-TLC にて分離精製した。その結果,合成品(113)と同一のRf値を有す る化合物も塩基性フラクションより 7.8%の収量で得た. 本品 はNMRスペクトルにて \$5.07に triplet, J=4.5 Hzで C14-β-H も benzoyloxy基めつけ根として表わし、MSスペクトルドでMz 557にMを示し、そのフラグメントパターンは合成品と一致す る. 更に TLC、IRスペクト ルにて合成品 (113)と同定した. 今回

塩基性フラクション I に isodelphinine (77) が存在せず、その8-de a cetyl 体のみが単離されたのは、8-acetyl-14-aroyl型のアコニットアルカロイドの8-アセチルエステル基が容易に分解するという周知の事実と、サンプルが20年以上放置されたものであるということより理解できる。ここで得た(113)を前述の方法に従ってアシル化し isodel phinine (77)へと誘導した. (chart 40) すなわち C15 水酸基の保護 (収率 92%)(115)、C8 水酸基のアセチル化 (収率 92%)(116)、保護基 4 脱離 (収率 93%)である。(中向体 (115)、(116) はそれぞれ 合成品の TLC、IR、NMR スペクトルと一致する) 最後に得られた isodelーphinine (77)は mp 158.5~160° (from Et20-n-hexane)、は700+19.5° の colorless solid である。 混融試験、TLC、MS、IR (Fig.25)、NMR (Fig.26)スペクトルにて、 先に chasmanine (9) より誘導した isodel phinine と完全に一致した・

又,本品をAcclにてアセチル化して15-acetateとした化合物(114)(無色プリズム晶,mp118~182°)も, 先に合成品(113)をアセチル化して得た(114)と同一であることをTLC,IR,混融試験にて確めた.



IR (KBr) Spectra of Isodelphinine (77)



chasmanine (9)ょり11段階 r & d isodelphinine (77)への 誘導が成功した ことが証明され、 (77)。形式的全合成 か完ましたことになる。 ヌ, アコニットアルカロ 1Fo C15a配置への 水酸基填入法が 確立された.

したがって、

NMR(60MHz) Spectra of Isodelphinine (77)

Fig. 26

第二節 新塩基 15-a-Hydroxyneoline の部分合成 による構造決定 ⁹⁵⁾

十葉県嶺岡山に自生するトリカブトの地下部塩基性成分の検索が当研究室によって行われ、9種の既知物質 [mesaconitine (15), hypaconitine (16), aconitine (1), deoxyaconitine (17), isotalatizidine (20), 14-acetyltalatizamine (22), neoline (29), takaosamine (24), ignavine (118)] と共に 1 新塩基が単離された。 (chart 41) 本新塩基 (mp 206.5~207°, [公]2^{22.5}+19.3°)の化学構造は各種スペクトルの解析, 特に 「3C-NMR スペクトルの検討により、15-α-hydroxyneo-line (119)の構造式が提出された。

Alkaloids from an Aconitum species collected at Mt.Mineoka

$$R_1$$
=Me, R_2 =OH, Mesaconitine (15)
 R_1 =Me, R_2 =H, Hypaconitine (16)
 R_1 =Et, R_2 =OH, Aconitine (1)
 R_1 =Et, R_2 =H, Deoxyaconitine (117)

$$R_1=R_2=R_3=H$$
, Isotalatizidine (20)
 $R_1=Me$, $R_2=Ac$, $R_3=H$, (22)
 $R_1=R_2=H$, $R_3=OMe$, Neoline (29)

Takaosamine (24)

BzO. OH OH

Ignavine (118)

mp.206.5-207°
[α]_D+19.3°(CHCl₃)
New Base (119)

OMe

Chart 41

Chart 42

そこで筆者は本推定式を化学的に証明するために、構造が確定している neoline (29)²⁷⁾ より部分合成することを計画した. (Chart 42) すなめら本章、第一節に記した isodelphinine (77)の合成研究により確立された C15 4 配置への水酸基導入法を適用することとした。なお、原料に用いる neoline (29)はエゾトリカブト (Aconitum yesoense Nakai) より分離したものである.

まず neoline (29) を無水酢酸中 p-TsOH と共に加熱し、tri-acetate (120)とした。本品を10分陶、減圧下加熱(2mmHg、200°C) することにより Cs-C15位に二重結合を有する pyro化合物 (121)を収率 95%で得た、本品は NMR スペクトルにおいて よ5.46 (1H, d, J=7Hz)に C15-Hを示す。 更に UV スペクトルにて, 246 nmにこれら pyro 化合物に特徴的な吸収を示す。

この二重結合をピリジンージオキサン中、OSO4 ドて酸化し続。 いて NaHS 03にて還元的に処理すると、8,15-シスジオール体 (122)を単一生成物として与える。本品がB-シス体であること は分子模型上の考察より支持される. (122) は IR スペクトル にて3400 cm-1 付近に幅広い水酸基の吸収が見られ、MSスペ クトルで"加ケ537 にMtco-クを与える。NMRスペクトルで は重水添加後 ♂4.00 に 1H, d, J=8Hz で新生した Cir.B 水酸 基のつ け根のプロトンが観測される・この水酸基の配置を反転 させるため、ケトンへ 酸化、続いて選元することとした。(122) も Swernの方法 (1) DMSO- (CF3CO)20 => Et3N) FT 15ケトン体 (123) ヒした。(chart 44) 本品はIR スペクトル にて 1720 cm-1に C=O 吸収を示し、MSスペクトルにて原料 より2マス少ない19/2 535にM* て9-1 も与える、さらにNMR スペクトルドて Ci6位の OMe基が通常は よ3.3付近に現われる が、Cは位のカルボニル基めアニットロピー効果により &3.52 と低磁場に観測される。本品をTHF中、0℃にて LiAIH4還元に 付し、シリカクロマトドて精製すると、8.15-トランスジオール

Table 9.	13C-NMR	Spectra	of Neoline(29),	$15-\alpha$ and	15-β -Hydroxyneoline"		
Carbon	(29)	(119)	(124)		(29)	(119)	(124)
1	72.3	72.1	72.1	13	44.3	43.6	44.1
2	29.5*	29.5*	29.3*	14	75.9	75.7	74.7
3	29.9*	30.1*	29.9*	15	42.7	79.0	68.1
4	38.2	38.1	38.1	16	82.3	90.4	84.0
5	44.9	44.1	44.1	17	63.6	62.6	61.9
6	83.3	84.3	83.4	18	80.3	80.1	80.1
7	52.3	46.6	52.9	19	57.2	56.7	56.9
8	74.3	79.0	74.6	N-CH2	48.2	48.5	48.2
9	48.3	48.5	48.0	CH ₃	13.0	13.1	13.0
10	40.7	40.7	42.4	OMe 6'	57.8	57.5	57.9
11	49.6	49.4	49.5	16'	56.3	58.0	58.0
12	29.8*	30.7*	30.7*	18'	59.1	59.1	59.2

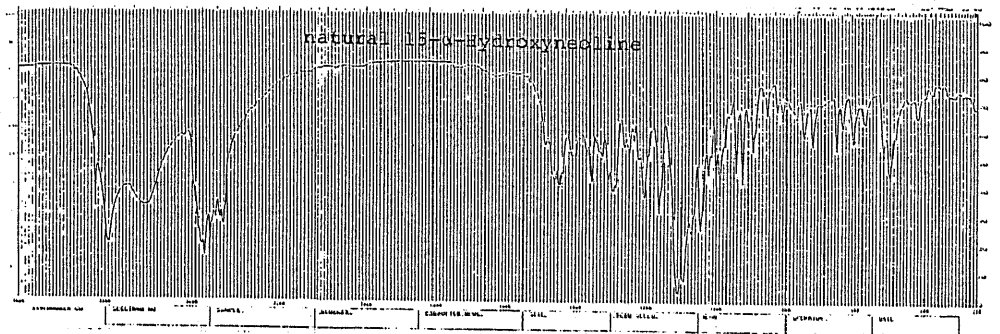
a) In ppm downfield to TMS; in CDCl3

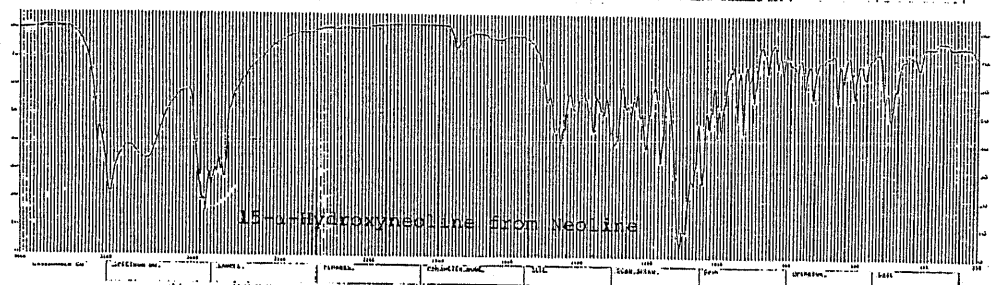
体(119) ヒ 8,15-シス体 (124) が、それぞり(122) より 64%, 26%の収率 で得られた。 8,15-シス 体,すなわち 15-B-hyd-

 $R_1=R_2=H$, Neoline (29) $R_1=H, R_2=OH,$ (119) $R_1 = OH, R_2 = H,$ (124) Fig.

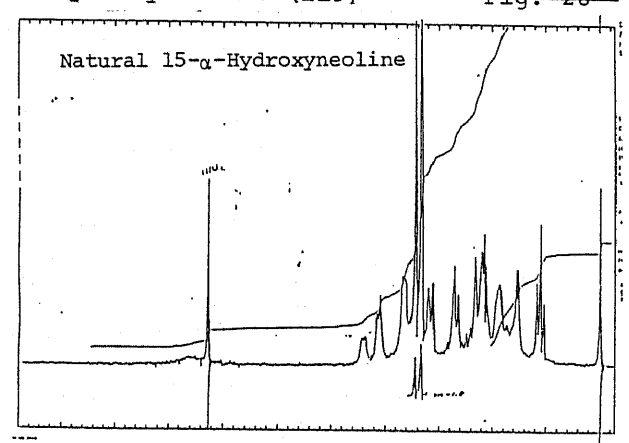
roxyneoline (124) [mp 175~177°, [a] + 24.7°] 1]. OsO4酸化にて得ら11た(122)の Ci, C14 のアセチル基をアル カリ加水分解して得た化合物と一致した。 BC-NMRスペクト ルドおいて (Table 9), 15-β- hydroxy体(124)の15位の炭素 がaエピマーのそれと比べ、約11ppm高磁場に観測されるのが 特徴であり、こ川はボート型をヒったD環における C14-0H と C15-β-OH の立体圧縮による効果 967 と考えられる。(Fig. 27) C15のケミカルシットの値が、15位の水酸基の配置を推定する 手段となりうる。 一方,15ケトン体(123)み還元で得られた8, 15-トランス体, すなわち 15-d-hydroxyneoline (119)[mp 205.5~206°, [d]p + 17.2°] は混融試験, TLC, IR (Fig.28),

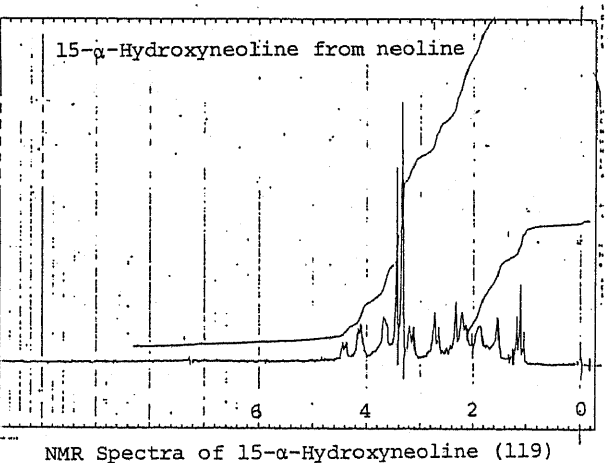
Assignments bearing the same superscript may be interchanged.





MS, NMR (Fig. 29) スペクトル により天然品 の試料(119)と同定され た。Neoline (29)の構造 はX-線結晶解析によ リ決定されている delphisine (125) (8,14diacetylneoline) Ł 確定している。 したかって、この部分合 成により新塩基の構 造が 15-d-hydroxyneoline (119)と決定された。

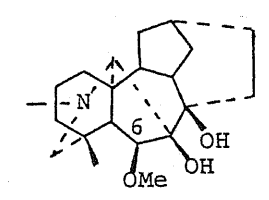




NMR Spectra of $15-\alpha-Hydroxyneoline$ (119)

第三節 Lycoctonine 型アルカロイドから aconitine型 アルカロイドへの化学変換に戻する研究

天然に存在する C19ジテルペンアルカロイドは Lycoctonine型と aconitine型に大きく分類され議論されている。「11)」このニコのグループの最も重要な差異は、前者においては C7 位に水酸基を有し、 C6 位のメトキシ基は B配置であるのに対し、後者においては C7 位に酸素官能基を有さず、 C6 位にメトキシ基を持っ場合はそれが、 a配置であるということである。(chart 45)



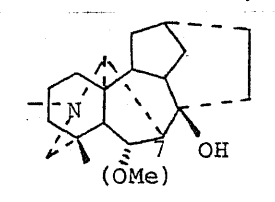
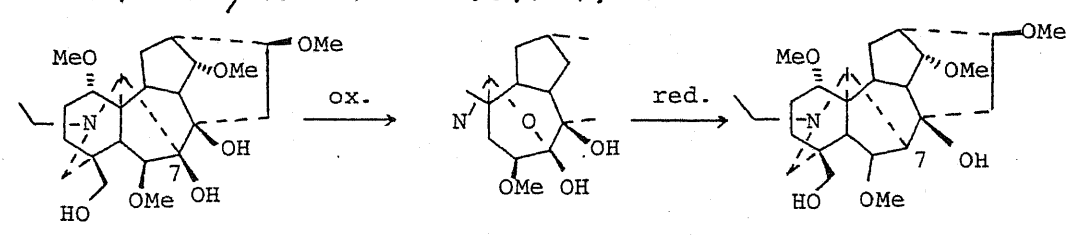


Chart 45

lycoctonine type (126)

aconitine type (127)

そこで両者を化学的に関連づけるために第一にオオレイジンソウ (Aconitum gigas Lév et Van.) の主塩基³⁹⁾ として多量に入于可能なlycoctonine (3)を用い、その C7位の水酸基の除去を検討した。 (3)の酸化反応 (Ag20⁹⁷⁾ pb (OAc)4⁹⁸⁾ k3Fe (CN)6⁹¹⁾により 好収率で hydro-xylycoctonine (128) が得られる。この Huang-Minlon 変法還元での7-deoxy体 (129)への 変換を計画した。(chart 46)



lycoctonine (3)
(A.gigas Lev.et Van.)

hydroxylycoctonine (128)

7-deoxylycoctonine (129)

Chart 46

Hydroxylycoctonine (128)の化学構造に関して II 数多くの研究が成されてきたが 100)、最終的には lycoctonine (3)の構造が X 線結晶解析により決定された 4)後、Edwards 100)、Valentaによって (128) 式が提出された。 (最近、lycoctonine (3)の Ci位を d- 0 Me基に訂正した論文が発表された 5)ので、hydroxy-lycoctonine (128)もこれに順いて d- 0 Me とする。)その生成メカニズムは Chart 47に示す如く、窒素が酸化され、協奏的に C7-C17結合が切断されて C7ケトン体 (130)となり、これに 1分子の出のが付加し、環化して (128)になると考えられている。 筆者はこの中 は (130)に注目した。すなわち溶液中において平衡状態で存在していると考えられるケド体 (130)或は (131)のカルボニル基を Cドラジンと前性かりにて 還元を行えば、その際 C7位に 生成したカルボアニオンが・インモニウムを攻撃し、 C7-C17の 南環反応が進行して、7-de-

oxylycoctonine (129)が生成すると考えた。(chart 48)

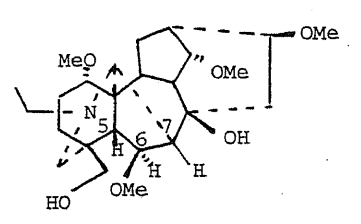
 C_7 - C_{17} 位の架橋反応は生合成ルートの中でも重要な段階とされ、 $(133)^{102}$ 、 $(134)^{103}$ 、 $(135)^{104}$ のような仮説と共に、実験室的に (136) \longrightarrow bikhaconine <math>(138)のような変換反応が行めれてかり(103)、興味深い反応といえる。 (chart 49)

そこで、文献に従い Ag 20法 ⁹⁷⁾により hydroxyly coctonine (128) を合成した、本品は mp 147~149°の無色プリズム晶で、NMRスペクトルにおいて J 4.84 に singlet で C17位のプロトンが特徴的に現われている。次いで (128) を Huang-Minlon 還元、すなわちトリエテレングリコールを溶媒とし、NH2NH2・H20. K0H と共に脱水しながら加熱した。 1050 その結果、TLC上3つの生成物を与えた。 (Rf 値が小さい順に Pro.正、Pro.I、Pro.I、L とする) これをシリカカラムクロマトをくり返すことにより分離した。 (Pro.I、I については以下に記す如くに構造を推定したが、Pro.I に関してはその構造を提出するに至っていない) Pro.I は mp 115~116.5°の無色プリズム晶として得られ(収率16~27%)として得られ、以下の事実より 7-deoxylycoctoni-

ne (129) と推定した。すなわち MS スペクトルドで M2 451 に M[†]を与えること、並びに元素分析値より分子式 C2sH4NO6 を 示し、ly coctonine (3) より酸素原子一つのみ減少していることがわかる。 IRスペクトルドで 3500、3320 cm⁻¹ に水酸基の吸収を示し、C=0、C=N の存在は認められない。無水酢酸- C°リジン処理ドより得られた mono-acetate (139) [IRア^{cnd3}1730 cm⁻¹ MS M2: 493 (M[†])、NMR o^{cod3}: 3.91 (2H, s. -CH2 oAc)]より、分子内に一般水酸基が一つ存在したことが確認された。(129)の ¹H-NMR スペクトルドかいて、N-E+基、

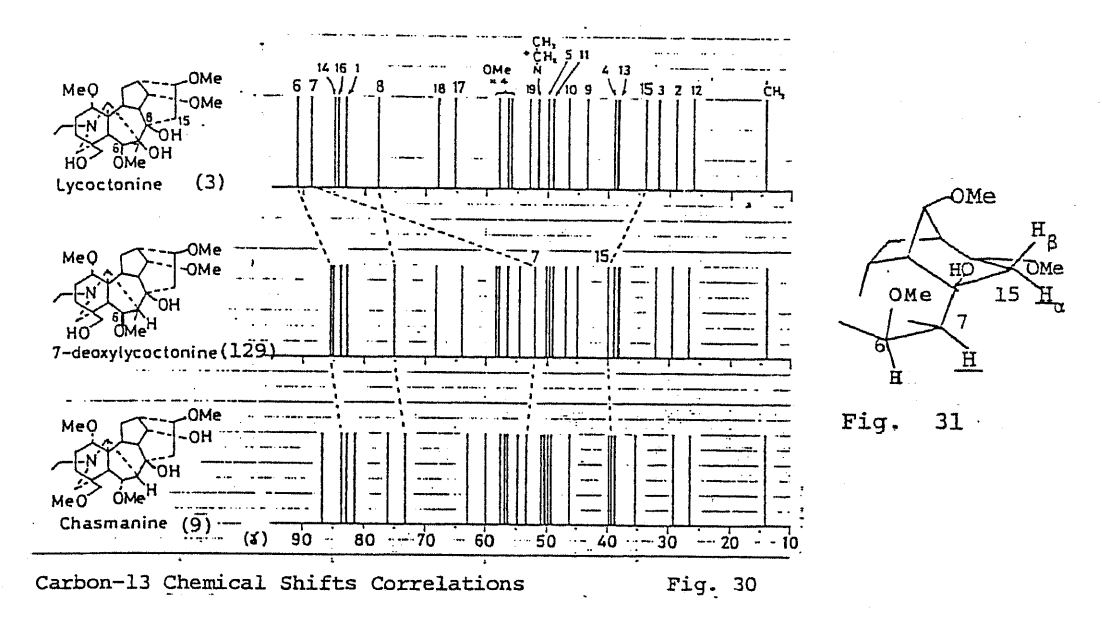
4ヶの OMe基と共に、 13.87 (IH, d.丁=7Hz) に C6-α-H の 明確な シグナル を示し、対応する C7-H は 22.34 (IH,

d.J=7Hz) に存在することをデカッ

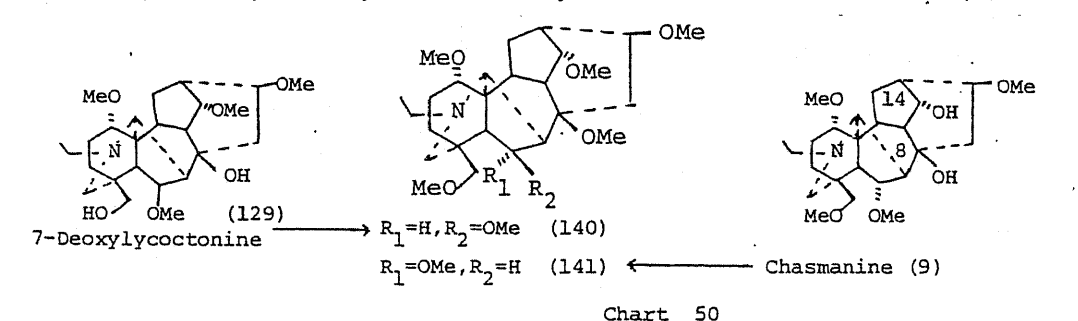


7-Deoxylycoctonine (129)

アル法により明かにした。 Lycoctonine (3)において、C6-4-H は C5-B-H とのなす角度が 90°近くになるために、よ3.85に sing let のシグナルを示すが、830 7- deoxy体(129)では新生した C7-Hにより分裂を起こし doubletになったものとして分子模型上よりも説明できる。 天然のアコニチン型アルカロイドは 13しんじめ 化合物が C6-4-0Me基を有するが、80,106) 反応中 内体 (130)において C6 位は C7カルボニル基の d位に相当するので、アルカリ溶液中でその配置の異性化が期待できる。 しかし 今回の反応条件では C6 位の配置は保持されたものと考えられる。 13C-NMRスペクトルにおいては、7-deoxy体(129)の C7のシグナルが、lycoctonine (3)のそれ、430、1070と比較して36.9 ppm高磁場へ移行している。(Fig. 30) 又、C7に隣接す

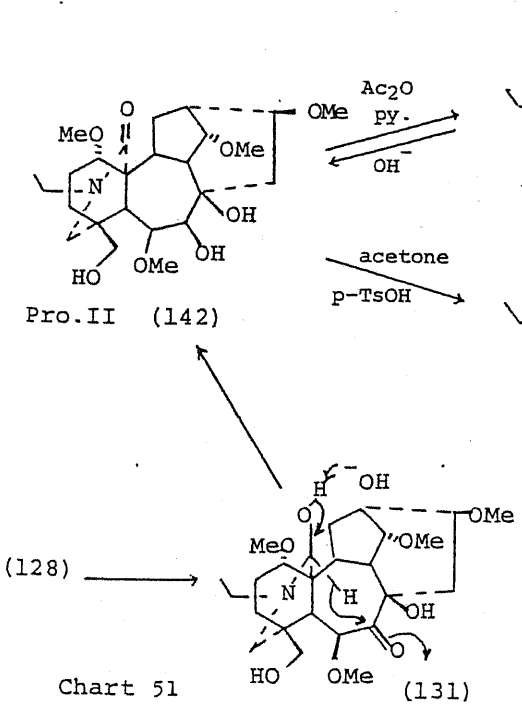


る 6 , 8 位もそりぞり 5.8 ppm, 3.0 ppm 高磁場へ移行しているのに対し、C 15 位のシグナルが 5.8 ppm 低磁場シフトしている。こりは新生した C7-H と C15-α-H が 1.3-diaxial の関係になったことによる低磁場シフト効果 ⁶²⁾ (Fig. 31) としてよく説明できる。他の炭素のケミカルシフトも (129) の構造を支持している。本品を THF中、Na H / CH3 I にてパーメチル化して得た化合物 (140) と Chas manine (9) から誘導した 8,14-0-dimethyl体 (141)を比較した所、(chart 50) TLC にて Rf値がりずかではあるが異なり、又、MOスペクトルにてほぼ 同様のフラグメントパターンを示すが、その強度比に若干の差異が認められた。又、IR、NMRスペクトルに



おいても同様に差が見られる。これらの事も 7-deoxy体(129)の C6位のメトキシ基がB配置として存在することを支持している。

Hydroxylycoctonine (128)の Huang-Minlon 反応により得られた pro. II (142) (収率 12%) は非晶形の中性物質であり、IRスペクトルにて 1630 cm にラクタムの吸収を示し、MSスペクトルにて M2 483に M を与える。又 NMRスペクトルにて N-E+基、4ヶの 0Me基の存在を示す。本品は無水酢酸-ビッジン処理によりは一acetate (143) を与え、又、 acetone-p-Ts 0Hにて反応させると acetonide (144)へ変換される. (chart 51) 本品 (mp 106~108°)は MSスペクトル、元素分析値より C28 H45N08 を与え、NMRスペクトルにて δ 1.56、1.45 (each 3H、s)に のととより、pro. IIの構造を (142)式と推定した。この生成×



ならば、proI (142)の生成にNH2NH2 は 関与していない・そこで hydroxylycoctonine (128)を KOH と共に, 米 性エチレングリコール ゆりいは H20中 で加熱 選流した所、pro.II (142)に 相当する化合物 k lycoctonine (3), des (oxymethylene) lycoctonine (145) が得られた。Edwards らは hydroxylycoctonine (128) を Na2 CO3 存在下,水溶液中加熱すれば、lycoctonine (3), des (oxymethylene) lycoctonine (145), formaldehyde k共に構造不明の中性物質を得たと報告している。1100 これは今回の反応で得た (142) と同一と考えられる。そで、hydroxylycoctonine (128)のアルカリ溶液中における種々の反応について、Chart 52に示した如くの一連のメ

カニズムが推定できる。 NH2NH2, KOH OMe OH OMe Hydroxylycoctonie 7-Deoxylycoctonine (129) (130)MeO (131)OMe (146)-CH₂O MeO MeO OMe Lycoctonine (3) Chart 52 以上のように、hydroxylycoctonine (128)0 Des (oxymethylene) lycoctonine

マルカリ性条件下における反応について知見を得ると共に、Cr Cir 位の特異な反応性を利用して、低収率(27%)ではあるが、 リコクトニン型アルカロイドのCr 水酸基の選択的除去に成功 した。

第三章 アコニットアルカロイドの構造と

<u>毒性発現要因に関する研究</u>

漢薬附子(鳥頭)は漢方において虚寒証の患者の衰えた新陳 代謝機能も亢進させる効力を持つしてり、虚弱者の諸種疾患に 対して用いられる欠くことのできない薬物である。また、強い 中枢性の鎮痛麻酔作用を有し、最近中国では3-acetylaconitine (14)が癌患者の苦痛を柔けるための臨床実験に用いられ も応用されている。その他、強心、利尿、血圧上昇など多くの いる。ところが元来、生附子は猛毒性であるため、ときに不測 の中毒事故をおこす. そこで普通は生附子も種々の修治を施し 滅毒して用いられているが、しかし原料主附子の種類,産地, 採集時期によりアルカロイドをび毒性の変化、修治の方法によ る変動などがあり、ヒキノらの研究によれば、治療に用いられ ている製品にも大きなバラツキがあることがわかった。こった 附子がもっ種々の生理活性本体についての研究もいくつかなさ 11、例之は強心成分が higenamine (75) (7) 血圧上昇物質が coryneine (76) t従来のアコニットアルカロイドとは異っ たイソキノリン型アルカロイドであることがわかった。また、 ヒキノらは鎮痛作用の本体の一つは mesaconitine (15)であり

附子の修治により得ら 川毒性が大きく低下し ているとされているben-Zoylmesaconine (98)は,

 $R_1 = Et, R_2 = R_3 = Ac$ (14)

Aconitine

 $R_1 = Et$, $R_2 = Ac$, $R_3 = H$ (1)

R₁=Me,R₂=R₃=H (98 Benzoylmesaconine 鎖痛効果が大きく減じられてしまうと報告している。 したか 上述した 3-acetyl aconitine (14)のようにコカインの約100倍も り鎖痛麻酔作用を持ちなから毒性が低下している化合物も中国にて天然より見い出されている。したがって低毒性でかつ有効な生理活性をもつアルカロイドの出現が望まれるが、われわれば、猛毒性アコニットアルカロイドの構造上の毒性発現雰囲をでより有効な薬物を作り出すことが期待できる。このためには、すずアコニットアルカロイドの構造上の毒性発現雰囲をつきとめることが、これらの研究を進める第一歩と考えた。でこで、いくつかのアコニットアルカロイドの動物に対する急性毒性の値(LDso)を調で、これより構造しの活性相関につき着察した。

マウスに対する LDso は up-and-down 法により求められた。 (本研究は干葉大学薬学部・原田正敏教授,尾崎幸紘氏らによるものである。).これらの結果をTable 10~14に示す。

検体として11種の天然品 [chasmanine (9), ezochasma-conitine (45), anisoezochasmaconitine (46), neoline(29) は Aconitum yesoense Nakai の成分であり、lycoctonine (3), lycaconitine (148) は Aconitum gigas Lev. et Van. より 得た。aconitine (148) は Aconitum gigas Lev. et Van. より 得た。aconitine (1), mesaconitine (15), hypaconitine (16) り。jesaconitine (4) の 130, anthranoyllycoctonine (149) は文献記載の値を引用した。」と 16種の誘導体を用いた。誘導体 (151)、(152)、(153) は chasmanine (9) の 14-0-aroyl体であり、それそれ Chasmanine (9) をじりジン中酸クロライド (Arcocl)と処理することにより得た。また、化合物 (53)、

(154)、(155)、(156)、(157)、(158)、(159)、(160) は Chasmanine(9) の 8-acetyl-14-aroyl体であり、それぞれ Chasmanine(9) とArCOCIにより得た14-aroyl体をAc20-p-TsOHにて8つセチル化して得た。(chart 54) (163) は neoline(29) を い14-dibenzoate (164)とした後、Ac20-p-TsOH にて8-acetateとした。

8- acety1-14-benzoyl neoline (162) は次の 手順で得た。Neoline (29) を 1.4 当量の CCl3 CH2O COCl ヒピリシン中 -18°Cドて 1 時間処理し、収率72%で選択的に C1 水酸基を CCl3 CH2O CO化した化合物 (165)を 得、次いで C14水酸基を塩化ベンゾイルー ビリジンドてベンゾイル化 (166)した。残った C8 三級水酸基をAC2O p-TsOH ドてアセチル化 (167) 投、 Zn-AcOH 処理ドで保護基を脱離させ、目的とした (162) を 得た。 (chart 55)

8- qcetyl- 14-benzoyl ezochasmanine (62)の合成については第一章(p36)に記した。又, 化合物(150)は, (62),(162)の場合同様、 ezochasmanine (48)より選択的アシル化法を用いて合成した。(chart 56)

$$\begin{array}{c} \text{MeO} \\ \text{MeO} \\ \text{R}_1 \\ \text{OR}_2 \\ \text{OR}_3 \\ \text{OR}_3 \\ \text{OR}_3 \\ \text{OR}_3 \\ \text{Py} \\ \text{R}_2 = \text{CC1}_3 \text{CH}_2 \text{OCO} \\ \text{R}_2 = \text{CC1}_3 \text{CH}_2 \text{OCO} \\ \text{R}_1 = \text{R}_3 = \text{H} \\ \text{R}_1 = \text{R}_2 = \text{R}_3 = \text{H}, \text{Ezochasmanine (48)} \\ \text{R}_1 = \text{R}_2 = \text{CC1}_3 \text{CH}_2 \text{OCO} \\ \text{R}_2 = \text{CC1}_3 \text{CH}_2 \text{OCO} \\ \text{R}_2 = \text{CC1}_3 \text{CH}_2 \text{OCO} \\ \text{R}_1 = \text{Bz}, \text{R}_3 = \text{H} \\ \text{R}_1 = \text{Bz}, \text{R}_3 = \text{H} \\ \text{OAc} \\ \text{OAc} \\ \text{MeO} \\ \text{OMe} \\ \text{OAc} \\ \text{OMe} \\ \text{OM$$

(9) Chasmanine H H (151) CO H	ip 713 24.5 95.1	i v 90
(151) CO H	24.5	90
	1	
	95.1	
(152) CO-OMe H		,
(153) CO-\square H	30.5	
(53) CO	9.0	1.3
(154) Vilmorrianine C CO OMe Ac	5.8	1.9
(155) CO OMe Ac	3.0	1.5
(156) CO OMe Ac	7.2	3.8
(157) CO Br Ac	5.4	1.5
(158) CO Br Ac	2.4	0.9
(159) CO-NO ₂ Ac	3.7	1.1
$(160) \qquad \qquad COC = C \qquad \qquad A_C$	5.4	1.1
(161) (N→0) CO OMe Ac	11.2	2.7
(45) Ezochasmaconitine Ac CO	60.0	14.6
(46) Anisoezo- Ac CO C	-OMe 38.9	11.7

.Table]	.4				LD ₅₀ (mg/kg)
		R ₁	R ₂	R ₃	ip
(30)	Neoline	H	H	H	246
(162)		н	\mathtt{Bz}	Ac	28.3
(163)		Bz	Bz	Ac	160

以上の結果に基き毒性と化学構造について論じるには、データ量が十分とはいえないが、これまでに得た知見から以下のことが推論できる。

1. 14位の ArCO基は遊離水酸基の ものと ��で、 毒性を 7~30 倍増 大させる。(Rs)

- (9)---(151), (152), (153)
- 2. 8位に CH₃CO基を導入すると毒性は更に 3~10倍増大する. (151)→(53)」 (152)→(154)、(153)→(157)
- 3. アコニチン型と同様、C₈-0C0CH₃、C₁₄-0C0Ar の存在は 毒性発現に必要であり [(9)→(53)、(62)←(150)]、両エ ステルの位置が逆転すると、その毒性は約½に低下する。 (53)→(45)、(154)→(46)
- 4. Aroy| 基の種類が毒性におよぼす影響:
 ben zoy|基 く anisoy|基 く veratroy|基の順κ毒性を増す。
 (1)→(4), (53)→(154),(45)→(46), (154)→(155)
- 5. C.- OMe 基 (chasmanine系)の存在が必要である。すな めち C」位か OMeから OH基 (neoline系)に変ると、毒 性が約 1/3に減少する。(53)→(162)
- 6. 窒素の置換基は N-Me > N-Et > N € の順で毒性 も増す効果を持つ. (15)←(1), (154)←(161)
- 7. 3 位に水酸基を導入すると毒性は約 3~5 倍増大する. (53)→(62), (16)→(15)
- 8 アコニチン系の如く、13、15位への水酸基の導入は毒性 も除々に増大することが予測できる。

結 語

以上、各章にて論述した要旨もまとのなと以下のようになる。 く-章> 二種のトリカブト属植物の塩基性成分の検索を行い。 高尾山産ヤマトリカブト (Aconitum japonicum Thunb.)からは 5種の新塩基 [11- acetyl iso hy pognavine (18), diacetyl isohypognavine (19), 14-acetyltalatizamine (22), takaosamine (18-0-demethyldelcosine) (24). takaonine (2.3dehydro-14-dehydro de/cosine (26) 」 E含む10種のアルカ ロイドも単離構造決定することができた。また、北海道産エゾ トリカブト(Aconitum yesoense Nakai)よりは6種の新塩 基[1-acetylluciculine (43), 14-acetylneoline (44), ezochas maconitine (8-benzoyl-14-acetyl-chasmanine)(45), anisoezochasmaconitine (8-anisoyl-14-acetyl-chasmanine)(46). pyrochasmanine (47), ezochasmanine (3-a-hydroxychasmanine)(48)] L共にアポルフィン型塩基glaucine (49) を含む9 種の既知物質の単離構造決定ができた。この内/(45)/(46)は従 来のジエステル型アコニットアルカロイドヒはエステルの位置 が逆転した8-aroyl-14-acetyl型の化合物である。また、ezochasmanine (48)における C3, C14 水酸基のアミル化に対する 反応性に差を見い出し、これを利用して、中国産トリカプト(A. vilmorrianum Kom.) より単離された vilmorrianine A (8-acetyl-14-anisoyl-ezochasmanine)の合成に成功した。 く二章> アコニットアルカロイド の C15Q 位への水酸基導入 法の用発と、isodelphinine (77) (A. Miyabei Nakai)の合成を

目的として、エグトリカブトの主塩基 Chasmanine (9) を用いて種々変換ルートを検討した。その結果、アコニットアルカロイドにおけるいくつかの立体かよび位置選択的な反応を見い出し、これを利用して isodelphinine (77)のアルカミンであるisodelphonine (89) (N-methyl-15-α-hydroxy chasmanine) の効率的な合成に成功した。更に (89)にかける水酸基の選択的アシル化により天然物isodelphininetmと導き、これにより(77)の形式的全合成が完了した。また、ここで開発した C15d 水酸基再入法を用いて neoline (29)より 15-d-hydroxyneoline (119)を部分合成し、干葉県積岡山産トリカブトより単離された新塩基の構造を15-d-hydroxyneolineと決定した。

また、C19 骨格を有するアコニットアルカロイドのC7-C17結合の特異な反応性を利用して lycoctonine型アルカロイドから aconitine型アルカロイドへの変換に成功した。すなめち、hydroxylycoctonine (128)の Huang-Minlon 選元により lycoctonine (3)の C7米酸基 を選択的に除去した。その際、(128)のアルカリとの反応にかいて知見が得られた。

く三章〉 C19 アコニットアルカロイドの構造上の毒性発現原因を追究するために、chasmanine (9)、neoline (29)、ezochasmanine (48) を原料として16種の aconitine (1)類似誘導体を合成し、これらと教種の天然品のマウスに対する LDsoを求めた。その結果、8-acety|-14-aroy|基の存在が猛毒性発現に必須であること等、ハくつかの知見を得た。

本研究を行うに際し、終始御想為なる御指導御鞭撻頂きました坂井進一郎教授に心より謝意を表します。

また本研究に際し、貴重なる御助言と御指導を頂きました相見則郎助教授並びに山中悦二博士に心から御礼申し上げます。 また×線解析を行って頂きました山口啓一博士に感謝致します。

本研究にあたり、特に植物に関し貴重なる御教示を頂いた教庭、大寿教授、並びに貴重なる御助言と確々サンプリンを提供してくたさった東京大学・岡本敏彦教授に心から御礼申し上げます。また、種々のアコニットアルカロイド、の毒性試験をして頂きました原田正敏教授、尾崎幸祉氏に感謝致します。

種々の御助言と御討論を頂きました干意大字奪卓部薬化学研究室の方々に感謝致します。

更に、「C-NMR測定の労をとられた明治薬科大学・久保陽徳教授、東京医科歯科大学・中嶋暉躬教授、その他元素分析、NMRからないMSスペットルを測定して頂いた千葉大学中央分析センターのかに感い謝致します。

なお、貴重なサンプルの分与並がドチャート類の提供をしてくださった北海道大学・理学部・勝井信勝教授、名城大学薬学部古川宏教授、日本大学理工学部・一戸良行教授、アメリカ・ジョージア大学、S.W.Pelletier教授、中国科学院是明植物研究所・陳並がド楊氏に感謝致します。

実験の部

各章を通じて

mp : 硫酸浴およびヤマトMP-1(シリコン油)を使用しキャピラリー

にて測定 すべて未補正

UV : 日立 EPS-3T型 および 日立 340 型

IR: 日立215,260 5.3以 295型

'H-NMR: 日本電子 JNM-MH 100 (100MHz), FX 270 (270MHz) および日立兄-248 (64Htz)

13C-NMR: 1本魔子JNM FX 60 (15.1MHz) およか FX100 (25.05 MHz)

(H,BC-NMR共K溶媒は特に記載ないかざりCDCl3を使用し

TMSを内部標準として測定。 singlet, doublet, triplet,

multiplet をされぞれ S,d,t,m と略記)

MS: BiRMU-6E型

酚解能MS: 日立 RMU-7M型

CD : 日本分光 J-20型

[a]o: 日本分光 DIP-SL型 かよび DIP-140型

SiO2: Merck社製 Silicagel 60 (70~230 mesh) (カラムクロマト)

り (230~400ヶ)(フラッシュ カラムクロマト)

" GF1254 nach Stahl (Type60) (薄月クロマト)

Aho3: Merck社製 Aluminium oxide 90 (activity I~亚) (カラムクロマト)

1 Fi254 (Type E) (薄乃クロマト)

Woelm社製 Alumina Woelm N, (activity 双)(カラムクロマト)

- ・プルパララスプ:漢乃クロストク・ラフィーは p-TLC(展南溶媒)と略記。
- ・TLCの発色はIzにより行った・
- ・抽出に使用した溶媒はすべて無水NawSO4で乾燥した。

第一章第一節に関する実験

ヤマトリカフット (高尾山産)の塩基の抽出

1977年5月29日,東京都下高尾山木下沢地区で採集したヤマトリカブトを地上部(基,素部),地下部(根部)に分け、以下別々に操作を行った。地下部 粉砕物 3.7 kgを MeOHで冷浸(3~4日×5回)を行い、195gのエキスを得た。これを IN-Hcl 水溶液に溶解し、AcOEt で3回抽出。AcOEt 盾は IN-Hcl 水溶液で逆抽出し塩酸屑に合わせる。 氷冷下,塩酸水溶液 房をNa2CO3でアルカリ性とし CHCl3で3回抽出する。 CHcl3房を brineで洗浄後,乾燥,溶媒留去し、淡黄色泡状の粗三被塩基で3g(地下部粉砕物より0.197%)を得る。地上部粉砕物(4.6 kg)も MeOH冷浸(7日×3回)を行い、242gのエキスを得,以下,地下部と同様の操作を行い、粗三被塩基2.6g(0.057%)を得る。それで礼の粗三級塩基のTLCの様子は5i02(10%MeOH-CHcl3)にて Rf値の小さい順に、地下部は塩基(17)、(18)、(20)、(23)、(19)、(25)、(26);地上部は塩基(17)、(22)、(24)、(20)、(23)、(21)、(25)、(26)の存在が認められた。

Isohypognavine (17)n 单龍

地下部は租遇基で3gの SiO2 (350g)カラムクロマトの15~30%MeOH-CHCl3 溶出部より、地上部は租伍基 2.6gの SiO2 (150g)カラムクロマトの30~50%MeOH-CHCl3 溶出部より amorphous として得られ、無色六角柱晶の温酸塩 mp 189~191.5° (dec.) (from MeOH)を与える。 Anal Calcd。 C27H31NO4·HCl·2H2O (吸湿性): C, 64.08; H,7.17; N,2.77 Flound: C, 64.43; H,6.93; N, 2.77。 UV 入間の nm: 231.5, 275, 283。 IR (HCl塩) り kBr cm-1: 3400 (OH), 1710 (C=0), 1640 (C=C), 1605, 1585, 1280, 710。 NHR (以下特に記載ない限り100 Mb)

が: 7.98(2H.dd. Ji= 6, J2= 2Hz), 7.58~7.42(3H), 5.48(iH. broad s, W%=8Hz, C2-H), 5.14, 5.00(each 1H, s.)=CH2), 4.00(IH.d.J=5Hz, C11-H), 3.89(IH.s. C15-H), 3.46(-0H), 3.30(-0H), 1.04(3H.s. C-CH2) MS 吸(%): 433(M*,100), 312(M*-phc00, 98)

11-acetylisohypognavine (18) n 单離

地下部より得らましる isohypognavine (17) も 塩酸塩にした時の母液を遊離塩基とし、これをアルミナカラムクロマトに付し、50%n-hexane-AcOEt ~AcOEt 溶出部より無色プリズム晶として得らました。 mp 187.5~188.5°(dec.)(from acetone) Anal Calcd. C29H33NOs: C,73.24; H,7.00; N.2.95.
Found: C,73.10; H,7.08; N,291. UV入max nm (log を): 230(4.03)、274.5 (2.84). IR/max cm-1: 3400(0H)、1735(0Ac)、1720(0Bz). NMR が: 7-98 (2H,dd,J=6,J2=2Hz)、7.58~7.40(3H)、5.50(1H,m.C2-H)、5.06(1H,d,J=5Hz、C11-H)、5.19、5.00(each 1H.S.)= CHz)、3.94(1H,d,J=8Hz、†D20で1H、S、C15-H)、1.98(3H、S、C0CH3)1.02(3H.S).
[d] +74.1°(c=0.8、CHCl3)、MS MZ(%): 475(H[†],21)、432(M[†]-cocH3、8)、354(M[†]-phcoo、100)

isohypognavine (17)のアセチル化

(17) 95 mg o pyridine (1ml) 溶液にAco (0.2 ml) E加之, Nzがス下,空温にて一晩放置。溶媒を減圧下留去投,残渣にCHiclz E加之, 5% NaHCO3 水溶液次いで水で流冷し、溶媒を乾燥,留去し残渣 114 mg を得る。これをアルミナカラムクロマトに付し、50% benzene-CHCl3 溶出部をEt20-nhexane より結晶化し、diacetylisohypognavine (19) E無色針状晶として 42 mg 得る。mp 179~181°。

11-acetylisohypognavine (18) 0 7 t + 11/16

(18) 30mgの pyridine (0.5ml)溶液に Ac20(0.1ml)を加え、N2かス下室温にて一晩放産。 (17)のアセテル化の時と同様の後処理を行い 42mgの残渣を得る これを n·hexane-Et20 より 結晶化し、無色針状晶 20mgを得る. (mp 182~183°). (17)のアセチル化により得られた (19)と本品との混融試験は融点降下を示さず、又、IRも一致した。

11- acetylisohypognavinone (28)

(18) 60 mg を CHCl3 (3 ml)に溶解し、活性MnO2 300 mg を加え室温にて3時 由境拌する。さらに 試棄 300 mg を追加し室温にて一晩撹拌する。MnO2を適取 し、滤液を減圧下留去 後、得ら川た 残渣(51 mg)を シリカ(4g)カラムクロマトに 付す。1.5% Me OH - CHCl3 溶出部 より 23 mg の (28)を得る。これを pierateとし 含水×9/-1レより再結晶 し、mp 302°(発泡分解) み 淡黄色針状晶を得る。 Anal calcd。 C29 H31 NO5·C6H3 N307: C, 59.82; H, 488; N, 7.97. Found: C. 59.44; H. 489; N. 7.87。 以下遊離塩基にて測定。 UV入 mox nm (lag を): 229.5 (426)、274.5 (2.92)。 IR Ymax cm-1: 1735、1715 (broad)。 NMR お: 6.04、5.11 (each | H、5、) = CH2)。 MS M2 (%): 473 (M[†]、98)、430 (M[†]- COCH3、12)、352 (M[†]- Ph COO、100)

diacetylisohypognavine (19) の単離

地下部粗塩基のシリカカラムクロマト、8% MeoH-CHCl3 溶出部を再かシリカカラムクロマト (benzene/AcOEt/MeoH系)に付し、MeoH 溶出部をアルミナカラムクロマトにて精製レ、20%AcOEt-n-hexane 溶出部をEtaO-n-hexane より 結晶化し、mp 181~183°の無色針状晶を得る。 Anal Calcd. C31 H35 NO6: C, 71.93; H. 6.82; N, 2.71, Found: C, 71.78; H. 6.78;

N,2.64. UV入max nm (log E): 231 (4.11), 274.5 (2.96). IR /max cm⁻¹: 1735. 1725, 1710. NMR &: 5.54 (IH, m, C2-H), 5.45 (IH, S. CIS-H), 5.03 (IH, d. J=5Hz, CII-H), 5.17, 5.00 (each IH, S.)=CH2), 2.06, 1.98 (each 3H, S. OCOCH3×2), [d] +55.3° (c=0.2, cHcl3). MS が (%): 517 (M⁺, 100), 474 (M⁺-cocH3, 18), 396 (M⁺-Phcoo, 69). 本品は(IT) とアセチル化して得た(19)と混融試験、IRの比較により固定した.

isotalatizidine (20) n单離

地下部のシリカカラムクロマト、10~15% Me OH-CHC/3 溶出部をアルミナカラムクロマトに付し、1~10% MeOH-CHC/3溶出部を得る。本品を更にシリカカラムクロマトに行し、1~10% MeOH-CHC/3溶出部より isotalatizidine (20)が得られる。地上部よりは地下部と同様、SiO2、A/2O3、SiO2カラムクロマトの川頂で(20)が精製する。最後に p-TLC (SiO2、10% MeOH-CHC/3)で精製し、isotalatizidine (20)が得られる。無色プリズム晶・mp115.5~116°(from AcOEt-Ft2O or acetone) [文献値 116~117°] Anal Calcd・Ca3H37NOsiC、67.78; H,9.15; N,3.44 「Found: C、67.57; H,8.98; N.3.26、IRア max cm-1: 3350 (OH)、NMR が、4.20 (1H,t,J=4.5Hz、C14-H)、3.72 (1H.br.s、C1-H)、3.34、3.32 (each 3H.s、OMex2)、1.10 (3H.t.J=7Hz、N-CH2CH2)・MS %(%): 407 (M1、24)、392 (M1-CH3、28)、390 (M1-OH、100)・本品の以上のデータより isotalatizidine (20)と推定し、Pelletier教授より分与されたCondelphine (21)をアルカリ 加水分解して得た標品と混解試験、TLC、IR、MSの比較により同定した。

Condelphine (21)の単離

地上部粗塩基のシリカカラムクロマト、10%MeOH-CHC13溶出部をアルミナカラム

7ロマトド付し、40~80% AcOFt-n-hexane 溶出部をp-TLC(sioz、10% Meon-CHCl3)ドて精製して得られる。無色プリズム晶、mp 156~157.5°(from acetone)[文献値 156~158°] Anal Calcd. C25H39NO6: C, 66.79; H, 8.75; N, 3.12、Flound: C. 66.93; H, 8.82: N, 3.11. IR Y max cm-1: 3500、3150、1740. NMR る: 7.08(1H、br.s、W = 20Hz、+D20で消失、C1-0日)、4.85(1H、t、J=4.5Hz、C14-H)、3.32、3.27(cach 3H、S、0Mex2)、2.02(3H、S、0C0CH3)、1.11(3H、t、J=7Hz、N-CH2CH3). MS が (%): 449(M*19)、434(M*-CH3、22)、432(M*-OH、100). 本品は以上のデータより concle l phine(21)と推定し、Pelletier 教授が分与された標品との混融 試験、TLC、IRの比較により同定した。

14-acetyltalatizamine (22)の単離

地上部の isohypognavine (17) を塩酸塩として得たしの母液を遊離塩基とし、アルミナカラムクロマトに付し、30~40% AcOEt-n. hexane 溶出部より得られる。 (22): amorphous、 IR / max cm-1: 3580, 1740, 1250. ¹H-NMR が、4.80 (1H, t, J= 4.5Hz, C14-H)、3.29、3.26、3.21 (each 3H, S, OMex3)、2.03 (3H、S、OCOCH3)、1.05 (3H, t, J=7Hz, N-CH2 CH3). ¹³C-NMR (Table 2)、 [d]_D²⁰ + 19.7° (c= 0.36、CHcl3) MS 吸(%): 463 (M[†]、3)、448 (M[†]-CH3、2)、446 (M[†]-OH、2)、432 (M[†]-OMe、100).

(22)カアルカリ加水分解

(22) 28 mg も 5% KOH-aq. MeOH (Iml) 溶液となし、3時面加熱還流を行う. 反応液を減圧濃縮後,水を加えて CH2cl2 抽出。 CH2cl2序をbrineで洗浄後,乾燥、留去し,残渣をアルミナ(1g)カラムクロマトに付す。 AcOEtで溶出した後、MeOH もり 結晶化し、mp 138.5~140°の無色プリスム晶を得る.

IR y max cm⁻¹: 3550, 3450. NMR が 4.72 (1H, d, J=4.5Hz, + D20で 消失、C14-0H), 4.12 (1H, g, J=4.5Hz, + D20にて t, J=4.5Hz, C14-H), 3.59 (1H, s, + D20で 消失、-0性), 3.34, 3.29, 3.26 (each 3H, s, OCH3 ×3), 1.05 (3H, t, J=7Hz, N-CH2 CH3). MS が(%): 421 (M+,5), 390 (M*-OMeloo). 本品はTLC、IR・MS、混解試験により標品のtalatizamine (8)と同定した。

Delcosine (23)の単離

地下部はシリカカラムクロマトの10~15%MeOH-CHCl3溶出部とアルミナカラムクロマトに付し、10%MeOH-CHCl3溶出部より得られる. 地上部はシリカカラムクロマト後、アルミナカラムクロマトの10~50%MeOH-AcOEt 溶出部より得られる。 (23):無色プリズム晶、mp 189~192.5° (dec.) (from acetone) [文献値 196~198°(dec.)]. Anal Calcd. C24H39NO7: C. 63.55; H. 8.67; N, 3.09 Found: C, 63.60; H. 8.81; N, 3.02. IR //max cm-1: 3460, 3340, 1110, 1090, 1080. NMR が: 7.24 (1H、br.s. N/2 = 24Hz. C.a-0日)、4.10 (1H、t. J=4.5Hz, C14-H)、4.02 (1H、s. C6-H)、3.68 (1H、br.s. N/2=16Hz. C1-H)、3.39、3.36、3.34 (each 3H、S. OMex3)、1.10 (3H、t.J=7Hz. N-CH2CH3). MS 7/2 (%): 453 (M*517)、438 (M*-CH3、100)、436 (M*-OH、42)、422 (M*-OCH3、45)、264 (5). 本品は標品とTLC、IR、MS、混品性試験にて同じた.

takaosamine (24)の単離

地上部粗塩基のシリカカラムクロマト、20%MeOH-CHCla溶出部をアルミナカラムクロマトに付し、6%MeOH-AcOEt溶出部を更にシリカカラムクロマト(4~5%MeOH-CHCla溶出)特製することにより得られる。無色板状晶、mp 174~175° (from acetone). Ana/calcd. C23H37N07: C, 62.85; H, 8.49; N, 3.19. Found: C, 62.77; H, 8.58; N, 3.04. IR / max cm⁻¹: 3450 (broad). NMR が、4.10 (1H, t, J=4.5Hz, C14-H), 4.00 (1H, s, C6-H), 3.40, 3.36 (each 3H, s, OMex2), 1.09 (3H, t, J=7Hz, N-CH2 CH3).

Ed] $_{0}^{20}$ + 61.2° (C=0.41, CHCl₃). MS $\frac{\pi}{2}$ (%): 439 (M, 12), 424 (M, -CH₃, 160), 422 (M, -0H, 28), 408 (M, -0CH₃, 41), 264 (3).

(24)のアセチル化

(24) 33 mg の pyridine (0.5 ml) 溶液に Ac20 (0.1 ml) を加え、Naかえ下、約10°Cにて一晩放置。溶媒を減圧下留去後、CH2Cl2を加え 5%NaHCO3水溶液ついて水で洗浄し、溶媒を乾燥後 留去して残渣 35 mg を得る。 シリカ (4g) カラムクロマトに付し、35% Ac0 Et - benzene 溶出部より 1.14.18 - triacety Itakao Samine (32) を 9 mg、40% Ac0 Et - benzene ~ Ac0 Et 溶出部より 1.18 - diacety Itakao Samine (31) を 20 mg 得る。 1.18 - diacety Itakao Samine (31) を 20 mg 得る。 1.18 - diacety Itakao Samine (31): amorphous、IR y cnd3 cm-1: 1730、NMR が、4.72 (11, dd、J1=10、J2=6Hz、C1-H)、3.95 (2H、S、-C1 J2OAc)、3.86 (1H、S、C6H)、3.36 (6H、S、OCH3×2)、2.00、2.05 (each 3H、S、OCOCH3)、1.08 (3H、L、J=7Hz、N-CH2CH3). MS 吸 (%): 523 (M[†]、7)、508 (M[†]-CH3、100)、464 (M[†]-OAc、100).

(31)のアセチル化

(31) 17mgの pyridine (0.5ml)溶液に Ac20 (0.1ml) を加え、N2ガス下、空温にて30分 撹拌後、更に外浴 82~92°Cにて 2.5時間加熱する。(24)の7セテル化の時と目様の後処 理を行い残渣16mgを得る。アルミナ(3g)カラムクロマトに付し、50~60% Ac0Et-n. hexane 溶出部より (32)を15mg 得る. 本品は (24)の7セテル化の時に生成した (32)と同一であることを1R、TLCにて確認した。1、14、18-triacetyltakaosamine (32):amorphous. IR/max cm⁻¹: 1740. NMR δ: 4.72 (1H, dd, Ji=11、J2=6.5Hz, C1βH)、468 (1H, t J=4Hz, C14-H)、3.95 (2H、S、-CH2OAc)、3.36、3.29 (each 3H、S, OCH3×2)、2.03 (6H、S)、2.05 (3H、S) OCOCH3×3、1.08 (3H、t、J=7Hz、N·CH2CH3)、MS % (%):565 (M¹、5)、550 (M¹-CH3、10)、506 (M¹-OAc、100).

(24)の 0-メチル化

(24) 22 mgの dry dioxane (1ml)溶液にNaH (50%純度、44mg)を少しかつかえ、ついて"dioxaneが凍らない程度に冷でしなから CH3I (0.057ml)を満下する。10~12°C にて14時間撹拌する。反応液に氷冷下含米MeOHを加え、過剰のNaHをこわす。溶媒を減圧下留去し残渣に水を加え CH2cl2 J由出。 CH2cl2 万を水洗、乾燥後 溶媒留去し残渣をシリカ (2.5g)カラムクロマトに付し、1%MeOH-CHCl3 溶出部より delsoline (30)を 1mg、1.5~2%MeOH-CHCl3 溶出部より gigactonine (33)を 11 mg 得た。(30)はアルシナ (0.3g)カラムクロマトにて精製し (acetoneで溶出)、acetoneより、再結晶 (mp192~196)して、TLC (10%MeOH-CHCl3、acetone:CHcl3=4:5、benzene:Acoet:EtxNH=80:15:5)、MS、IR、混融試験にて標品のdelsoline(30)と同定した。(33)はp-TLC (10%MeOH-CHCl3)にて精製後、acetone-benzeneより再結晶 (mp 163~173°)して、TLC、MS、IR、混晶性試験にて標品のgigactonine (33)と同定した。

|- acetyl delcosine (35)の生成

delcosine (23) 30 mg o pyridine (0.5 ml)溶液 κ Ac20 (0.1 ml) ε加之 N2 mスト. 約10° C κ T 一 晚 放置 U, 通常 n 後処理後, 残渣 36 mg ε 得 a. こ川 ε アルミナカラムクロマト κ 付 U. 40~50% Ac D ε t - n·hexane 溶水部 J) diacetyldelcosine (36) 4 mg ε 得 20% MeoH-Ac D ε t 溶水 部 J) 1 - acetyldelcosine (35) ε 28 mg 得 κ. 1 - acetyldelcosine (35) ε 28 mg 得 κ. 1 - acetyldelcosine (35) ε 28 mg 得 κ. 1 - acetyldelcosine (35) ε amorphous, IR γ max cm-1 : 1735. NMRδ : (60 MHz), 4-70 (1H, dd, J1=10, J2=8 Hz, C1-H). 2.00 (3H, S. OCOCH 3). MS m/z (%): 495 (M[†], 5), 480 (M[†]-CH 3, 15), 436 (H[†]-OAc, 100): 1, 14-diacetyldelcosine (36): mp 126~128° [文献值 127~128°] IR γ mox cm-1: 1740. NMR (60 MHz)δ: 4-70 (1H, t. Like J28 Hz, C1-β-H), 4-67 (1H, t. J=5 Hz, Cik H), 2-02 (6H, S. OCOCH 3×2). MS m/z (%): 5-37 (M[†], 4), 478 (M[†]-OAc, 100).

1-acetyldelcosine (35) a Cornforth 酸化

水冷下、pyridine (0.48ml) に Cr03 (48mg)-H20(0.048ml)溶液を飛洋しばから加える. 次に (35) 60 mg の pyridine (1.9ml)溶液に、この試薬を氷冷下撹拌しなから滴下する. 0°C にて 8時間、室温にて 8.5時間寝拌。 反応液に氷水を加え、C.NH40Hにて 7ルカリ性をし、CH2cla 抽出。(エマルジョン部分は遠心分離器にて分離)、CH2cla 乃を水流後、乾燥、溶媒、留去し、残渣 58mgを得る。 CHClak 0.5N-H2804水溶液にて振り分け 操作を行い、中性フラクション 50mg と 塩基性フラクション 6mg (TLC 上 多スポット)を得る。 中性フラクションを p-TLC (acetone: CHCla = 4:5) にて 精製し、1-acetyl-14-dehydro-oxodelcosine (37) 12mg と 1-acetyl-0x0-delcosine 18mgを得る。 1-acetyl-14-dehydro-oxodelcosine (37): amorphous、IR ymax cm⁻¹: 1760、1740、1645、NMR (60MHz) 3: 4.95 (1H、d.d. J1=9、J2=12Hz、C、βH)、1·19 (3H、t、J=7Hz、N-CH2CH3)、MS M2(%):507 (M*、7)、492 (M*-CH3、100)・ 1-acetyl-0x0delcosine: amorphous, IR ymax cm⁻¹: 1740、1640・NMR (60MHz) 3: 4.83 (1H、dd、J1=8、J2=11Hz、CiH) 3.39 (1H、t、J=5Hz、C14-H)、1·12 (3H、t、J=7Hz、N-CH2CH3)、MS M2(%):509 (H*7)、494 (M*-CH3、100).

14-dehydro-oxodelcosine (38)

(37) 12 mg E 5% KOH - ag. MeOH に溶解し、2.5 時间加熱還流を行う反流液を減圧濃縮後,水を少量加之 CH2 Cl2 I由此。CH2 Cl2 PE brineで洗净後,乾燥溶媒留去し、残渣をAcOFt-Et20より結晶化し、(38)を6.5 mg 得る. 無色針状晶,mp 115~117°, Anal Calcd、C24 H35 N Og·2 H2 O (強口咬湿性):C,57.47; H.7.84; N,2.79 . Found:C,57.34; H,7.78; N,2.71 IR / max cm-1; 1760, 1630. MS 吻 (%): 465 (H[†], 9.5)、45 D (M[†]- CH3、100).

dehydrodel cosine (25) a 单 脏

地下部は租塩基のシリカカラムクロマトの8% MeOH-CHCl3 溶出部を更にシリカカラムクロマトのロットに付し、AcoEt 溶出部を更にアルミナカラムクロマトに付し、40% n.hexane-AcoEt へAcoEt~3% MeOH-AcoEt 溶出部を p-TLC (acetone: CHcl3=4:5)にて精製し、dehydrodelcosine (25)と takaonine (26)と分離した。 (25): mp 199~202°(dec)(from acetone)[文献値 208~213°(dec)]の無色六角柱晶. Ana/Calcd. C2aH37NO7: C. 63-83; H. 8-26; N. 3.10. Found: C. 63-86; H. 8-41; N. 2-95. IR/mox cm-1: 3480、1760 .H·NMR &: 6-96 (1H. br. 3.7%=20Hz, C1-0H), 4-03 (1H, S, C6-H), 3.76 (1H-br. 7½=12Hz, C1-H), 3.34 (3H,S), 3.32 (6H,S) OCH3×3, 1.10 (3H, t, T=7Hz, N-CH2CH2). MS Mz(%): 451 (Nt, 22), 436 (M*-CH3,100). 434 (H*-OH,21). CD (C=0.747, MeOH) 48:-0.58 (300nm). 13C-NMR (Table 15)

takaonine (26) n 单舱

世下部は租場基のシリカカラムクロマトの8%MeoH-CHCl3溶出部を更にシリカカラムクロマトに付し、30%benzene-AcOFt 溶出部より得別に、地上部に関しては(25)の単離の頂に記した。(26): mp 186~187.5 (dec.) 無色プリス"ム晶(from acetone) Anal calcd. C24H35N07: C.64.12; H.7.85; N.3.12. Found: C.64.16; H.7.87; N.3.19. IR Ymax cn-1: 3480,1750. "H-NMR が: 5.88,5.86 (each 1H, S, ドニド)、4.34 (1H, br. S. W12=16Hz, + D20で消失,-0月)、4.05 (1H, S, + D20で消失,-0月)、3.96 (1H, S, C6H)、3.37、3.36、3.34 (each 3H S, OCH3×3)、1.08 (3H, t, J=7Hz, N-CH2CH3). [d] サ ナ 52.0" (c=0.224、CHCl3). MS Mz (%): 449 (M+, 4)、434 (M+-CH3、100)、418 (M+-OMe、15). CD (c=0.494、MeoH) Δε: -1.12 (301.5nm). 13C-NMR (Table 15)

					2)
Table 15	Carbon-13	Chemical	Shifts	and	Assignments a)

carbon	(23)	(25)	(26)		(23)	(25)	(26)
1 2 3 4 5 6	72.6 27.5 29.3 37.6 45.3 90.0	72.1 27.3	70.8 131.3 134.5 40.0 49.0 90.4 86.2	14 15 16 17 18 19 N-CH2	75.7 34.4 82.0 66.3 77.3 57.1 50.4	214.9 34.8 86.5 66.4 77.0 57.3	215.3 35.1 86.7 65.7 75.7 51.6 50.5
8 9 10 11 12 13	78.0 45.3 43.9 48.8 29.3 39.3	82.9 53.1 40.9 49.7 27.5 46.8	83.0 53.2 41.6 49.6 25.8 47.1	CH3 OMe 6' 16' 18'	13.7 57.3 56.3 59.0	13.6 56.6 56.0 59.0	13.8 57.3 56.1 59.3

a) Chemical shifts in ppm downfield from TMS; solvent CDCl3

(26)のアセナル化

(26) 10 mg n pyridine (0.5ml)溶液にAC20 (0.2ml)を加之,N2が以下,室温にて一眼放置。通常の後処理の後、1-acetate (39)を11 mg 得た。(39):amorphous, IR/max cm-1: 1750,1735。 NMR d: 5.91 (1H. d. J=10Hz, C3H), 5.75 (1H, dd, J=10, J2=4Hz, C2H), 5.18 (1H, d, J=4Hz, C1H), 2.07 (3H, S, OCOCH3). MS吸(%): 491 (M[†],5), 476 (M[†]-CH3, 100).

(26)の接触還元

(26) 10 mg を EtOH (1ml) 溶液 LなしPtO2 (7mg) にて1時 向還元を行う。 触媒を沪取し溶媒皆去、得らりに残渣を p-TLC (acetone: CHCl3=4:5)にて 精製し、acetone より結晶化して delcosine (23) を 6.5 mg 得る. 本品(mp 188~190.5°) は IR MS、混融試験にて標品の delcosine (23)と同定した。

第一章第二節に関する実験

エゾトリカブトの塩基の抽出

1977年7月,北海道 幌泉郡チャッナイ地区にて採集したエソ"トリカフ"トの地下部を乾燥後粉砕した。その6.5 kg を MeOHで冷浸(6日向×4回)し、800gのエキスを得た。これをIN-HCI水溶液(750ml)に溶解し、AcOEt で3回(700,500,300 ml)抽出。AcOEt R は IN-HCI 水溶液(300 ml)で逆抽出し塩酸尿に合わせる。氷冷下、Na2CO3にてアルカリ・性とし、CHCl3で3回(700,500,300 ml)抽出する。CHCl3 居食塩水で洗浄後、乾燥、溶媒留去し淡黄色泡状の粗三放塩基75g(乾燥根粉砕物より1.15%)を得る。本品はガスクロマトグラスー(0V101,かん温度233°、流速75 ml/min)にて(40)(Rt. 2.3 mln.)、(41)(Rt, 3.3)、(42)(Rt, 4.5)、(9)(Rt, 5.8)、(29)(Rt, 7.4)、(48)(Rt, 9.4)の存在を示した、

kobusine (40)n 単離

粗温基10gのアルミナ (300g)カラムクロマトの10%MeOH-AcOEt 溶出部を更にアルミナカラムクロマト に付し、2~4% MeOH-AcOEt 部より kobusine (40)を、5% MeOH-AcOEt ~ MeOH部より pseudo kobusine (41)を 得た. kobusine (40):無色針状晶. mp 267~268° (from acetone) [丈献値 267~267.5°] Anal calcd.C20 H27N02: C、76.64; H、8.75; N.4.47. Flound: C、76.39; H、8.75; N.4.67. IR/max cm⁻¹: 3500、1635. NMR が: 5、10、5、15 (2H、)=CH2)、3、92 (1H、d、J=5HZ、C11 H)、3、82 (1H、broad S、+D2Oで S、C15H)、3、14 (1H、broad S、C6H)、0.98 (3HJ.C-CH3)、MS 吸2(%): 313 (Mt、100)、296 (Mt-OH、52)、標品との直接の比較に引同定.

pseudokobusine (41) n 单触

粗塩基のアルミナカラムクロマトの 50%MeOH-ACOFt~HeOH 溶出部より無色柱状

晶として得られた。mp 269~270°(dec)(from acetone-MeOH)[文献値271[°]]

Anal calcd. C20H27O3N: C.72.92; H.8.26; N.4.25. Found: C.72.98; H.
8.26; N.4.12. IR / max cm⁻¹: 3400, 3150, NMR る: 5.17, 5.07 (2H.)=CH2),
4.01 (1H.d, J= 5Hz, C11-H), 3.87 (1H.S, C15-H), 1.34 (3H.S, C-CH3). MS%
(%): 329 (M[†],100), 312 (M[†]-OH, 32), 301 (42). 標品上の直接の比較により同定は.

luciculine (7)の単旌

粗塩基のアルミナカラムクロマトの5%HeOH-AcOEt 溶出部を更にアルミナカラムクロマトド付し、AcOEt溶出部をP-TLC (Alio3、AcOEt)ドて精製することにより得られる。 (7):無色プップ スム晶・mp114~116° (from ag.acetone) [文献値 116~117°] IR) MBC cm-1: 3330、1115、915、895、NMR が、5・12 (2H、)=CH2)、418 (1H, br. S、T) X=4H2、C15-H)、3.92 (1H. た、J=7Hz、C1βH)、3.55 (1H, m、C12βH)、1.05 (3H, t、J=7Hz、N-CH2CH3)、0.76 (3H、S、C-CH3)、MS M2(%): 359 (M*、100)、342 (M*-OH、30)、本品は (42)をアルカリ加水分解して得た(7) (mp 115~117°)と混融試験、TLC (Alio3、AcOEt)、IR の比較により同定した。

lucidusculine (42)の単離

粗塩基のアルミナカラムクロマトの5% MeOH-ACD 社 溶出部を更にアルミナカラムクロマトに付し、ACOEは溶出部」)無色鱗片状晶として得る。mp 174~175°(from acetone)[文献値 170~171°] IR Pmax cm-1: 3430,1740,1240,900. NMR る: 5.28(IH.S, 70%=4Hz, C15H), 4.91,5.10(each IH,S, 二CH2), 3.92(IH,t,J=7Hz, C1βH), 3.64(IH, m, C12βH), 2.08(3H,S, OCOCH3), 1.04(3H,t,J=7Hz, N-CH2CH3), 0.76(3H,S, C-CH2). MS 吸(%): 401(Mt,100), 358(Mt-COCH3,100)

1-acetyl-luciculine (43)の単旗

粗塩基のアルミナカラムクロマトの20%AcOEt-benzene溶出部をシリカカラムクロマトに付し、3% MeOH-CHCl3部を更にp-TLC (si02, acetone: Chcl3=1:1)にて精製し得られる非晶形の塩基である。高分解能MS: calcd for C24H35N04; 401.2566. Found: 401.2546. IR ymax cm-1: 3575, 3400-17(0-1260,910.885. NMR &: 5.03 (1H. dd. J1=11. J2=7Hz.C1-β-H). 5.12 (2H.S. > CH_2), 4.16 (1H. broad S.W x=9Hz,+D20でWx=4Hz, C15-H). 3.42 (1H.m, CaH), 2.04 (3H.S. ococh3), 1.07 (3H.t. J=7Hz, N-CH2CH3), 0.75 (3H,S. C-CH3). [は]の1+3.6° (c=0.28, MeOH). MS My (%): 401 (Mt. 32), 342 (Mt-OAC, 100).

(43)の加水分解

(43)50mgを5%NaOH-ag. MeOHに溶かし、室温にて3時間撹拌する. 反応液を減圧濃縮後 CHCl3抽出,有機乃を水洗し、乾燥, 留去後得た残渣をp-TLC (SiOz 10%MeOH-CHCl3)にて精製し、ag. acetone より 結晶化するとluciculine (3)を12mg得た. 本品は TLC、IR, 混融試験により標品の(3)と一致した。

(42)のアセナル化; triacety luciculine (51)の生成

(51)の部分加水分解

(51) 183 mg を K2CO3-aq. MeOH (9ml, pH 8.5) に溶かし、室温にて5時間撹拌する. 反応液を減圧下濃縮しCHCl3抽出。有機乃を氷洗、乾燥後溶媒留去し、残渣184 mgを得る. シリカ (5.6g)カラムクロマトに付し、CHCl3溶出部より原料(51)を50 mg, 1% MeOH-CHCl3溶出部より 1.15-diacety luciculine (52)を10 lmg (収率60%)、2% MeOH-CHCl3溶出部より 1-acety luciculine (43)を22 mg (収率15%)得た.本反応で得られた(43) ld 天然品(43)とTLC(5i02、10% HeOH-CHCl3)、IR (CHCl3)、MSスペクトルにて一致した. 1.15-diacety luciculine (52): amorphous、IR パmax cm-1: 3450、1740、1250、NMR 8: 5.48 (1H、S, C15-H)、5.10 (2H-C1βH、C17-H)、494 (1H、S, C17-H)、3.56 (1H、m、C12-H)、2.09、2.07 (each 3H、S、0C0CH3×2)。 MS m/2 (%): 443 (H*19)、400 (M*-C0CH3、60)、384 (M*-0AC、100)。

neoline (29) n単離

粗温基のアルミナカラムクロマト a AcoEt 溶血部をシリカカラムクロマトに付し2~5% MeoH-CHC13溶此部より無色柱状晶として得られる。mp 155~157°(from Et20-pet.Et20)[文献値159~161°] Anal calcd. C24H39N06: C, 65.88; H, 8.98; N, 3.20. Found: C, 65.73; H. 9.11; N, 3.30. IR V max cm-1: 3525, 3250, 2930、1115. NMR が、7.34 (1H.br. Wh = 20Hz, +D20で消失、C1-0円)、4.20(2H.m. C14-H、C6-H)、3.35(6H.S) 3.32(3H.B) oCH3×3、1-12(3H.t. J=7Hz、N-CH2CH2). HS M/2(%): 437(1H, 23)、420(H-0H、100).

14-acetylneoline (44)a 单阵

本品(44)は(43)の単離と同時にp-TLCにより精製され得られた。amorphous,高分解能MS. calcd.for C26H41NO7:479.2882, found:479.2886. IR / max cm-1:3600,3400,1740,1240,1100. NMR d: 7.24(1H.br.77)=

= 40 Hz, † Do t 消失. C_{1} - 0<u>H</u>), 4.84 (IH. t, J= 4.5 Hz , $C_{14}\beta$ H), 4.11(IH. d, J= 7 Hz, C_{6} - H), 3.36, 3.34, 3.32 (each 3H. s, 0CH3×3), 2.04 (3H.s, 0COCH3), 1.12 (3H.t, J= 7 Hz, N- CH2 CH3). $[d]_{D}^{22}$ + 18.6° (c= 0.5, Me0H). MS % (%): 479 (M[†], 32), 462 (M[†]- 0H, 100).

(44)の加水分解

(44) 8 mg を 5% koH- ag. HeOH (Iml)に溶かし、Arガス下 2時向加熱選流する. 反応液をCHCl3 にて抽出。 有機乃を brineで洗浄後, 乾燥 溶煤留去し、 残渣7mgを得る. これを Et20 より 結晶化し、neoline (29)を2.8 mg 得る本品は 天然品(29) とTLC IR. 混融試験にて 同定した.

(44)か合成

(29) 120 mg を AcOH (2ml)に溶かし、CF3COOH (0·3 ml)を加えた後、Arガス下、浴温80°Cにて6時间加熱する. 反応液を滅圧下留去し、残違に氷水を加え、濃アンモニア水でアルカリ性とした後、CHc13 抽出、 通常の処理後得らりに残逢を中生アルミナ (activity TV、 4·5g) カラムクロマトに付し、benzene~ 5%AcOEt-benzene 溶出部より (44)を 82 mg (収率62%) 得た、本品(ひまで+17·1°(C=0.47、MeOH))は天然の(44)と T1C、IR (chcl3)にて一致した。

Chasmanine (9)の単角

粗塩基のアルミナカラムクロマトの20~50% AcOEt-benzene 溶出部をn-hexane にて熱抽出し、n-hexane より 結晶化し、無色針状晶として得られる。mp 89~91° [文献値 90~91°] Ana/calcd. C25 H41N06: C 66.49; H.9.15; N, 3.10. Found: C, 66.75; H, 9.22; N; 3-30. IR / max cm-1: 3430, 1120, 1090. NMR 5: 4.20~4.04 (2H, m, C14BH, C6BH), 3-22 (3H,S), 3.28 (6H,S), 3.32

(3H,S),1.05 (3H,t,J=7Hz,N-CH2 CH3). HS 吸(%):451 (M+3),420 (M+01/2).

ezochasmaconitine (45)の単語

粗塩基のアルミナカラムクロマトの5%AcoEt-benzene溶出部をp-TLC (SiOz, 25%NH40H, sat-Et20) に付し、精製された、mp 163~165°の無色プリズム脂(from acetone) Anal Calcd. C34H47NO8: C 68.32; H,フ.93; N-2.34. Flound: C. 68.47; H, フ.93; N. 2-29. IRY max cm-1: 1730, 1700, 1100. NHR d: 8.0~フ.45 (5H, aromatic H)、4.82 (1H, t, J=4.5Hz, C14-β-H)、3.32 (3H-S)、3.24 (6H,S)、2.94 (3H,S)-OCH3×4, 1.76 (3H-S,OCOCH3)、1.10 (3H,t,J=7Hz,N-CH2-CH3). MS M2(%): 597 (M[†]、3)、566 (M[†]-OCH3、80)、444 (M[†]-OCH3-phcooh, 100). CD (C=0.92×10⁻⁴, MeOH) ΔE (nm) † 1.2 (235), +1.1 (210)

14-acetyl chasmanine (54)の分成

(9)501 mg をAcOH (5 ml) に溶かし、氷冷下CFi3CooH(1ml)を加えた後、Arがス下浴温80°Cにて一晩撹拌する. 反応液を滅圧置去し残渣を氷冷下2N-Na3CO3氷溶液にてアルカリ性とした後、CHCl3抽出。 CHcl3月を brine で洗浄し、乾燥、溶媒留去枝、得らりた残渣を中性アルミナ (activity 皿、15g) クロマトグラスーに付し、30%AcOE+- benzene 溶出部より、14-acetylchas manine (54)を395 mg (収率72%)得る。(54): amorphous · IR/max cm⁻¹: 1738、NMR か:4.79 (1H.太.J=5Hz、CI4月H)、2.02 (3H.よ OCOCH2)、MS% (%): 493 (M!3)、462 (M!-OME、100)。

ezochasma conitine (45)の合成

14-acetyl chasmanine (54) 341 mg を dry toluene (5ml)に溶かし、pTsOH+H2O (0.20g. 26mg) も加え、更に (phco)20 (10 eg. 1.3ml) を滴下した後、浴温 130° c て"加熱 境拌 (Arガスト)、以下 2.5時 自後 (0.24g)、4時 自後 (0.24g)、5.5時 自後 (0.4eg.)に

p-T30H·H20 を追加した、計12時間反応後,反応·液を氷冷下 2N-Na2CO3水溶液にてア ルか)性とした後CHCl3抽出、有機乃をbrineで洗浄、乾燥、浴嫌留去し、得た残渣を シリカ(14g)カラムクロマトに付す. 20%MeOH-CHcl3~ MeOH 溶め部をp-TLC (sioz,10% EtaNH-cyclohexane) にて精製し、ezochasmaconitine (45)を81mg (42车20%), demethanol体 (55)を含むフラクションを259 mg 得た. 後者を更に中性アルミナ (activity正.6g) クロマトグラフィー に付し、50%n·hexane-benzene~benzene 洛比部 1) 純粋な (55)を151mg (収率39%)得た. (45): mp166°, UV 2 nm (log E): 231 (4·16), 275 (3·10), 282 (2.99)、 [a] +26·1° (c=0.2, cHcl3)、本品はTLC, IR, MS, H-NMR, CDスペクトルン 混融試験にて 天然の(45)ヒー致 した。 (55): 無色板状晶, mp 147.5 ~149° (from acetone). Anal Calcd. C33H43NO7: C, 70.06; H. 7.66; N, 2.48. Hound: C. 70.11; H. 7.70; N. 2.35. UV A max nm (log E): 230 (4.19), 274 (3.11). 282 (3.00) . IR / KBr cm-1: 1740, 1710. NHR d: 7.95~7.44 (5H, aromatic H), 6.57 (IH, d, J=10Hz, C15-H), 6-06 (IH, dd, J=10, J=7Hz, C16-H), 4-70 (IH.+, J=45Hz, CILBH), 3.25, 3.22, 2.96 (each 3H,S. OMex3), 1.66 (3H,S, OCOCH), 1.05 (3H, t.J=7Hz, N-CH2CH3). MS M/z (%): 565 (H+, 3), 534 (M+- oMe, 100). CD (c=5.31 x10-4, MeoH) & EX (nm): +1.0 (249), -3.1 (227).

ezochasmaconitine (45)の加水分解

合成品(45)10 mg を 5% KoH- ag. MeoH (1ml) に 溶かし、Ar ガス下 3 時向加熱 還流. 反応液を CHCl3 抽出. 存機乃を食塩水で 洗浄後、乾燥、溶煤 留去し、残渣を n-hexane より 結晶化し、 chas manine (9)を 3 mg 得る. 本品は TLC、IR、混解試験にて 天然品(9)と一致した.

Anisoezochasmaconitine (46)n 单施

粗塩基のアルミナカラムクロマトの 5% AcOEt-benzene 溶む部をp.TLC(25%NH401-

Et20)に付し、(46)と(47)の混合フラクションを得、これを更にp-TLC(5i02,20%HeoH-CHCl3)にて精製し、(46)及ひ"(47)を単離した。(46): 無色柱状晶、mp 136~1385、(from Et20)。 Anal Calcd。C35H49N0g:C、66.99:H、7.81; N、2.23。Found:C、67.04;H、8.00; N、2.09、UV入max nm:259。IR/max cm1:1735、1710。1610、1290、1265、1100。NMR f: 7.93(2H,d、J=9Hz)、6.86(2H,d、J=9Hz)、4.80(1H,t.J=4.5Hz、C14βH)、3.84(3H、S、ph-0CH3)、3.32、3.28、3.24、2.96(each 3H、S、OHex 4)、1.78(3H、S、OCOCH2)、1.16(3H、t、J=7Hz、N-CH2CH3)、MS M/z(%):627(Nt 2)、596(Mt-OMe. 76)、444(Ht-OMe-Meophcoot, 100)。CD(c=4.78×10⁻⁴、MeoH) ΔE(nm): +0.95(256)、+3.5(213)。

anisoezochasma conitine (46) の合成

14-acetyl chasmanine (54) (317mg)を dry toluene (2ml)に溶かし、p-TsOH·H2o (1.2 eg. 147mg)、 anisic anhydride (6.4 eg. 1180 mg)を加え、浴温 140°Cで6時間加熱撹拌. 2N-Na2Co3水溶液を用いてアルカリ性とした後、CHCl3抽出. 通常の後処理で得られた残渣をシリカ(15g)カラムクロマトに付し、10%MeoH-CHCl3 から MeoH 分画を更に中性アルミナ (acHvity m)クロマトグラスーに付し、benzene~5%AcoEt-benzene溶出部より(56)を51mg、2~20%AcoEt-benzene溶出部より(56)を51mg、2~20%AcoEt-benzene溶出部より(46)を184mg 得た、分離できなかった分画につき再度精製し、計(56)を85mg(収率22%)、(46)を215mg(収率53%)得た。(46)にmp140°、UV入max nm(10gを):25g(4.2g)、[d] 18 + 14-1°(c=0.2、Chcl3)、本品はTLC、IR、MS、'H-NMR、CD、混解試験にて天然品(46)と一致した。(56)にamorphous、UV入max nm:25g、IR //max cm-1 に1730、1700、1607、NMR δ:7.90(2H、d、J=9Hz)、6.85(2H.d、J=9Hz)、6.68(1H、d、J=10Hz、C16H)、6.07(1M、dd、J=10、J2=7Hz、C16H)、4.68(1H、t、J=4.5Hz、C14βH)、3.84(3H、S. ph·OCH3)、3.26、3.22、2.96(each、3H、S. oMex3)、1.69(3H、S. OCoCH3)、1.05(3H.K、J=7Hz、N-C15CH3)。3.26、3.22、2.96(each、3H、S. oMex3)、1.69(3H、S. OCOCH3)、1.05(3H.K、J=7Hz、N-C15CH3)。3.22、2.96(each、3H、S. oMex3)、1.69(3H、S. OCOCH3)、1.05(3H.K、J=7Hz、N-C15CH3)。

MSm/z(%): No M+ (595), 564 (M+-0He,4), 135 (100). CD (c=5.80×10-4, MeoH)

AE (nm):-4-1 (247).

anisoezochasmanine (46)の力力水分科

合成品(46)10mgを5% koH-ag.MeOH(1ml)に溶かし、Arかス下加熱還流3時間. 反応液をCHCl3抽出し、有機乃をbrineで洗净後、乾燥、溶媒質去。残渣をnhexane si)結晶化し Chasmanine(9)を3mg得る. 本品はTIC,IR, 混融試験にて天然品(4)と一致した.

pyrochasmanine (47)の単旗

本品の精製は(46)の単離の項に記した、無色7°リズム晶、mp 1245~127°(from n-hexane)[文献値126~129°]、UV入max nm:248、IR/max cm-1:3500,1635.
NMR d:5-44 (1H,d,J=6Hz,C15-H)、3.92 (1H,t,J=45Hz,C14-H).1-06(3H,t,J=7Hz,N-CH2CH3). [d] か+243.9°(c=0.82,MeoH)、MS M2(%):433(M+46)、402(M+0Me,100)、本品は文献58)に従いChasmanine(9)より誘導したpyrochasmanine(mp 126~128°, [d] か+251°(c=0.2,MeoH))と
TLC、IR、混融試験にて一致した。

Ezochas manine (48) n 単離

粗塩基のアルミナカラムクロマト50%AcOFt-benzene溶出部を更にアルミナカラムに付し、5% FtoH-n-bexane溶出部より得られる。無色フッス以晶、mp115~118°、(from Etzo)、Anal calcd、CasH41N07·JH20:C,63.34; H,8.87; N 2.96・Found: C,63.42; H,8.90; N,2.87。 IRVmax cm-1: 3580、3300、1100、NHRd: 4.42(1H,br.77)=10Hz、+ D20で消失、-0日)、4.24(1H,dd.51=7、J3=1Hz、C6-H)、4.10(1H,t、J=5Hz、C14β-H)、3.51(1H,S、+D20で消失)、3.33(3H,S)、3.31(6H,S)、4.10(1H,t、J=5Hz、C14β-H)、3.51(1H,S、+D20で消失)、3.33(3H,S)、3.31(6H,S)、3.31(6H,S)、3.33(3H,S)、3.31(6H,S)、3.31(6H,S)、3.33(3H,S)、3.31(6H,S)、3.33(3H,S)、3.31(6H,S)、3.33(3H,S)、3.31(6H,S)、3.33(3H,S)、3.33(3H,S)、3.33(3H,S)、3.31(6H,S)、3.33(3H,S)、3.33(3H,S)、3.33(3H,S)、3.33(4H,S)、3.

3.21 (3H,S) ONex4, 1.08 (3H.t. T=7Hz, N-CH2CH3). [d] + 40.3° (c=0.5, CHcl3). HS 7/2 (%): 467 (H1,5), 436 (H1-OCH3,100).

***					\
m			~	-	a.)
Table 16	Carbon-13	Chemical	Shifts	and	Assignments a)

carbon	(9)	(48)		(9)	(48)
1	86.1	83.2	14	75.5	75.5
2	26.0	33.9	15	39.2	39.1
3	35.2	72.2	16	82.2	82.0
4	39.5	43.5	17	62.4	62.2
5	48.8	48.5	18	80.8	77.4
6	82.5	82.2	19	54.0	47.4
7	52.8	52.4	N-ÇH2	49.3	49.1
8	72.6	72.5	ĊH ₃	13.6	13.7
9	50.3	48.8	OMe Ĭ'	56.3	56.4
10	38.4	38.1	6'	57.2	57.3
11	50.4	50.2	16'	55.9	56.0
12	28.6	28.1	18'	59.2	59.2
13	45.7	45.3			
			· ·		

a) Chemical shifts in ppm downfield from TMS; solvent CDCl3

3.14-diacetylezochasmanine (59)

(48) 34 mg の dry pyridine (0.5 ml) 溶液に Ac20 (0.2 ml)を加之、N2ガス下浴温 65~70°Cにて 3時向撹拌後、室温にて一晩放置。溶媒を滅圧留去後、残渣にCH2cl2 E加之、5%NaH CO3水溶液ついて水で洗浄し、乾燥後溶媒留去し、残渣40 mgを得る。アリレミナ (1.5g) カラムクロマトに付し、5~10% Ac0Et-benzene 溶此部より、3.14-diacetate (59)を30 mg 得る。 amorphous、IR 2 max cm-1: 3580、1730、NMR る: 4.96~ 4.72 (2H. m, C3-H、C14-H)、Z-02 (6H.S-0COCH3X2)、109 (3H.t. J=7Hz、N-CH2 CH3)、MS MS (%):551 (M[†],9)、520 (H[†]-0 Me,100)、460 (M[†]-0 He-Ac0H,61)。

3-acetylezochasmanine (58)

(48) 41mg n dry pyridine (05ml)溶液 KAC20 (0.2ml) E氷冷下加之3。3°C KT-晚放显妆,常法K链N役処理をし,残渣48mg E得3。p-TLC (si02, benzene:AcOFt: FLNH=80:15:5) KT分脏精製し, 3.14-diacetate (59) 17mg と 3-acetate (58) 17mg E 43. (58): mp58~62° (hygroscopic solid. from CHcl3). IR

/ Max cm-1: 3560,3430,1735. NMR δ: 4.88 (1H.dd. J₁=10, J₂=6Hz,C₃βH),2.04 (3H.S. OCOCH₃). MS 11/2 (%): 509 (H⁴,10),478 (H⁴-OCH₃, (00), 450 (H⁴-OAc, 36).

3,8,14-triacetylezochasmanine (60)

(48) 369 mg on Ac20 (10ml)溶液 k p-TsOH·H20 (480mg) & 加之, Ar かス下浴温 80~90°C で2時间搅拌。反应液 医米米中にあけ、米冷下濃了シモニア水で3ルか)性比 CHCl3抽出。CHCl3为E水洗後、芒硝乾燥、溶媒留去し、得らりた残渣をシリカ (15g) カラムクロマトに付し、1% MeOH - CHCl3 溶出部を acetone - Et20 にて結晶化し、tri-acetate (60) を 457mg 得た. 無色プリズム晶、mp221~224° (from acetone). And. calcd. C31 H47NO10: C, 62.71; H,7.98; N,2.36. found: C, 62.74; H,8·ll; N,2.28. IR /max cm⁻¹: 1740. NMR d: 4.98 ~ 4.70 (2H, m,C3-H,C14-H); 2.04,2.01、1.95 (each 3H、S,OCOCH3×3). MS M/2 (%): 593 (M¹,4),562 (H¹-OMe, 100),534 (M¹-OAC, 69).

(60)のアルカリ加水分解

(60) 55 mg を 5% KOH-aq. MeOH (2ml) に溶かし、Ns.ガス下4.5 時间加熱湿流する。MeOHを減圧留去し、CHCl3油出。 CHCl3月をbrineで洗浄後、乾燥、溶媒質去し残渣を Et20 より結晶化すれば ezochasmanine (48)が15 mg得られた。本品はTLC、IR、混融試験にて天然品(48)と一致した。

pyroezochasmanine (61)

(60) 100 mg を減圧下 (2mm Hg), 浴温 185~215°Cで20分旬加熱する. この残 注 5% KOH-ag. MeoH (2ml) に溶解し、N2かス下1時旬加熱還流する. MeoH を減圧留去後、CHCl3抽出。 CHCl3 乃を水洗後、乾燥、溶媒留去し残渣 80 mg を得る. シリカ (3g)カラムクロマトに付し2~4% Meon-CHCl3 溶出部より pyroezochas manine (60) E49mg 得3. amorphous (unstable in chcl3), IR/max cm-1: 1640, UV入max nm: 245 (10%Hcl水溶液n添加により) end absorption). NMR 5: 5.45 (1H, d, J=6Hz, C15-H). MS吸(%): 449 (H+47), 418 (M+0He, 100).

14-benzoylezochas manine (63)の合成

(48) 200 mg の dry pyridine (4 ml) 溶液に外温-18°C にて phcocl (1.7eg. 0.085 ml) を10分向かけて滴下し、Arがス下この温度で2時向撹拌。5%NaHCO3水溶液を加え、アルカリ性をしてHcl3 抽出。有機局を食塩水で洗净後、乾燥、溶媒、留去し、得ら川た残渣をアルシナ (10g)カラムクロマトに付す。2~4%AcOFt-benzene分画より、3.14-dibenzoate (64)を26 mg、10~15%AcOFt-benzene分画より、14-benzoate (63)を152 mg 得る。本クロマトにて分面でできなか、た分面を再プロマトに付し、更に(64)を13 mg、(63)を13 mg 得る。 (63):計165 mg(収率68%)。amorphous、IR //max cm-1:1720、UV λ max nm:230.5、274.5、NMR δ:(60 MHz) 8.1~7.35 (5H、Qromatic H)、5.11 (1H、t、J=5Hz、C14βH)、4.17 (1H.d. J=7Hz、C6-H)、3.30 (6H.S)、3.24 (3H.S)、3.19 (3H.S) OMEX 4、1.09 (3H,t,J=7Hz、N-CH2CH3)、MS % (%): 571 (Mt.8)、540 (M*-OCH3.100)、105 (33) . (64): 計39 mg(収13%)、amorphous、UV λ max nm:230.5、274、IR // max cm-1:1720、NMR (60 MHz) 方:8.10 ~7.35 (10H、Qromatic H)、5.35~5.00 (2H、m、C3-H、C14-H)、HS % (%): 675 (Mt.6)、644 (M*-OMe、100).

C3 水酸基n保護: (65)の合成

(63) 140 mgの dry pyridine (4ml) 溶液に氷冷下 Ccl3CH2 OCOCl (0.338 ml.10 eg.) を1分向で滴下。Arガス下室温にて 20時間撹拌後,反応液に氷水をかえ,5% NaHCO3水溶液にて過剰の酸クロライトで分解した後 CHCl3 抽出。brineで洗浄後乾燥,溶媒留去し,得られた残渣を中性アルシナ (grade TV-15g)カラムクロマトに付す.

50% n. hexane-benzene~ benzene 溶出部」(65)を151mg (収率 83%)得る.
amorphous. UV入max nm: Z30,275. IR/max cm-1: 3600,1760-1720. NMR(60 MHz) る: 8.05~7.30 (5H. aromatic H), 4.62, 4.78 (each [H. d. J=1]Hz, OCH2C(]3).
MSM/z(%): 747 (H1+2, 4.5), 745 (M1,5), 554 (M1, 5000 CH2C(]3, 92), 105 (100).

(65)のアセナル化

(65)124 mg の Ac20 (3m1) 溶液に p-TsOH·H20 (38 mg, 1.2 eg) を加え、Arガス下浴温 85~92°Cで2時間推拌。 反応液を減圧下濃縮し、これに氷水を加えら%NaHCO3 水溶液にてアルカリ性とする。 CHCl3にて抽出し、有機のを水洗後、乾燥、溶媒留去し残渣140 mgを得る。 中性アルミナ (grade17.6g)カラムクロマトに付し、50%n-hexane-benzene 分画より (66)を 84 mg (収率64%)得る。 amorphous、UV入max nm: 231、275. IRV max cm-1: 1755、1720. NMR (60 MHz) が 1.36 (3H、S. OCOCH)). MSM2(%): No H* (787)、758 (M42-ONE、29)、756 (M-ONE、30)、596 (M+OCOOCH2CCI3、67) 105 (100).

13.15-dide oxyaconitine (62)の合成

(66) 102 mg a AcOH (2ml) 溶液に Zn末102 mg を加え、Arガスト 空温にて2時間撹拌. 関にZn末50 mg を追加し3時間撹拌後、Znを3取。 Znを5% a HeoHを含む CHcl3にて sく洗いこむ。 合めせたろ液を2N-Na2C03水溶液で洗浄。水房をCHcl3にて1日运油出。 有機房をbrineで洗浄後、乾燥、溶媒留去し残准 96 mgを得る。中性フivミナ (gradeで、2g)カラムクbマトに付し10~30% AcOEt-benzene 溶出部 31) (62)を60 mg (収率76%)得か、無色プリズン晶、mp113~114° (from AcOEt-n·hexane) Anal Calcd. C34H47 N Oq·豆 Hao: C, 65·57; H. 7·77; N. 2·25. Found: C, 65·60; H. 7·72; N. 2·19. VV入max nm (loq を): 230·5 (4·15)、274 (2·47). IR V max cm-1: 1730、1710. NMR (60 MHz) よころして7·35 (5H, aromatic H)、5·02 (1H, t, J=5Hz、C14 βH)、4·09 (1H, d, J=7Hz、C6H) 3·35,3·26,3·22、3·15 (each 3H、S, OME×4)、1·36 (3H、S, OCOCH)、1·07 (3H、t, Internal control con

J=7Hz, N-CH=CH=3). MS m/2 (%): 613 (H+3), 582 (H+-0He-62), 553 (M+-AcOH, 56), 105 (100). CD (C=5-3×10⁻⁴, MeOH) AE (Nm): + 0-66 (271), +5-1 (227).

Z.3-anhydro体(67)n合成

(62) 32mg E SOC|2 (のかml)中、Arがス下 3時頃加熱選流する。SOC|2 E 減圧下留去し残渣に水水を加え、2N-Na2CO3水溶液にてアルカリ性とする。CHC|3にて1油出し、水洗、軽燥後、溶媒留去し、残渣 39mg E 得る。アルミナ (1.5g)カラムクロマトに付し、ス~4%AcoEt-benzene 溶む部より anhydro体 (17) 22mg (収率71%)得る。amorphous、UV 入max nm: 231、274.5。 IR V max cm-1: 1725。NHR よこ6.04 (1H,dd,J=10,J2=4Hz,C2-H)、5.79 (1H,d,J=10Hz,C3-H). HS M/2(%): 595 (M⁴、33)、536 (M⁴-0Ac、100)。

(67)の接触還元

(67) 21 mg n EtoH (1.5 ml)溶液に pto2 (10 mg) E加之,水素溶固気下 3時間激しく撹拌する. 触媒を3取し、3液を減圧留去、得られた残渣をp-TLC(5:02,25% NH40H sat.- Et20)にて分離精製することにより (53)を12.5 mg (収率59%)、(68)を5 mg (収率25%)得る。本反応により得られた (53)(mp 148.5~151°)に及融試験、TLC、IR、CD [((=5.44×10⁻⁴, MeOH) ΔE (nm): †0.9 (272)、†6.4 (228)]にて chas manine (9)より 誘導した (53)と一致した。 1-demethoxy-8-acetyl-14-benzoyl chas manine (68): mp 174~178°、高分解能MS、calcd、C33H45N07:567.3196、Found: 567.3198、UV入max nm: 231、275、IR y chcls max cm-1:1725、NMR 3:8-10~7.45 (5H、aromatic H)、5.06 (1H、t、J=4-5Hz、C14-H)、3.35、3.28、3.17 (each 3H、S、OCH2×3)、1.41 (3H、S、OCOCH3)、HS Mz (%):567 (H*.100)、

(53)めアルカリ加水分解

(53) 18 mg を 5% kOH- ag. MeOH (3 mi)に溶かし, 浴温 90°C で2.5 時間撹拌。MeOH を減圧留去し CHCl3 抽出。 CHCl3 乃を brine 洗浄後, 乾燥, 溶媒留去し.残渣13 mg を 得る. アルミナ (0.49)カラムクロマトに付し、AcOEt 分画を n-hexane より 結晶化。 chas manine (9) (mp 83~85°)を 4 mg 得る. 混融試験、TLC. IRにて標品と同定。

14-anisoylezochas manine (70)の合成

(48)100mg を dry pyridine (1ml) 溶液となし、-10°CKT anisoy | chloride (2.2eg. 48mg) を 0.5分で滴下、-13°~-7°C で 2.5 時间 撹拌技、-15°CKT 更に試薬を32mg 追加し 1 時间 撹拌。 反応液に 5% NaHCO3水溶液を加えてルカリ性 とした後 CHCl3 にて抽出。有機乃をbrine で 洗浄後、乾燥、溶媒留去し、得た残渣をシリカカラムクロマトに付し、10% MeoH-CHcl3 溶出部より (70)を90mg (収率70%) 得る。 amorphous、UV入 max nm: 259、IR / max cm-1: 1712、1610、NMR δ: 7.96、6.90 (each 2H, d.) = 10).5.12 (In.I.) = 5H2 CIGH), 3.82 (3H.S.), HS 型: 601 (M.S.), 570 (H. OHE 100).

C3水酸基の保護: (72)の合成

(70) 51 mg a pyridine (1.5ml) 溶液に 秋冷下 ccl3cH2ococl (5eg. 58 μl) E加之, 至温にて 2時 | 搅拌・ 氷冷下 NaH co3 水溶液 E加之, アルカリ性 ヒ L た後 CH cl3 抽出。有機 B E brine 洗浄, 乾燥, 蟹去し, 得 られた 残渣 E シリカ (2g) カラムクロマトに付し、10~25% acetone- CH cl3 溶血部 より (72) E 38 mg (収率 58%) 得る。 amorphous, IR / max cm-1: 3430、1750、1708、1610、 NHR (60 MHz) δ: 4.90、4.63 (each | H, d. J= 12Hz, -0 CH2ccl3)、 MS % (%): 775 (M²,5)、 744 (M²-OHe, 18)、746 (21)、584 (M²-OCOOCH2ccl3、57)、552 (100)、137 (75)。

(72)のアセチル化

(72) 108 mg & Ac20 (2.5 ml)に溶かし、p-TsOH·H20 (1.2 eg. 31 mg)を加え. Arガス

下,80~95°C て、3時间撹拌。Ac20を減圧下留去し、残渣を氷冷下5%NaHCO3 水溶液にて3ルカリ性として CH cl3 抽出。有機/5も水洗,乾燥、留去し、(73)を 112 mg (収率98%)得る。 amorphous、IR/max cm 1: 1750~1710 (broad). NMR (60HHz) る: 1.40 (3H,S,0COCH3). MS M2(%):817(H! 1.4), 135 (100).

vilmorrianine A (69)の合成

mesaconitine (15)の単海

粗塩基のアルミナカラムクロマトの20~50% AcOEt-benzene 溶出部をn-hexane にて chasmanine (9)を熱抽出し、その残渣をSiO2カラムクロマトに付す。4% MeOH-CHcl3 溶出部をp-TLC (20% MeOH-CHcl3)にて精製し、mesaconitine (15)と jesaconitine (4)を得る. 無色柱状晶、mp207~209° (from MeOH) [文献値 208~209°] IR ルmax cm-1: 3500、1715、1280、1100、720、NMR よ: 4.87 (1H、d. J=5Hz、C14βH)、Z.33 (3H、S、N-CH3)、1.39 (3H、S、OCOCH3)、MS-722

(%):631 (M+,2),600 (M+0He,50),540 (M+0Me-AcoH,100). 粘は標品との混融試験,IR,TLCの比較により同定した.

jesaconitine (4)の単離

(15)a単離n項に記したものに加え、粗塩基のアIVミナカラムクロマト 20% Acoftbenzene 溶血部をシリカカラムクロマト(5~10% Meon-Chcl3分画)次いで p-TLC(
Zo%Meon-Chcl3, Z5% NH40H sut-Et20)にて精製し得られる。 amorphous,
HCl04塩:無色フッノズム晶、mp 226~229°(dec) [文献値 Z30~232°(dec)].
IR y max cm-1: 3450、1740、1720、1605、1270、1100、NMR が: IH.d、J=5Hz、
C14βH)、3.85(3H、S、ph-OcH3)、3.74、3.29、3.26、3.16(each 3H、S、OHex4)、
1.44(3H、S、OCOCH3)、1.10(3H、た、J=7Hz、N-CH2CH3)、MS M2(%):No M⁺ (675)、
644(H⁺-OHe、7)、584(M⁺-OHe-Acoft、100).

d-glaucinen 单離

粗塩基のアルミナカラムクロマトの10% AcoEt-benzene 溶出部をp-TLC (15% MeoH-CHcl3) にて精製し得られる. HBr塩: 無色プリスム晶、mp219~225°(dec), 遊離塩基 (ペコッキ 107.4°(c=0.5, MeoH)、本品は UV (乳 max 280,301)。 NMR (60MHz, る: 8.10 (1H.3)、6.79 (1H.3)、6.60(1H.3)、3.90 (6H.3)、3.89 (3H.3)、3.65 (3H.3)、2.53 (3H.3、N-CH3))、MS (吸(%): 355 (N*,100)、177.5 (H²*, 8))、[d] p 31) d-g | aucine (49) と推定し、HBr塩の TR、混融試験で名城大学(薬) 台川教授 31分与された標品 (HBr塩) と同定した。

第二章第一節に関する実験

diacetyl chasmanine (57)の合成

Chasmanine (9) Z.00g E AC20 (40ml)に溶かし、p-TsOH.H20(Z.20g. 1.86g) を加え、Arかス下90~95°Cにて Z時間撹拌。 AC30 E 減圧濃縮後、残渣に氷水を加え、C.NH40HアIVカI)性とし CHCl3 抽出。有機局を水洗、乾燥後、腎去し、得別に残渣を熱 n-hexane にて抽出。 結晶化し、(57)を1.91g (収率81%) 得た、mp 138.5~140° (from n-hexane) [文献値 139~141°] IR/max cm-1: 1740、1735.
NMR る: 4.79 (1H、I、J=4.5Hz、C14βH)、Z.03、1.95 (each、3H、S、0C0C13×2)、MS M/z (%): 535 (M*3)、504 (M*-0 Me、100)、444 (16).

des-N- ethyl- diacetyl chas manine (78)

(57) 1000 mg n acetone (125 ml) 溶液に,0°CKT kMn 04 (886 mg, 3 ag-)の acetone-H20 (1:1) 125 ml 溶液を加え、室温にている時間撹拌する。0°CKT 10%H504水溶液と Na2S03を加之、加剰の kMn04を分解する。 acetone を減圧下留去し、水冷下 Na2C03でアルカリ性とし CHCl3 I由出。有機乃を常法に従い処理し、得別た残渣をアルミナ (20g)カラムクロマトに付し、5%AcoEt-benzene~ AcoEt 溶出部別(78)を767 mg 得、分離できなかた分画につき再7口マトに付し、更に75 mgを得る。計842 mg (収率89%)。(78): amorphous、 IR/max cm-1: 3350,1730、 NMR分:4.81 (1H.t, J=4.5Hz、C14BH)、No N-Et. H3 %(%): 507 (Ht, 3),476 (Ht-OHe-100)、416 (Ht-OMe-AcoH, 90)、

N-formy1体 (79)a合成

(78) 1400 mg E HCOOH (15m1)-Ac20 (5ml) に溶かし、Arがス下 室温にて 2.5 時面撹拌する。溶媒を減圧下濃縮後、氷水を加え、アンモニアアルかり性 として CHCl3

抽出。有機乃色水流、乾燥、溶媒留去し、得ら川た残渣をシリカ(20g)クロマトに付し、1~2% HeoH-CHCl3部をEtzのより結晶化、876 mgの(79)を得、母液を再クロネトに付し、更に180 mgの(79)を得た。計1056 mg(収率72%)、mp 180~182°(Etzo)、Ana/calcd、C28H41NOq: C,62.78; H,7.72; N,2.62、Found: C,62.75; H,7.71; N,2.45、IR)max cm⁻¹: 1730、1655、NMR(60MHz) よ:8.02(IH.S.N-CHO)、MS M2(%):535(M+100)、504(H+0He、10)、475(50)、444(42)、443(63)。

(79) の L°日化

(79) 50 mg を 100 ml か ナス型フラスコ か 壁に均一な月として付着させ、これを 1.5 mm Hg. 190~200°C で 30分向加熱する. 残渣を アルミナカラムクロマトに付し、 benzene~10% Acoet-benzene 溶出部 11) (80)を 35 mg (収率79%)得た。 (80): amorphous, IR y max cm-1: 1725、1650、 UV: end absorption. NMR が、8.04 (IH.S). 5.70 (1H.d.J= Hz, C15-H)、2.00 (3H,S.OCocH3)、MS吸(%): 475 (Mt. 22)、443 (Mt- HeoH, 100)。 (81): mp 22 1~224°. Ana/ Calcd. C27 H37 NOg: C, 64.39; H, 7.41; N, 2.78. Found: C, 64.32; H, 7.40; N,2.75. IR y max cm-1: 1740、1660、NMR が、7.95 (IH.S)、6.55 (IH.d. J=10H2 C15-H)、6.17 (IH. dd. J=10, J=6.5 Hz, C16-H)、4.72 (IH. t. J=4.5, C14-H). 3.31、3.21、3.16 (each 3H.S.OHex 3)、2.00、1.94 (each 3H.S.OAc42)、HS 吸(%): 503 (Mt.75)、443 (100)、

エポキシド(82)の合成

(80) 810 mg n dry CH2Cl2 溶液に、0°Cにて m-CPBA (1.24g, 80%有効, 440 mg)を 加之、0°Cにて5分、室温にて2時间撹拌。反応液をフルミナ (10g) カラムクロマトに付し、AcOEt 溶む部より(82)を820 mg (収率98%)得る。Et20より 結晶化、516 mg · mp 197~198°. Anal calcd. C26H37N 0 8-1HD: C,6238; H,7.65; N,280. Found: C,6278; H,7.47; N,2.60、IR / max cm⁻¹: 1725, 1655. NMR (60MHz) よ:8.06 (1H.S),

4.49 (1H, t, C(4βH), 4.44 (1H, d, C6βH), 3.41(3H), 3.30 (6H), 3.22 (3H) 0Mex4, Z.02 (3H, δ, OCOCH2). MS m/2 (%): 491(H+, 100), 476 (28), 459 (43), 448 (53), 416 (57).

(82) a HCOOHに33 開製反応

(82)100 mg を 98%HCOOH (2mi)に溶かし、Arかス下 80°CKで ZO分面加熱する、 氷水を加え、アンモニファルカリー性 とし CHC |3 抽出。有機局を常法に従い処理し残 渣 108 mg を得る、これを flash column (Z% MeoH- CHC |3) Kで精製し、(86)を 62 mg (収率60%)得た、 amorphous、 IR V max cm-1: 3430、1730、1660. NHR る: 8.02 (1H、S、N-CMO)、4.66 (1H、t、C14βH)、4.32 (1H、d、J=7. C6βH)、4.08 (1H、d、J=8Hz、C15-d-H)、3.43、3.32、3.30、3.20 (each 3H、S、OHex4)。 MS M/Z(%): 509 (14[†],69)、477 (M[†]- MeoH、100).

(86)のLiAlH4選元: 15-epi-isodelphonine (87)の生成

(86) |35mg a dry THF (2.5 ml) 溶液にLiAlH4 (10eg, 100 mg)を10立, Arガス下, 外温 80~90°Cにて 3時间撹拌する。Na2SO4存在下, 氷冷しなから Wet THFにてLiAlH4を分解し, 無機物を3取。 3液を減圧留去し, 残渣を アルシナ (2-5g)カラムクロマトに付し、50%AcoEt-benzene~ MeoH 溶む部より (87)を109 mg (収率91%)得た。(87):mp |35~137°(acetone)。 Ana/ Calcd. C24H39NO7: C, 63.55; H, 8.67; N, 3.09. Found: C, 63.66; H, 8.60; N, 2.93. IR // max cm-1: 3450.3320, 1100 !H·NMR が、4.70 (1H. br Wh=40Hz, -0H), 4.22 (2H. d. C15-H. C6-H), 3.92 (1H. J=45Hz, C14βH)、3.53 (3H)、3.31 (6H.S)、3.25 (3H,S) O Mex 4、2.30 (3H.S. N-CH3)、 13C-NMR (Table 7). [d] 22 + 20.0° (c=0.3, HeOH). MS M2 (76): 453 (M*,5)、422 (M*-0 Me, 100).

(87)のベンソイル化: (90)の生成

(87)30mgのdry pyridine (05ml)溶液にPhCocl (5eg. 0.1ml)を加之. Arガス下. 空温にて18時間撹拌。氷水と2N-Na2CO3水溶液を加之(pH10), CH2cl2抽出。氷洗、乾燥、溶媒質去し、残渣をシリカ(230~400 mesh、3%MeoH-CHcl3溶出)カラムクロマトで、精製し、(90)を36mg(収率82%)得た。 mp 191~193°(E+20). Anal Calcd. C38H47N0g: C. 68.96;H.7.16; N. 2.12. Found: C. 69.04; H.7.22; N、1.96. IR パmax cm-1: 3575、1710. NMR が: 5.62(1H,d、J=8Hz. C15dH)、5.00 (1H,t、J=4.5Hz、C14-β-H)、z.34 (3H、S、N-Q13). MSMyz(%): 661 (H+,5)、630 (M+-0 Me、100).

(86) n Swern 酸化

Dry DMSO (1.2 eg. 16 μ1) a dry CH2Cl2 (0.3 m1) 溶液に、-70°Cにて dist. (CF3co)20 (1.2 og. 32 μ1) a dry CH2Cl2 (0.3 m1) 溶液を10分面で滴下する、15分後-70°Cにて (86) 95 mg a dry CH2Cl2 (1 ml) 溶液を10分面で滴下。-70°~-73°Cで、1時面20分損拌。-74°Cにて NEt3 (2.5 eg. 65 μ1)を5分で滴下。-74°Cで36分撹拌後、室温まで1時面かけて温度を上昇させる。 CH2Cl2 (20 ml)を加之、永流。永乃を1回连抽出。合わせた有機乃を乾燥、留去し残渣(TLC上 1 spot)を Flash column に付し、20% acetone-CHCl3 部 より (88)を68 mg (収率72%)得た。 amorphous, IR/max cm-1: 1740, 1720, 1660. NMR d: 7.87 (1H-S, N-CH0), 4.88 (1H.t.J=45HZ、CuβH), 3.55, 3.32, 3.28, 3.19 (each 3H.S. OHex4). MSM2 (%): 507 (Mt. 77), 476 (Mt-ONe, 92), 475 (Mt-Meont 100).

(88)のLiAIH4趧元: isodolphonine(89)の生成

(88) 95mg 4 dry THF (2ml) 溶液に 0°CKT LiA|H4 (1.5eg.11mg)を加え,0°CKT 30分、室温KT 1時間 撹拌後, 更K LiA|H4 (5og.36 mg)を加え、1時間加熱虚流移、Na2S04存在下氷冷しなから Wet THFKT LiA|H4を分解し、無機物を3取。3液を留去し得た残渣をflash column K付し、benzen:AcoEt: NFtaN=70:30:5 KT溶むし、

(87) € 30 mg (収率35%), (89) € 35 mg (収率41%) 得た。(87) は (86) a LiAlH4還元で得た化合物と同一であることを TLC、IR、NMRにて確認した。(89) isodel phonine: amorphous, 高分解能 MS、calcd for C24H39 NO7: 453.2726. Found: 453.2710. IR / max cm⁻¹: 3370.1100. 'H-NMR (270 MHz): 4.37(1H, d. J=6.4 Hz、C15βH), 4.09(1H, t. J=46Hz, C14βH), 4.17(1H, d. J=6.9Hz, C6βH), 3.73, 3.19 (each 1H, d. J=8.4 Hz、-CH2-OME). 3.45, 3.36, 3.30, 3.25 (each 3H.S, OME x4), 2.35(3H, J, N-CH3). '3C-NMR (Table 7). [d] + 13.0° (c=0.20, MeOH). H3 M/z (%): 453(H+4), 422(M+OME, 100).

(89)のベンソイル化

(89) 19 mg a pyridine (0.5 ml) 溶液に PhCocl (10年, 49川) を加之、 室温にて14時 由撹拌。 pyridine を 減圧留去し、残渣に氷水を加之、スパーNa2CO3水溶液にてアルカリ)生とした後 CHCl3 抽出。 水洗、乾燥、留去し、残渣をアルミナ(15g)カラムクロマトに付し、ス~8% AcOEt-benzene 溶出部より dibenzoate (103) を 19 mg 得る. amorphous、 IR/max em-1: 3480、1715. NMR よ: 5.44 (1H, d, J=7Hz、C15βH)、5.08 (1H, t, J=4.5 Hz、C14βH)、1.90 (3H,S, N-CH3). MS M2(%): 661 (Ht, 1.5)、630 (Mt-OMe、100).

(86)の THP化

(86) 120 mg a dry benzene (2.7ml)溶液に p-TsOH·H20 (0.leg. 4.5mg), 2.3-dihydropyrane (10 eg. 0.2ml), 4A a モレヤコラーシフ"(51)を加え、Arガス下、室温にて一晩撹拌する。モレヤコラーシーフ"を 3取役、反応液を 5%NaHco水溶液ー CH2cl2 混液中にあける。水房を2回抽出し、合わせた有機房を水洗、乾燥、留去する。 得た残渣をシリカカシノロマトに付し、5~8% acetone-CHcl3 溶出部より、15-THP体(91)を127 mg (収率91%) 得る。 amorphous、IRV max cm-1: 1730, 1660.

NMR (60 MHz) 6: 8.09 (1H,S,-CHO), 4.6 (1H,m, 10+5), 1.65 (m). MS m/2 (%): 593 (M+15), 510 (100), 478 (72), 449 (35).

(91)の LiAIH4選元

(91) 125 mg a dry THF (3 ml) 溶液に LiAlH4(10 eg, 80 mg)を加之、2 時间加熱 選流を行う。 Na2SO4存在下、氷冷しながら Wet THFにて LiAlH4を分解し、無機物を3 取。 3液を減圧留去し、残渣をアルミナ (1.8g)カラムクロマトに付し benzene ~ 30% AcOEt-benzene 溶虫部 **1) (92) を 95 mg (4収率 84%) 得る。 amorphous, IR / Chiclo cm **: 3430, 1100. NHR (60 MHz) が、4.68 (111.m)、1.6~1.7 (m)、 でし、人では3 (3 H.S. N-CH3). MS 型(%): 537 (H[†],3), 506 (N[†]-0 Me 100).

(92)の ベンソーイルイム

(92) 73 mg n pyridine (1.5 ml) 溶液 κ phcocl (1.3 eg. 21 μl) ε加之, 室温 κ τ - 晚捷拌。 pyridine ε N2 μ κ τ 留去 υ κ 後, CHcl3 κ 溶解 υ, 2N-Na 2CO3 永 溶液 次 11 τ brine τ 洗净。 乾燥後留去 υ, 得 κ 豫渣 ε ア 1 ν ミナ カラム クロマト に 付す。 benzene 溶出部 μ 14-benzoyl-15-THP体 (93) ε 69 mg (収率 79%) 得 amorphous, IR ν max cm ε 3510, 1710. NMR (60 MHz) δ: aromatic H (5 H), 4.89 (1 H, t, J=45 Hz, C14β H), 470 (1 H, m), 1.6~ 1.70 (m), Δ σ σ MS m/z (%): 641 (H τ 5), 610 (H σ ο He, 100).

(93)a脱THP化

(93) 60mg を 5%飲THF (2ml)に溶かし、ppTS (4eg. 94mg)を加之、室温にて1時间、70~75°Cにて6時间撹拌。溶媒を留去し、CHCl3を加えて、5%NaHCo3 次いでbrineで洗浄。乾燥後溶媒、留去し、残渣をアルミナカラムクロマトに付し、benzene~ 20%AcoE+-benzene 溶出部より、14-benzoate (94)を

51 mg (収率97%)得る。(94) amorphous, IR / max: 3420, 1710. NHR る: 4.91 (1H.t. J=4.5Hz, C14βH), 4.27 (1H.d. J=7Hz, C1βH), 4.07 (1H.d. J=8 Hz, C16βH). MS %(%): 557 (H⁴, 2), 526 (M⁴-0CH), 100).

8,15-cyclic-carbonate (95)的生成

(94) 50mgの pyridine (1.5ml) 溶液に cclach2ococl (1.5eg. 19μl)を加之, 室温にて14時间 撹拌。 Pyを 減圧留去後、米米を加之、5% NaHCO3 アルカリ性とし、CHCl3 抽出。 水洗、乾燥、溶煤留去し、残渣をシリカ (1.5g)カラムクロマトに付す・1~2% MeoH- CHCl3 溶出部 31) (95)を 40mg (収率 76%) 得る。 amorphous, IR V max cm-1: 1790、1720、 NHR d: 5.06 (1H, t, J=5Hz, Cio-β-H)、 4.72 (1H, d, J=8Hz, CisdH). MS 吸 (%): 583 (M1, 2)、552 (M1-0 Me、100)、508 (6).

benzoylmesaconine (98)の合成

Mesaconitine (15) 300 mg を H20(12ml) と共に封管 し 外浴 120°~130°にて 4時間 知理する。少量の不溶物を3取し、3液をアンモニアアルカり性として CHC|3にて抽出。 乾燥後 溶媒留去し 残渣を アルミナ (0.5g)カラムクロマトに付して、AcOEEにて溶出。 (98)を 269 mg (収率 96%)得る、 amorphous, IR // max cm⁻¹: 3600~3200、1725、NHR よ: (60MHz) aromatic H (5H)、4.98 (1H, d.J=4.5Hz、C14βH)、 Z.30 (3H、S.N-CH3)、 MS M/2(%): 589 (Mt.I)、558 (M1-0Ne、100)。

3.14-dibenzoylmesaconine (99)の合成

(98) 118 mg の dry pyridine (2ml) 溶液に、Arかスト -40° cにて phcocl (1.2 eg. 28 μl) も Z分向で滴下。 -30°~-15° cにて 1 時向、次いで 0° Cにて 45分撹拌する。 氷水も加え、更に 5% NaHCos 水溶液を加えて (pH 10) 15分撹拌後、CH cl3 抽出。 brine 洗浄、乾燥後、溶媒留去し、得た残渣をアルミナカラム

クロマトに付す。 20% AcoEt-benzene ~ AcoEt 溶出部 31) (99) E 107mg (収率77%) 得た。 amorphous、IR/max cm-1: 1720. NMR(60HHz) 5: aromatic H (10H)、5.25 (1H, m, C3 βH)、5.01 (1H, d, J=4Hz, C14 βH). HS M2 (%): 693(M*,3)、662(M*-0Me,100)、540 (M*-0Me-phc00H,90).

(99)の PCC 酸化

(99) 60 mgの dry CH2Cl2 (0.4 ml)溶液を PCC (2eg. 37 mg)の dry CH2Cl2 (0.3 ml)溶液に 0°Cにて加える。量温にて12時間 撹拌 3. CHcl3 にて反応液を布 默し、311を氷水中に注ぎ、水戸のpHを8として抽出。有機戸をbrine洗净、乾燥、留去し、残渣 60 mgを得る。これを シリカ (1.2g)カラムクロマトに付し、2%HeOH-CHCl3 溶出部より 15ケトン体 (100)を52 mg (収率87%)得る。Qmorphous、MS 吸(物): 691 (M*、5)、660 (M*-OMe、100)、538 (M*-OHe、PhcooH.97)、本品をJilシナカラムクロマトに付すと TLC上 保値が変化 (Al2O3、回:AcoEt=1:1/(100)Rf= ca 0.62→ (100) RpCa as4)した化合物 (100) [MS 吸(%):691 (H*、5)、NMR δ: 5.33 (1H, d、J=4Hz、Cu-H)、5、15 (1H, dd、J=12 Hz、J=7Hz、C3βH)、3.80 (3H、S) C16-OCH3、]に変る。

(100)の LiAIH4還元

(100) 37mgの dry THF (1ml) 溶液に 0°Cにて LiAlH4 (5eg. 10mg)を加え、0°Cにて 1時间、次いで 室温にて 1.5時間撹拌する。NazSO4存在下、0°Cにて Wet THFで LiAlH4 も分解し、無機物も3取。 3液を減近留去し27mgの残渣を得る 本品は TLC (SiO2、benzene: EtOH: NEtzH=80:15:5)上 (右図)、mesaconine (101)の存在を示した。

<u>/ ...</u> 残 (ioi) 渣

(101)みベングイル化

(100)のLiAlH4還元により得られた残渣 27mgを pyridine (1ml)に溶かし、PhCOCI (6eg,39μl)を加え、Arが不量温にて18時间撹拌する。 Pyridineを滅圧留去し、水水を加え、5%NaHCO3水溶液にてアルカリ社としてには油出。 brine 洗浄、乾燥後、留去し、得た残渣をアルミナカラムクロマトに付す。 20~50% AcOEtbenzene 溶出部より 3、14、15-tribenzoyl mesaconine (102)を24mg得分. amorphous、IR y chclis cm-1:3470、1720、NMR が、aromatic H (15H)、5.54 (1H, d, J=5Hz, C15βH)、5.21 (1H, C3βH)、470 (1H, d, J=4Hz, C14βH)・本品は mesaconitine (15)より mesaconine (101)をへて誘導した (102)とTLC (5:02/10%MeoH-CHCls、Al203/回:AcOEt=1:1)、IR (CICls)、NMRにて一致は、

Des-N-ethyl-8-acetyl-14-benzoyl chasmanine (105)の合成

8-acetyl-14-benzoyl chasmanine (53) 600 mgの acetone (80ml) 溶液に KMn04の ag. acetone (1:1) 80ml 溶液を加える。室温にて3時由撹拌する. 後久1理13 (78)の合成の時と同様に行った。本反応を同様に2回行い、合めせて アルミナ (35g) カラムクロマトに付した。20% AcOEt-benzene ~ AcOEt 溶土部より des-N-ethyl体(105)を1042mg (収率91%)得た。 amorphous, IR/max cm⁻¹: 1720. NMR (60MHz) る:aromatic H (5H), 5.08 (1H, t, J=5Hz, C14βH), 1.40 (3H, S, OCOCH3)。 MS M2 (%): 569 (M⁺, O.5), 538 (H⁺-OHe, 30), 478 (M⁺-OMe - AcOH, 87), 105 (100).

(105)の N- メナル化

(105) 1050 mg n 5%含水 CH3CN (30ml)溶液に、35% CH2O (10eg. 1.5ml)を5分で流下。10分後 0°cにて NacNBH3 (3eg. 350 mg)を少しつつかれえる。AcOH (0.3ml)を滴下し、pHを4とする。室温にもどし3時間撹拌。溶媒を減圧下留去し、米水を加之、2N-NQ2CO3水溶液にてアルカリ性としCHCl3抽出。水洗、乾燥後留去し、

残渣をアルシナ(30g)カラムクロマトに付す。benzene~ 5% AcOEI-benzene 溶出部 より(106)を890mg (収率83%)得る。無色針状晶 mp156~157° (n-hexane) Ana/ Calcd. C 33 H 45 N 08: C, 67.90; H. 7.77; N. 2.40. Found: C, 68.02; H, 7.75; N, ス31. IR 2 max cm-1: 1720. NMR & (60M Hz): Z.30(3H、& N-CL3), HS M2 (%) : 583(H1,2), 552(H1-0Ne.94), 492 (M1-0Me-AcOH、100).

(106) 25016

(106) 560mg & 6回に分けて以下の操作を行た。サンプロシアスコの壁に付着させ、これを Z5~3 mm Hg にて 12分面、190~195°に加熱した。合わせた残渣をフルミナ (1.5g)カラムクロマトに付し、benzene~1%AcoEt-benzene 溶出部より(107)を460 mg (収率92%)得た。 amorphous、 UV入 max nm: 232、282(sh)、2N-Hcl添加により 230、276、282、 IR / max cm-1: 1720、1640. NMR (60MHz)よ: 5.47 (1H, d, J=6Hz, C15~H). MS %(%):523(Mt,23)、492 (M*-0Me,100).

(107) o Os 04酸化

(167) 460 mg の pyridine (2.5ml)-THF (2.5ml) 溶液に 0504 (1.3eg. 290 mg) を加え、N2かス下、暗所にて2日旬撹拌。次いて、反応液に NaHSO3 (170mg) の水溶液 (5ml) を加え一晩 撹拌する。こに水水を加え、ZN-Na2CO3水溶液にてpH9とした役 CHCl3抽出、有機形を brine で洗净後、乾燥、留去し、得た残渣を7ルミナ(14g)カラムクロマトに付す。5~30% AcOFt-benzene部より (108)を336 mg (収率69%) 得た。 amorphous、IR / max cm-1: 3420、1710、NMR と 4.91 (1H.t. J=4.5Hz、C149H)、4-27 (1H.d. J=7. C4βH)、4-07 (1H.d. J=8Hz、C15αH)、MSM2(%): 557 (H+,2)、526 (M+-OHe、100).

des-N-ethyl-N-methyl-diacetyl chasmanine (109)a 合成

(78) 1500 mg の 5%含水 CH3CN (48 ml) 溶液に 35% CH2O (10eg. 2.34 ml) E5分 向で滴下. その後、NacNBH3 (3eg.560mg) E少しつつかな之、次いで AcoH (0.3 ml) E加えて pH4とする。室温にて 2時 向 撹拌後、溶媒、色 減圧 置去し、米水を加之、さらに 2N-Na3CO3 水溶液でアルか) 性として CHCl3 抽出。CHCl3 毛水洗、乾燥、留去し、得た残渣もアルミナ(50g)カラムクロマトに付す。5~10% AcoEt-benzene 溶出部より(10g) を1230 mg (収率 90%) 得た。 amorphous、IR / max cm-1: 1725 . NHR (60 MHz) 5: 4.78 (111、t、J=5Hz、C14-H)、2.29 (3H、S、N-CH3)、2.02、1.96 (each 3H、J、OCOCH3)、MS m/2 (%): 521 (M+1.5)、490 (M+0 Me、100)、430 (M+0 Me-AcoH、27)。

(109) or CODIC

(109) 1100 mg を11回に分けて以下の操作を行た。サンフ・ルをナス型フラスコの壁に付着させ、これを2mmHgにて12~15分向、195~205°Cに加熱した。合わせた残渣をFlash columnに付し、3%NeOH-CHCl3分画より(110)を915 mg (収率94%)得た。 amorphous、UV入max nm: 241、2N-Hcl 添めて end absorption、IR / max cm-1: 1725、1630、NHR (60MHz) は5.45(1H,d,J=6Hz,Cl5-H)、2.35 (3H.S. N-CH3)、1.99 (3H-S. BCOCH2)、HSMz(%): 461 (H+,23),430(H+OHe,100)。

(110)の 0504酸化

(110) 625 mg a pyridine (5ml)-THF (5ml) 溶液に 0504(1.2 eg. 412 mg)を加え、Arガス、暗所にて 3日旬撹拌・次にて NaH S 03 (1795 mg)の水溶液 (10ml)を加え 11時旬撹拌する。反応液に氷水を加之、2N-Na2C03 水溶液にてアルカリ性とし CHCl3抽出。有機局を brineで洗浄後、乾燥、留去し、得た残渣をアルシナ (7.5g)カラムクロマトに付す、 benzene ~ 50%AcoEt-benzene 溶出部より (111)を 470 mg (収率70%)得る。 amorphous、 IR) (max cm 1: 3450、1730、 NNR (60 MHz) よ・4.65 (111. t. J=5、C14-H)、4.19 (111. d. J=7Hz C6-H) HS Mz (%): 495 (Mt3)、464 (H-0Me、100).

(111) a Swern 如此

Arガス下、dry DMSO (1.5 eg. 101 μ1)のdry CH2Cl2 (1 m1)溶液に、-72°Cにて (Ch3Cob0 (1.5 eg. 201 μ1)のdry CH2Cl2 (1 m1)溶液を15分で滴下、15分後、-73°Cにて、(111) 470 mg か dry CH2Cl2 (5 m1)溶液を15分で滴下、切まま1時間撹拌し次にで Et3N (5 eg. 0.66 m1)を10分で滴下する。-72~-60°Cにて1時間、次いで単温にて30分撹拌後、CH2Cl2 (15 m1)を加え水洗。水乃を1回逆抽出し、合わせた有機乃を乾燥後、留去。462 mg (収率99%)の(112)を得る。amorphous、MS 吸(%): 493(H³.3)、462(100).

(112) o LiAlH4選元

(112) 96 mgの dry THF (5 ml) 溶液に -55° Cにて LiAlH4 (5 °g, 40 mg) を加之, -55° Cへ0° Cにて 1時間, 次いで室温にて1時間撹拌する。NQ2SO4存在下, 氷冷しながら ag. THFにて LiAlH4 を分解する. 無機物を3取し、3液を留去して得た残渣を Flash column に付し、 benzene: AcoEt: Et2NH= 70:30:5 溶出部 む) (97) を 33 mg (収率 37%)、 benzene: AcoEt: Et2NH= 70:30:5~50:50:5 溶出部 む) (89) を 37 mg (収率 42%) 得た。

(112)の Li(OMe)3AlH による流元

くわり): dryTHF中, 10 eg. n LiAlH4 と illに対し 3 eg. n dry MeOH にて LiAl(OMe)3H と調製する。 ille 0°Cに冷却し、(112)100 mg n dryTHF (1mi)溶液を滴下する。0°Cにて2時間、空温にて] 時間 撹拌後、通常の後処理をし、得た残渣をFlash columnにて分離する。上記と同様にして (87)を29 mg (収率32%)、(39)を41 mg (収率45%) 得た.

〈その2〉: くも1> と同様に LiAI(0He)3Hを調製し、これを-72°C に冷却し、(112) 205mg a dry THF (5ml)溶液をZO分で滴下する。-70°~-50°にて 1時向、次いで 空温にて 1時間撹拌後 通常の後処理をし、得た残渣を Flash column に付す。 benzene: AcoEt: EtaNH = 50:50:5 洛山部 J) (89) E 149 mg (取率79%) 得た。 これら 還元反応で得た (87)、(89) は 別途ルートで 得た 化合物 ヒ TLC,NMRにて同定。

14-benzoylisodelphonine (113)の合成

(89) 84 mg を dry pyridine (0.8 ml)- dry CH2Cl2 (0.8 ml) に溶かし、-70°Cにて Phcocl (1-3 eg、28 μl) を 3分向で滴下する。 その後、以下の如く温度を上昇させる。-70°~-60° (30分)、-60°~-30° (30分)、-40°~-20° (1時向)、0°C (30分)、反応液に氷水と5%NaH CO3水溶液を加之 (pH 10)、CHCl3にて抽出。有機局を brineで洗浄後、軽燥、留去し、残渣を Flash column に付す。 Aco氏: ben-Zene: Et2NH=50:50:5分面より (113) 101 mg (収率98%)得た。 amorphous、UV 入max nm: 230、IR/max cm-1: 1720、NMR &: 8.04~7-34 (aromatic H、5H)、5.07 (1H、t、J=4.5Hz、C14-β-H)、MS 7½(%):557(M5,2),526 (Mt-OHe,100)。

15- acetyl isodel phi nine (114)

(113) 140mg E Accl (6ml) に溶かし、更に AcoH (1eg, 12μl) E加えて、アンフ・ルト 封じ、室温にて2週 自 放置する。 Accl E 減圧下留去し、氷水を加え、アンモニアアルカリ性として CHcl 3抽出。常法に従い知理し、得た残渣を アルミナ (3g)カラムプロトに付す。5~10%Ac OEt-benzene 溶出部 より (114) 154mg (収率96%) 得た。無色フ・リス、ム晶、mp 184~186° - Anal Calcd。 C35H47NO10: C, 65·55; H, フ・38; N・2・18。 Found: C, 65・49; H. フ・35; N, 2・12・ IR / max cm-1: 1735, 1715.
NMR よ: (60 MHz) 5・93 (1H, d, J=6Hz, C15 PH), 5・08 (1H, t, T=5Hz, C14-H), Z・11、1・33 (each 3H, S, OCO CH3 x2)。 MS 以(火): 641 (Mt1), 610 (MtONe, 100).

(114)のアルカリ加水分解

(114) 60mg & 5% KOH - ag. MeOH (5ml)に溶かし、Ar下, 2時间加熱還流移。

MeOHを減圧下濃縮後、CHCl3抽出・有機局を常法に従い処理し、得た残渣をFlash column に付す・ benzene: AcOEt: EtaN H=50:50:5 分画が (89)を36mg (収率85%) 得る。本品はTLC、NMRにて isodelphonine (89)であることを確認。

C15 水酸基の保護: (115)の生成

(113) 58 mg n dry pyridine (0.5 ml)-dry CH2Cl2(0.5 ml) 溶液に CCl3CH2OCOCl (1.5 eg. 22 μl) を加え、室温にて14時間 撹拌。反応液に氷水を加え、更に5% NaH CO3水溶液にてアルカリ性としてHCl3抽出、合わせた有機乃を常法に従い処理し、得た残渣をFlash column Chromatography に付ま、又~5% MeoH-CHcl3 溶出部より (115)を67 mg (収率館が) 得た。 amorphous、IR / max cm : 1760~1720・NMR (60 HHz) る: 5.88 (1H, d, J=6Hz, C15-BH)、5.08 (1H, t, J=4.5Hz, Cn2BH)、4.96、4.64 (each 1H, d, J=12Hz, OCH2CCl3)、MS M2 (%): 731 (Nt1)、700 (100)、702 (98)。

(115)のアセチル化

〈初1〉: (115) 60 mg & ACC1 (3mi)に溶かし、ACOH (5eg. 23μl)、dy HeoH (3eg.10μl) ヒ共にアンフ・1レに封じ、12日面放置。 ACC1を減圧電去し、残渣に氷水を加立、フンモニア アルカリ性として CHCl3 抽出。 brine で洗浄後、乾燥、電去し、得た残渣を Flash Column に付す。3~5% MeoH-CHCl3 溶出部より (116) を 61 mg (収率96%) 得た。 〈行の2〉: (115) 50 mg を ACCO (1.5ml)に溶かし、p-T50H-H20 (1.2eg.19mg)、ACOH (3eg. 16μl)を加之、室温にて12日面放置。 〈初1〉と同様の後処理をし、クロマト後、42mg (収率79%)の (116)を得た。 (116)に amorphous、 IR / max cm-1:1770、1720 (broad)、 NMR d (60 NHz): 1.37 (3H.S. OCOCH3)、 MS 炒2 (%): 773 (M! 2.5)、775 (M'+2,2)、742 (M*-0Me、99)、744 (100)。

(116)n保護基n脱離: isodelphinine (77)の生成

(116) 55 mg の AcoH (1ml) 溶液にZn末 30 mg E力n之、3時間撹拌。更にZn末 15 mg を追加して1時間撹拌後、Zn E う取し、CHC|3 (40 ml) にて洗いこむ。 3液を 5N-K2CO3 水溶液 (8 ml)にて洗浄。 水乃を1回 逆抽血し、含めせた有機乃を brine で洗浄後、乾燥、留去し残渣を得る。 これを Flash columnに付し、5% Meon-CHC|3溶出部より (77)を 35 mg (収率 88%)得る。 (77): Colorless Solid。 mp 158~160°. Anal Calcd。C33H45N0g:C. 66.09; H. 7.56; N. Z.34. Found:C. 65.91; H. 7.54; N. 2.25。 IR / max cm-1: 3490、1720、1705、1280、1285、1100。 「H-NMR (270 MHz) d: Qromatic H(5H)、5.05 (1H、T、J=4.3 Hz、C1eβH)、4.41 (1H、d、J=2.8 Hz、-OLI)、4.35 (1H、dd、J=2.6、J=5.7 Hz、C1s-β-H)、4.04 (1H、d、J=6.8 Hz、C6βH)、3.52 (3H、S)、3.29 (6H、S)、3.19 (3H、S)、2.35 (3H、S. N-CH3)、1.44 (3H、S. OCOCH3)。 「3 C-NMR (Table 7). [d] の +17.4° (c=0.27、95% EtoH)。 MS 吸(%): 599 (M1,2)、568 (M1-0Ne、33)、508 (M1-0Ne-Acon,100)。

Aconitum Miyabei Nakai 塩基性分画 Iの精製: (113)の単離

北海道大学(理)勝升教授より分与された Aconitum Miyabei Nakaiの臨基性フラフョン
I (1.39)を IN-HCI水溶液 (50ml)に溶解し、Acoet にて3回抽出。 Acoet 厚を IN-HCIにて1日逆抽出する。合わせた水房を水冷下 Na2CO3にてアルかり生とし CHCl3抽出。
brine 洗浄後、乾燥、智去し残渣で17mgを得た。本品をシリカ (230~400 mesh)カラム
クロマトに付し、benzene: Acoet: EtaNH= 60:40:2 溶出部より (113)を含む分面を390mg
得、更にアルミナクロマトに付し、Ac OEt~2% MeoH-Acoet 部 (B7mg)を PTLC (Acoet,
AQ203)にて精製することにより (113)を56mg (塩基分面より7.8%)得た。 amorphous, IR pmax cm-1:3580,3400-1710、1275、1100、NMR よ:5.07 (IH.t. J=45Hz、C1e-β-H)、MS %と(火):557 (14t 1.5)、526 (H-OMe,100)、本品は Chasmanine
(9)より 誘導した (113)と TLC (SiOa/ 図:Acoet:EkaNH=7020:10、Al2O3/Acoet)、IR
(CHcl3) か一致した。

(113) (A. Miyabei Nakai) n CCl3CH2OCO K

A. Hiyabei Nakai より単離した (113) 51 mg & dry pyridine (0.5 ml)-dry Clacla (0.5 ml) に溶かし、0°Cにて (Cl3 CH2 OCOCl (1.5 48、19 μl) を加之、室温にて 17時间 撹拌。 後処理 & Chas manine (9) 誘导体(113)の時と同様に行い、(115) を 62 mg (収率92%) 得た。 amorphous、IR / max cm-1: 3520、1760~1720、 NMR (60 MH2) よ: 5.88 (1H, d. J=6 Hz, C15 βH)、5.08 (1H, t. J=5112, C14 βH)、4.96、4.64 (each 1H, d. J=12 Hz, -0 CH2 Ccl3).

(115)の アセチル化

(115)[A. Miyabei Nakai 由来] 58 mg & Accl (3ml)に溶かし、AcoH (5eg, 23μl)、dry MeOH (3eg, 10μl)と共にアンプルに封ひ、室温にて11日向效置。役処理をChas manine 誘導体(115)の場合と同様に行い、クロマト後(116)を56mg (収率92%)得た。amorphous、IR /max cm-1: 1770、1720、NMR (60HHz) 8:1-37 (3H.S).

(116)の保護基の脱離

(116) [A. Hiyabei Nakai 由来] 50 mg E AcoH (1ml) 下溶かし、Zn末30 mg E加之て1時向撹拌後 更にZn末20mg E 追加し 30分向撹拌する。後処理 E chas manine 診事体(116)の場合と全く同様に行い、カラムクロマト後(77)を36 mg (収率93%)得た。iSodel phinine (77) [A. Hiyabei Nakai 由来品]: Colorless Solid。mp 158.5~160°(Et20-n·hexane)。IR / Max cm-1: 3490.1720、1705、1280、1255、1100・NHR (60MHz) よ: 5.03 (111. L. J=4.5Hz、C14βH)、よ4.4~4.3 (2H, m)、3.5]、3.28、3.18 (0Hex4)、2.33 (3H, S. N-CH3)、1-44 (3H, S. OCDCH3)、 [d] が+19.5°(c=0.34、95% Eton)。 MS が (が): 599 (Mナ1.5)、568 (M-0He、35)、508 (Mー0Me-AcoH、100)。本品はTLC、混酔試験、IR、MS、NMR、[d] D にて Chas manine より 誘導した (77) と一致した。

(77)のアセチル化

Isodel phinine (77) [A.Miyabei Nakai 時] 14mgを Accl (1ml)に溶かし、アンプルに封じて空温にて17日向放置。Acclを減圧留去し、残渣に水水を加え、アンモニアアルカリ性として CHcl3抽出。水流、乾燥後溶媒留去し、得た残渣をアルミナ (0.5g)カラムクロマトに付して、benzene~5%AcoEt-benzen 溶出部 **1) (114) を14mg (収率 93%) 得た。 mp 178~182°、 IR / max cm = 1735、1715、本品は chasmanine **1) 誘手した (113)をジアセチル化して得た (114)と同一であることをTLC、IR、混扁式酸にて認られた。

第二章第二節に関する実験

1.8.14-triacety neoline (120)の合成

Neoline (29) (2.5g) を Ac20 (65ml) に溶かし、p-TsOH·H20 (1.20g, 1.3g)を加之、浴温 90~100°C で 2時間 撹拌する。Ac20を減圧留去し、残渣に氷水を加え、アンモニアアルカリ性 として CH2cl2抽出。 CH2cl2房を水洗、乾燥後、溶媒留去し、残渣を acetone- Et20 5リ 結晶化して 1.191g の (120)を得た。母液をアルミナ(25g) クロマトに付し、30% AcOEt-benzene 溶む部より (120)を 1.354g 得た。合計 2.545g (y.79%)。 (120):mp147~149°、 IR / max cm-1: 1745、1730. NMR (60MHz) よ:4.80 (2H, m, C1-H, C14-H)、ス.00 (9H, S, OCOCH3×3). MS M2 (%): 563 (H*,1.7).505 (100)、445 (56).

(120) 内 10日化

(120) 100 mg ε 减压下 (2mmHg), 浴温 Z00° Cにて 10分向加熱 する。この操作 ε 100 mg つつ計 5回行う。得ら川た残渣 ε アルミナ (15g) 7日マトに付し、benzene ~ 20% AcOEt-benzene 溶出部 51) ヒ° 口体 (121) ε 426 mg (収率 95%) 得た。 (121): mp 170~172° (from MeOH) [文献值 183°], UV 入 max nm: Z46. IR / kBr cm-1: 1725, 1625. NMR δ: 5.46 (1H, d, J=7Hz, C15-H), 4.76 (IH, d, J=7, J2=12Hz, C1βH), 4.60 (1H, t, J=4.5Hz, C14βH), 3.30 (3H, S). 3.29 (6H, S). OMex 3, 1.98 (6H, S, OCOCH 3×2), 1.08 (3H, t, J=7Hz, N-CH 5 CH 3). MS m/2 (%): 503 (M*,4), 444 (M*-OAc, 100).

(121)の 0504酸化

(121) 245 mg を dry pyridine (1.3 ml)- dry dioxane (1.3 ml)に溶かし、氷冷下 0304 (148 mg)を加える。Arかスト、室温、暗所にて3日间撹拌する。次いで

(122)a Swern酸化

(123)の LiA1H4選元

前記反応にて得た (123) 210mg E dry THF (7.5ml)に落かし、氷冷下, LiAlH4 (75mg)を少しつつ加え、0°CKで1.5時間, 室温Kで1.5時間撹拌した。Naz-SO4存在下,水冷しつつ含水THFにて加剰の還元剂を分解した後,無機物を3取 する。CHCl3にてよく洗い込み溶媒留去。 残渣をシリカ(2-8g)クロマトド付し、3%-MeOH-CHCl3 溶血部1リ、8、15-シスシオール体 (124)を37 mg (収率26%from (122)), 4~15% MeOH-CHCl3部却(119)を92mg(牧率64% from (122))得た。 本反応で得られた (119)[mp 205.5~206 · [d] +17.2 · (c= 0.25, cncl3), IRY max cm-1: 3560, 3490, 3310. NMR 8: 4.40 (1H.d. J=7, CI5-B-H). MS m/z (%): 453 (Mt.11), 436 (Mt-0H,100).] は 混融試験, TLC IR, MS. NMR Kて 天然品 (119) (15-a-hydroxyneoline)と同定した。 (124):15-β-hydroxyneoline, 無色針状晶. mp 175~177° (acetone), Anal Calcd. C24H39NO+ C. 63.55; H. 8.67; N. 3.09 Found: C. 63.17; H. 8.52; N. 2.98. IR/max cm-1: 3465, 3300, 3180, 1100. NMR 8: 7.40~ 7.00 (17) broad, + D20 T. 消失、Cr-d-od)、4.49 (IH、d. like、+D20で消失)、4.22 (2H·m·C6, C15-H), 3.96 (IH,t,J=4.5Hz, C14BH), 3.48, 3.37, 3.33 (each 3H, & OMEX3). [d] +247° (c=0.29, CHCl3). MS7/2(%): 453 (M*,19), 438 (M*-CH3,29), 436 (M*-OH,100).

(122)のアルカリ加水分解

(122) 23 mg を 5% KoH- ag. MeOH (I:1) 1m/に溶かし, Arかス下1時 向加熱 選流力。反応液を CHC | sにて抽出し,有機房を食塩水にて洗浄役,乾燥,溶 媒留去し残渣 20 mg を得た。これを 沙力 (0.4g)クロマトに付し, 4~5% MeOH - CHC | 3 溶出部より (124)を 17 mg (収率 88%) 得た。本品 (mp 170~174°) に 混融試験、TLC、IRにて、(123) n LiAIH4 選元時に得られた (124)と同定した。

第二章第三節に向する実験

hydroxylycoctonine (128)の合成

lycoctonine (3)850 mg を H20 (40 ml)に SUSpend し、Ag20 (4.22g)を 水冷下加える。Arガス下、整温にて 17.5 時间 撹拌了る。(約30分後から銀鏡 が生いすいめる)、反応液を自然3週、3液を約20 ml すで減圧機縮し、CHCl3 抽出。CHCl3 万を brine で洗浄後、乾燥、溶媒留去し、残渣を EtOH- Et20 より結晶化して (128)を無色プリズム晶として 719 mg (収率82%)得る。 mp 147~149° [文献値 150~151°] Anal Calcd、C25H41 NO8: C. 62.09; H. 8.55; N, 290 Found: C. 62-19; H, 8-70; N. 2-88 IR / max cm⁻¹: 3480, 2930、2860、 NMR d: 4.84 (1H、S、C17-H)、4.12、3.83、2.00 (each 1H、S、 + D20 消失)、1.08 (3H. LJ=7Hz、N-CH2CH3)、MS M2 (%): 483 (M; 100), 468 (65), 452 (49).

(128)の Huang-Minlon 選元

KOH (174mg)をトリエチレング"リコール (TEG) (25ml) ド加温して溶かし、ここに NH2NH2·H2O (5ml) ヒ (128) 500 mg を加える。外浴 164~166° CKで 1.5時 向加熱後、外温を223° まで上昇させ この温度までの留出物を除去する。その後200~230° Cで2時 向加熱した後、反応液を氷氷 (60 ml) ド注ぐ。 CHCl3 抽出し、有機乃を水洗、乾燥後留去して得た残渣 (TEGを含む)を71V汁 (50g)カラムクロマトに付す。 Benzene~ CHCl3 溶出部より Pro1~Pran 混合物 (567mg)を得た。本品を3リカ (30g) クロマトに付し、回: AcoEt: NEt3=10:1:0.2~8:2:0.2溶出部を AcoEt-MeOHより 結晶化し pro1 (129)を70 mg 得た。本母液と他の溶出部を含わせて再び、シリカ (15g)カラムクロマトに付す。回: AcoEt: NEt3=10:1:0.2 分面を含わせて再び、シリカ (15g)カラムクロマトに付す。回: AcoEt: NEt3=10:1:0.2 分面を AcoEt-MeOHより 結晶化し pro.1 (129)を10 mg (母液*140 mg)得、更下高極性溶出部より prom (amorphous) 179 mg 得た。

七に得た母液*をシリカ(7g)カラムクロマトに付し、CHCl3~3% Neon-CHCl3部より
Pro II (142)を61 mg 得、次いて、50%Meon-CHCl3~Meon 溶出部をAcoEt-Meon より結晶化し、5 mg a Pro I (129)を得た。1人上の分離により、pro I (129)
85 mg (y. 18%)、pro II (142) 61 mg (y. 16%)、pro II 179 mg (y. 37%)を得た。
Pro I (129): 7-deoxylycoctonine、mp 115~116.5。(無色フェリズム晶、from AcoEt-Meon)、Anal Calcd、C25H41NO6・H20(咬湿性): C. 63.94; H. 9.23; N. 2.98、Found: C. 64.26; H. 9.20; N. 2.96、IR / max cm-1: 3500、3320、1090.

HNMR が、4.40(1H、S、+D20で消失)、3.87(1H、d、J=7Hz、C6-H)、3.43、3.40、3.32、3.26(each 3H、S、OCH 3×4)、2.34(1H、d、J=7Hz、C7-H)、1.05(3H、大、J=7Hz、N-CH2CH3)、13 C-NMR (Table 17)、MS My (火): 451(H1,6)、436(M*-CH3、29)、420(M*-OMe、100)。

Table 17 Carbon-13 Chemical Shifts and Assignments a)

Carbon	(3)	(129)	Carbon	(3)	(129)
1 2 3 4 5. 6 7 8 9 10 11 12 13	82.7 26.2 31.7 38.6 49.7 90.6 88.4 77.6 43.3 46.1 48.9 28.8 38.1	82.1 26.2 31.8 38.6 49.5 84.8 51.5 74.6 44.4 46.4 48.6 29.2 37.8	14 15 16 17 18 19 N-CH ₂ CH ₃ OMe 1' 6' 14'	84.3 33.6 84.0 64.9 67.7 52.7 51.2 14.2 55.8 57.8 57.8	84.2 39.4 83.2 63.4 67.7 53.9 49.4 13.4 56.1 57.5 57.7

a) Chemical shifts in ppm downfield from TMS; solvent CDC13

ProI (142): amorphous, IR/max cm-1: 3500, 1630. NMR 3:5.16 (1H. broad, Wh= 24 Hz, t D20 T"消失, -0H). 1.14 (3H, t, J=771z, N-CH2(M3).
MS M2(%): 483 (M+51), 468 (M+-CH3, 100).

(129)のアセナル化

(129) 45 mg か pyridine (1.5 ml) 溶液にACO (の15 ml) を加之、N2ガス下,室温にて一晩放置。溶媒を減圧下留去し、残渣にCH2Cl2 を加之、5% NaHCO3、次いで、H2Oで洗浄し、乾燥、留去して得た残渣をシリカカラムクロマトに付す。CHCl3~10% MeOH-CHCl3 溶出部より 18-acetate (139) を 31 mg 得る。 (139): amorphous、IR //max cm-1: 1730. NHR が 3.91 (2H,S,-CH2OAc). MS が (%): 493 (M*,9)、 478 (M*-CH3,29)、462 (M*-OHe,100).

(129)の 0-×ナル化

(129) 10 mg n dry THF (0.5ml) 溶液に, 氷冷下 NaH (50%有效,10 eg,11mg) E 加之 30分向搅拌。次1.2·CH3I (10 eg,14μl) E加之7. 室温に7一晚搅拌药. 氷冷下 ag. MeOH E 加之,更尽水 E 加之7 CH2c|2抽出,有機乃 E 常法に従い久 理し,得らりた残渣をア1vミナ(1g)クロマトに付す。回:n·hexane=1:1~回溶出部分1)8,18-dimethyl体(140) E 6 mg 得る。 amorphous,IR/max cm² :1090. NMR が3.72 (1H,d,J=8 H2)、3.36 (9H、S),3.32 (3H、S),3.24 (6H、S) OMex 6. 1.05 (3H,t,J=7Hz, N-CH2CH3). MS M2(%): 479 (H[†],3),464 (M[†]-CH3,35). 448 (M[†]-OHe,100).

(9)のローメチル化

Chas manine (9) 90mg a dry THF (3ml)溶液に水冷下 NaH (10eg, 96mg)を加之,30分向搅拌後, CH3I (10 eg, 0.125ml)を滴下心空温にて14時间搅拌する。 (129) a 場合と同樣 a後処理をし、得た残渣を 51)カクロマトに付い 同:AcoEt=に1~AcoEt 溶出部 51),8,14-dimethyl体(141)を91 mg 得る。(141) mp 115-118° [文献值118-120°], IR /mex cm⁻¹:1090、NMR δ:3.37(3H),3.35(3H),3.33 (3H),3.31 (3H),3.24 (6H), OMex 6、1.06 (3H, t, J= 7Hz, N-CH2 CH3)。 MS M2 (%):479 (H[†],2),464 (M[†]-CH3,6),448 (M[†]-OMe,100).

(142)のアセナル化

(142) 88 mg n Pyridine (2ml) 溶液に Ac20 (0·3ml)を加え、N2かスト、室温にて一晩撹拌。常法に従い後処理をし、diacetate (143) 92 mgを得る。 amorphous、IR / max cm-1: 1720、1630、NMR か: 5·18 (1H、S、+D20で消失)、4·72 (1H、br.S)、4·08 (2H、S、-CH20Ac)、2·07 (0c0 CH3 × 2)、MS m/2 (%): 568 (M[†],8)、493 (100)。

acetonide (144)a合成

(142) 214mg n dry acetone (6ml)溶液にp-TsOH·H20 (126mg)とモレキュラーシーフ" (4A) 20ケモカロ之、Arがスト 21時间加熱還流とする。モレキュラーシーフ"を3取後、3液を減圧濃縮し、こにCHCl3を加之、 5%Nanco3水溶液、次いて"水で洗浄する。有料を軟燥を留去し、得た残渣をシリカカラムクロマトに付し、3~4% acetone-CHcl3溶出部より acetonide(144)を110mg得た。mp106~108° n無色プリス"ム晶(Et20-石油エーテル)、Ana/ Calcd、C28H45 NO8・H20(吸湿性); C,62.08; H.8.75; N.2.59、Found: C,62.23; H、8.67; N,2.47、IR / max cm-1: 1640、NMR が : 1.56-1.45 (each 3H、S.で、CH3)、MS M/2 (%): 523(Mt,4)、508(Mt-CH3、100)。

第三章に関する実験

14-aroy/- chasmanine 誘導体(151),(152),(153)的合成

(152): 14-anisoyl chasmanine

Chasmanine (4) 501 mg n dry Pridine (3ml) 溶液 κ anisoyl chloride (3eg. 0.5ml) ε 滴下 ι, 続いて 80° c κ て 2.5 時间 撹拌する。 Pyridine ε 減圧下留去 ι, 水水 ε 加之, Na2 c03 ア ιν Δη) 性 ε ι τ C H c l 3 抽 出 . 有機 β ε 常法 κ 従い 処理 ε ι 得た残渣 ε シリカカラムクロマト κ 付す。 30~100% HeoH- CH c l 3 部 μ) (152) ε 544 mg (y. 84%) 得た。 amorphous, IR γ max cm-1: 1710, 1607. NMR δ (60 H H 2): 5.02 (1 H , t . T = 5 H z, C ι ε - β - H). UV λ max nm: 258. MS m/2 (%): 585 (H^t, 3.4), 554 (H^t- OH e, 86).

(151): 14-benzoylchasmanine

(152)の方法に従って合成 (y. 82%), amorphous, HCl ump 248~251, IR / cricls cm-1: 3400, 1725. UV入 max nm: 230. NMR J (60 MHz): 5.11 (1H.t. J=5Hz, C14BH). MS Mz(%):555 (M+4), 524 (M+0He, 100).

(153): 14-m-bromobenzoyl chasmanine

(152) n 方法に順いて合成 (y.77%), mp 118~120°(n-hexane). Anal. Calcd. C32H44N07Br: C. 60.56; H. 6.99; N. 2.21. Found: C. 60.47; H. 6.97; N. 2.36. UV λ mex n m (log ε): 232 (4.04), 284 (2.94). IR γ ker cm⁻¹: 3410, 1740. NHR (60MHz): 8.2~7.2 (4H. aromatic H), 5.10 (1H, t, J=5Hz, C14-β-H). MS m/z (%): 634 (M^t, 2.9), 636 (M^t+2, 4.5), 603 (M^t- OME, 99), 605 (100).

8-acety|-14-aroy|-chasmanine 誘導体(53),(154).(155),(156), (157),(158),(159),(160),(162),(161)の合成 (154): 8-acety|-14-anisoy|-chasmanine:

14-anisoy|体(152)590 mg a Ac20 (8ml)溶液に p-TsoH·Hzo (300 mg)を加之、N2かス下、外浴 90~100°Cにて3時向 撹拌る。Ac20を減圧下留去し、残渣に氷氷を加之、アンモニアラルか)性としてCHCl3抽出、有機乃を常法に従い処理し、得た残渣をn-hexane より結晶化して (154)を 420mg 得る。[以下a化合物は同様にして合成した・] : 無色針状晶、mp 157~158°(n-hexane) Ana/ Calcd. C35H49N0g: C、66.96;H、フ.87;N.2-23. Found: C、66.94;H;7.92;N、2-20. UV入 max nm (Loge): 259 (418). IR/max cm-1: 1722、1708、1605. NMR (60MHz) は: 1.34(3H、S、OAc). MS m/z (%): 627 (M¹, 3.3)、596 (M¹-0CH3、100).

(53): 8-acetyl-14-benzoyl-chasmanine:

(154)の方法に間近て合成。(y84%)、mp 155~156.5°(n-hexane)[文献値148~156°]、UV入max nm: 230.5,274.5,281.5、IR/max cm-1: 1730,NMR(60MHz)よ: 5-03(1H, t, J=5Hz, C14βH),1-34(3H, S,0Ac)。MS m/2(%): 597(M[†],2),566(M[†]-0CH₂,100).

(155): 8-acetyl-14-veratroyl-chasmanine

(154) n 方法に順いて合成。 (y. 79%)。 mp 137~139°。 Anal Calcd. C36

HSINO 10: C, 65.73; H, 7.82; N. 2.13. Flound: C, 65.74; H, 7.85; N, 2.02.

UV 入 max nm (log E): 220 (4.39), 264 (4.12), 294 (3.84). IR / max cm⁻¹:

1720, 1603. NMR (60MHz) よ: 5.00 (1H.t.) = 5.00 (6H.S.ph-OCL),

1.37 (3H.J. OAc). MS M2 (%): 657 (M*3), 626 (M*-0CL), 100).

(156): 8-acety|-14-trimethy galloy|-chasmanine
(154)の方法に順いて合成。(y-54%). amorphous、IRソmax cm-1:1720,

1590. NMR (60MHz) 8: 7.37 (21,5, aromatic H), 5.02 (14, t, J=5Hz, C,4)
BH), 3.88 (9H, S. ph-0 C+3), 1.34 (3H, S. OAc). MS m/z(%): 687 (M+.4),
656 (M+-0 CH3, 100).

(157): 8-acety]-14-m-bromobenzoylchasmanine

(154)の方法に頂いて合成。 (y.79%) mp 142~142.5° (n-hexane). Anal Calcd. C34H46N08Br: C, 60.35; H, 6.85; N, 2.07. Found: C, 60.45; H, 7.02; N, 2.26. UV 入 max nm (10g &): 232 (4.02), 284 (2.98). IR) max cm-1: 1735、 NMR (60HHz) d: 5.03 (1H, t, J=5Hz, C14βH), 1.54 (3H,S,0Ac). MS m/2 (%): 676 (M[†],2.3), 678 (2), 645 (M[†]-oMe, 80), 647 (100).

(158): 8- acetyl-14-p-bromobenzoyl-chasmanine

(154)の方法に川頂いて合成。 (y. 66%) 無色アリズム晶。mp 173~174°(n·hexane).

Anal Calcd. C34 H46 N O8 By: C,60·35; H, 6·85; N,2·07·Fiound: C,60·06; H,6·93; N,1·93. UV入 max nm (log E): 248 (4·32), 285 (2·98). IR / max cm⁻¹:
1720. NHR (60 HHz) よ: 5·01 (1H, t, J=5Hz, C14 β H), 1·43 (3H,S,0 Ac).
145 m/z (%): 676 (H⁺·5) 678 (4·4), 645 (H⁺0Me,100), 647 (97).

(159): 8-acety/-14-p-nitrobenzoyl-chasmonine

(154)的方法に順いて合成: (y 67%). mp 151.5~152.5 (n hexane). Anal Calcd. C34H46N2O10: C. 63.53: H. 7.21: N. 4.36. Flound: C. 63.59; H. 7.25: N. 4.21. UV入 max nm (log 8): Z60 (4.13). IR / max cm⁻¹: 1735. NMR (60MHz) 3: 8.23 (4H.S. aromatic H), 5.03 (1H.t.) J= litz, C14 BH), 1.45 (3H.S., 0 Ac). MS M2 (%): 642 (M⁺, 3.3), 611 (M⁺-0 Me, 100).

(160): 8-acetyl-14-cinnamoyl-chasmanine

(154)的方法に関して合成。 (y.58%). mp 127~130°(Et20-n·hexane).

Amal Calcd. C36H49N0g: C, 69.30; H, 7.93; N, 2-25 · Flound: C, 69.22;
H, 7.99; N, 2-29. UV入 max nm (log E): 218(4.23), 224(4.17), 280(4.38).
IR / max cm-1: 1735, 1715 · NMR (60MHz) J: 7.65, 6.36 (each IH. d. J=16Hz, J=c'), 4.90 (IM, t. J=5Hz, C14βH), 1-78(3H, S. OAc), MS M/2 (%): 623 (M1, 3), 592 (M1-09H3, 100).

(162): 8-acetyl-1,14-dibenzoyl-neoline

1.14-dibenzoyIneoline (164) を (154)の方法に従ってアセチル化し得た。 (y. 92%), amorphous, UV入max nm: Z30.5, 274.5. 281.5. IR / max cm-1: 1720. NMR (60MHz) 引: 8.20~7.2付近 (10H aromaticH), 4.95~ 5.50 (ZH, m. C1BH, C1BH), 1.35 (3H,S, OAc). HS m/z (%): 687 (H! 2), 566 (M*-OCOPh, 100), 506 (H*-OCOPh-AcOH39).

(161): 8-acetyl-14-anisoyl-chasmanine N-0

(154) 51mgの CHacla (1ml) 溶液に m-CPBA (1·1eg, 19mg)を 0°Cにてかえ、このする1時間撹拌する。反応液をアルミナ(3g)クロマトに付し、CHCl3分値を更にシリカ(2g)カラムクロマトに付す。50%Heon-CHcl3 溶出音Dより (161)を 42mg (収率 81%) 得る。 amorphous、 UV入max nm: 258、 IR / max cm-1: 1730、1714、1609. NMR (60MH2) る:1.49 (3H、木、J=7Hz、N-CHaCH3) - MS M2 (%): 643 (No, M¹)、568 (89)、508(100)。

8-acetyl-14-benzoyl-neoline (162)の合成

a) Neoline (29) ---- (165): (29) 502 mg a pyridine (6 ml)溶液に一18°

CICT CCI3 CH2 OCOCI (1.4 eg. 220 μI) E 7分间で滴下し、一たん 0°にもじした後,再ひ~-18° CICT I時间 搅拌する。米水色加之、5%NaHCO3 水溶液にてpH E 8 とし CHCI3 抽出、有機局を常法に従い処理し、得た残渣を中性でルシナ (grade IV)に付し、508 mg (y.72%)の 1- carbonate (165) を得る。 mp 122~123° (Et20-n-hexane) Anal Calcd. C27 H 40 N 08 Cl3: C. 52.90; H. 6.58; N. 2.29 · Found: C,52.88; H. 6.42; N. 2.21 · IR / max cm-1: 1773, 1758, 3450, 3570 · NMR (60 MH2) δ: 4.86, 4.59 (each 1H, d. J=12 Hz, -0 CH2 ccl3). MS. Mz (%): 611 (H+, 1.2), 613 (1.2), 420 (M+-0 coo CH2 ccl3 , 100).

- b) (165) → (166): (165) 50 mg n pyridine (1mi) 溶液に phcocl (5eg, 48μl) E加之, 整温にて 1時向撹拌する。米水を加之, 5%NaHCO3 FIV かり性とし CHCl3 抽出。有機局を常法に従い処理し、得た残渣をシ)カカラムで精製し、14-benzoate (166)を56 mg (y.96%) 得る。 amorphous、IR/max cm-1: 1755, 1725. NMR (60MHz) よこ8.05~ 7.30 (5H, aromatic H)、5.08 (1H.t, J=5Hz, C14-β-H)、 MS 以 (%): 715 (Mt1)、524 (Mt ocooctaccl3,100). C) (166) → (167): (166) ≥50 mg を Ac20 (10m1)に添かし、p-T30H·H20 (1.5eg, 104 mg)を加之、Arガス下、80° Cにて2時间撞拌する。Ac20を減圧下渡縮し、5%NaHCO3 アルカリ性として CHCl3 抽出、有機局を常法に従い処理し、得た残渣をシリカクロマトで精製し、8-acetate (167)を240 mg (y.91%)得る。amorphous、IR/max cm-1: 1755、1725. NMR (60HHz)よ: 1.37 (3H、5)、MS%(%): 757 (Mt.0.5)、566 (Mt-ocooctaccl3,100).
- d) (167) → (162): (167) 230 mg & AcOH (5ml) に溶かし、Zn末 (234 mg) を加え、室温にて一晩撹拌する。 Znも3取し、4%MeoH-CHC|3にて洗いむ。 ろ液を 2N-Na2C03 水溶液にて洗浄する。 水房を Cl1c|3で、陸抽出。 合わせた有機 房を常法に従い処理し残渣 192 mg を得る。これを Fb0-n-hexaneから 2番組化し、(162) & 80 mg 得、母液を中性 31レナクロトで、精製し 更に 26 mg の (162) を得た。

計 106 mg (y.60%). mp 192~194°, 無色プリス、山間(Et20-n-hexane). Anal Calcd. C 33 H45 NO8: C. 67.90; H, 7.70; N, 2.40 Flound: C, 67.68; H, 7.80; N, 2.36. IR μmax cm⁻¹: 1730, 1720. NMR (60 MHz) δ: 5.05 (1H, t, J=5Hz, C14βH), 1.40 (3H, S, OAc). MS M2(%): 583 (M+,34), 566 (M+-611,100).

3-benzoyl-8-acetyl-ezochasmanine(150)a合成

- a) ezochasmanine (48) → (168): (48)160 mg a pyridine(4ml)溶液に、-15°C T··ccl3CH2ococl (2eg、0.094m)を5分向で滴下し、このする1時向、次に、多温にて1時向撹拌した。反応液に水水を加之、5%Nan co3 アルカリ性としては3抽出。有機乃を常法に従い処理し、得た残渣を中性アルジ (gradeIV)に付し分離する。3、14-di-carbonate 47 mg (y.17%)、3-carbonate 28 mg (y.13%) と共に、14-carbonate (168)を94 mg (y43%)得る。(168):amorphous、IR/max cm-1: 3590、3420、1760、NMR (60MHz) る:4.82、4-67 (each 1H、d J=11Hz、-のCH2CEl3)、MS% (%): 641 (Mt.4)、643 (3)、610 (Mt-0CH3、100)、612 (98)。
 - b) (168) —> (169): (169) 80 mg on pyridine (2ml)溶液 に phcocl (0.145 ml) を加之、Ar下、80~85° cにて 2.5 時由 擅拌。通常の後処理をし、得た残渣をシリカカラムクロマトに付し、1~10% MeoH-CHcl3溶出部より 3-benzoate (169)を60mg (収率65%)得る。 amorphous。 UV 入 max nm: 230. IR / cmcl3 cm-1: 3600、1765、1720. NMR (60 MHz) d: aromatic H (5H)、5.13 (1H.m. C3-H). 4.83、4.60 (each 1H. d. J=12Hz、-0 CH2ccl3). MS M/2 (%): 745 (Mt. 2)、747(2)、714 (M*-och3、55)、716 (56)、105 (100).
 - C) (169) --> (170): (169) 45 mg の ACO (1m1) 溶液に p-TsOH H2O (14mg) を加之、Arガス下、85~93° Cにて 乙時间撹拌・通常の使処理 ((167) m合成に順じる) をし、得た残渣を acetone より 結晶化し、(170)を30 mg (y-76%) 得る。mp 193.5~194.5.Ana/ Calcd. C37H48 NOuccl3· ± C3H60: C 56·51>H 6·28;

N. 1.78. Fiound: C, 56.93; H, 6.32; N, 1.72. UV入 max nm: 231. IR/max cm-1: 1765, 1735, 1720. NMR (60MHz) が aromatic H (5H), 4.71 (2H, S. -OCH2CCl3), 2.14 (2.5H, S. O=C(CH3)), 1.98 (3H, S.OAc). MS m/2 (%): No M+, 758 (H+2-OCH3, 68).756 (M+OCH3, 100), 105 (100). d) (170) → (150): (170) 21 mg の AcOH (0.7ml) 溶液に区内末 (20mg) を加え、空温にて1.5時間撹拌後、更に Zn末 (20mg) を追加して 2時間撹拌する。 (162) 4合成の時と同様に処理をし、得た残渣をアルミナカラムクロマトに付す。 50% benzene-AcOEt 心 AcOEt 溶飲部 31) (150)を14mg (y.86%) 得た。 amorphous, UV 入max nm: 231. IR /max cm-1: 3470, 1725. NMR (60MHz) が aromatic H (5H), 5.12 (1H, d,d, J1=10, J2=8Hz. C3βH), 2.00 (3H, S.OAc). MS m/2 (%): 613 (M+3.5), 582 (H+0 CH5, 42), 522 (M+0 CH3-ACOH, 100).

文献

1) P.L.Geiger, Ann., 7, 269 (1833).

Lett., 1971, 867.

- 2) W.A.Jacobs, and R.C.Elderfield, J.Am.Chem.Soc., <u>58</u>, 1059 (1936).
- 3) K.Wiesner, R.Armstrong, M.F.Bartlett, and J.A.Edwards, J.Am. Chem.Soc., 76, 6068 (1954).
- 4) M.Przybylska, and L.Marion, Can.J.Chem., 34, 185 (1956).
- 5) a) S.W.Pelletier, O.D.Dailey, Jr., N.V.Mody, and J.D.Olsen, J. Org.Chem., 46, 3284 (1981).
 - b) O.E.Edwards, Can.J.Chem., 59, 3039 (1981).
- 6) a) K.Wiesner, E.W.K.Jay, R.Tsai, C.Demerson, L.Jay, T.Kanno, J.Krepinsky, A.Vilim, and C.S.Wu, Can.J.Chem., <u>50</u>, 1925 (1972). b) K.B.Birnbaum, K.Wiesner, E.W.K.Jay, and L.Jay, Tetrahedron
- 7) S.W.Pelletier, W.H.DeCamp, J.Finer-Moore, and Y.Ichinohe, Cryst.Struct.Comm., 8, 299 (1979).
- 8) S.W.Pelletier, and N.V.Mody in "The Alkaloids" vol.XVII, R.H. F.Manske ed. Academic Press, New York, 1979 Chapter 1.
- 9) 岡本敏彦, "化学七工業" 14, 792 (1961)。
- 10) 坂升進一郎, "現代東洋医学"2, 50 (1981)。
- 11) S.W.Pelletier, and L.H.Keith, in "The Alkaloids" vol.XII, R.H.F.Manske ed. Academic Press, New York, 1970 Chapter 1.
- 12) S.W.Pelletier, and N.V.Mody, J.Natural Prod., 43, 41 (1980).
- 13) Y.Ichinohe, Kagaku no Ryoiki, 32, 27 (1978).
- 14) W.Nagata, T.Sugasawa, M.Narisada, and T.Wakabayashi, Y.Hayase, J.Am.Chem.Soc., 85, 2342 (1963).
- 15) W.Nagata, M.Narisada, T.Wakabayashi, and T.Sugasawa, J.Am.Chem. Soc., 86, 929 (1964).
- 16) S.P.Sethi, R.Sterzycki, W.W.Sy, R.Marini-Bettolo, T.Y.R.Tsai, and K.Wiesner, Heterocycles, <u>14</u>, 23 (1980).
- 17) S.P.Sethi, K.S.Atwal, R.M.Marini-Bettolo, T.Y.R.Tsai, and K.Wiesner, Can.J.Chem., <u>58</u>, 1889 (1980).
- 18) K.Wiesner, T.Y.R.Tsai, K.Huber, S.E.Bolton, J.Am.Chem.Soc., 96, 4990 (1974).
- 19) a) T.Y.R.Tsai, C.S.J.Tsai, W.W.Sy, M.N.Shanbhag, W.C.Liu, S.F. Lee, and K.Wiesner, Heterocycles, 7, 217 (1977).
 b) K.Wiesner, T.Y.R.Tsai, and K.P.Nambiar, Can.J.Chem., 56, 1451 (1978).
- 20) 落合英二 1日本東洋医学会 誌 19,1 (1968).
- 21) O.E.Edwards, "Specialist Periodical Reports", The Alkaloids,

- vol. I p.343, London, The Chemical Society (1971).
- 22) ビキノビロシ "現代東洋医学" 2,44 (1981)
- 23) 陳 政雄 "化学n 領域" 1981, 18
- 24) S.Sakai, H.Takayama, T.Okamoto, Yakugaku Zasshi, 99,647(1979).
- 25) E.Ochiai, T.Okamoto, S.Sakai, M.Kaneko, K.Fujisawa, U.Nagai, and H.Tani, Yakugaku Zasshi, 76, 550 (1956).
- 26) T.Okamoto, M.Natsume, and S.Kamata, Chem.Pharm.Bull., <u>12</u>,1124 (1964), b)
- 27) S.W.Pelletier, Z.Djarmati, S.Lajsic, and W.H.DeCamp, J.Am.Chem. Soc., 98, 2617 (1976).
- 28) S.W.Pelletier, L.H.Keith, and P.C.Parthsarathy, J.Am.Chem.Soc. 89, 4146 (1967).
- 29) E.Ochiai, T.Okamoto, K.Fujisawa, T.Sugasawa, S.Sakai, M.Kaneko, U.Nagai, Yakugaku Zasshi, 76, 1423 (1956).
- 30) M.S. Yunusov, Ya, V. Rashkes, V.A. Telnov, and S.U. Yunusov, Khim. Prirod. Soedineii, 1969, 515.
- 31) M.S.Yunusov, Ya.V.Rashkes, and S.Yu.Yunusov, ibid., 1972, 85.
- 32) S.W.Pelletier, and Z.Djarmati, J.Am.Chem.Soc., 98, 2626 (1976).
- 33) S.Yu.Yunusov, E.V.Sichkova, and G.F.Potemkin, J.Gen.Chem.USSR, 24, 2207 (1971).
- 34) M.A.Khaimova, M.D.Palamoreva, N.M.Mollov, and V.P.Krestev, Tetrahedron, 27, 819 (1971).
- 35) E.Ochiai, T.Okamoto, S.Sakai, and A.Saito, Yakugaku Zasshi, 76, 1436 (1956).
- 36) a) V.Skaric, and L.Marion, J.Am.Chem.Soc., <u>80</u>, 4434 (1958).
 b) L.Marion, Pure and Applied Chemistry, <u>4</u>, 621 (1963).
- 37) G.R.Waller, S.D.Sastry, and K.F.Kinneberg, Proc.Okla.Acad.Sci., 53, 92 (1973).
- 38) V.Skaric, and L.Marion, Can.J.Chem., 38, 2433 (1960).
- a) S.Sakai, N.Shinma, and T.Okamoto, Heterocycles, 8,207(1977).
 b) S.Sakai, N,Shinma, S.Hasegawa, and T.Okamoto, Yakugaku
 Zasshi, 98, 1376 (1978).
- 40) W.I. Taylor, W.E. Walls, and L. Marion, Can. J. Chem., 32,780 (1954).
- a) R.Anet, D.W.Clayton, and L.Marion, Can.J.Chem., 35, 397(1957).
 b) E.Ochiai, T.Okamoto, and M.Kaneko, Chem.Pharm.Bull., 6,
 730 (1958).
- 42) S.W.Pelletier, N.V.Mody, R.S.Sawhney, and J.Bhattacharyya, Heterocycles, 7, 327 (1977).
- 43) H.Takayama, M.Ito, M.Koga, S.Sakai, and T.Okamoto, Heterocycles, 15, 403 (1981).

- 44) H.Suginome, T.Koyama, Y.Kunimatsu, J.Fac.Sci.Hokkaido Univ. Ser.III., vol.IV, 16 (1950).
- 45) F.Kurosaki, T.Yatsunami, T.Okamoto, and Y.Ichinohe, Yakugaku Zasshi, 98, 1267 (1978).
- 46) H.Takayama, A.Tokita, M.Ito, S.Sakai, F.Kurosaki, and T.Okamoto, Yakugaku Zasshi, submitted.
- 47) H.Suginome, T.Koyama, Y, Kunimatsu, J.Fac.Sci.Hokkaido Univ. Ser.III., vol.V, 14 (1950).
- 48) T.Okamoto, Chem. Pharm. Bull., 7, 44 (1959).
- 49) S.W.Pelletier, L.H.Wright, M.G.Newton, and H.Wright, Chem. Commun., 1970, 78.
- 50) a) M.Natsume, Chem.Pharm.Bull., <u>10</u>, 879 (1962).
 b) T.Okamoto, M.Natsume, H.Zenda, and S.Kamata, ibid., <u>10</u>, 883 (1962).
- 51) T.Okamoto, M.Natsume, Y.Iitaka, A.Yoshino, and T.Amiya, Chem. Pharm.Bull., 1270 (1965).
- 52) M.S.Yunusov, Ya.V.Rashkes, S.Yu.Yunusov, and A.S.Samatov, Khim.Prirod.Soedinenii., <u>1970</u>, 101.
- 53) H.Suginome, S.Kakimoto, and J.Sonoda, J.Fac.Sci.Hokkaido Univ. Ser.III Chem., vol.IV 25 (1950).
- 54) a) K.Wiesner, P.Ho, D.Chang, Y.K.Lam, C.S.J.Pan, and W.Y.Ren, Can.J.Chem., 51 3978 (1973). b) S.Lee, G.M.Sathe, W.W.Sy, P.Ho, and K.Wiesner, ibid., 54, 1039 (1976).
- 55) K.Wiesner, H.W.Brewer, D.L.Simmons, D.R.Babin, F.Bickelhaupt, J.Kallos, and T.Bogri, Tetrahedron Lett., 1960, 17.
- 56) L.Marion, and J.P.Boca, Tetrahedron Suppl.8 part I,101 (1966).
- 57) O.E.Edwards, "Diterpenoid Alkaloids" in "The Alkaloids" (Specialist Periodical Reports), ed.J.E.Saxton, The Chemical Society London, 1971 vol.I,p369.
- 58) O.Achmatowicz, Jr., Y.Tsuda, L.Marion, T.Okamoto, M.Natsume, H.Chang, and K.Kajima, Can.J.Chem., 43, 825 (1965).
- 59) S.W.Pelletier, W.H.DeCamp, and Z.Djarmati, Chem.Commun., 1976, 253.
- 60) S.W.Pelletier, and S.W.Page, "Diterpenoid Alkaloids" in "The Alkaloids" (Specialist Periodical Reports), ed.J.E.Saxton, The Chemical Society, London, 1973 vol.III, p235.
- 61) R.C.Cookson, J.Henstock, and J.Hudec, J.Am.Chem.Soc., 88, 1060 (1966).
- 62) H. Beierbeck, and J.K. Saunders, Can. J. Chem. , 54, 2985 (1976).

- 63) T.B.Windholz, D.B.R.Johnston, Tetrahedron Lett., 1967, 2555.
- 64) a) R.E.Gilman, L.Marion, Can.J.Chem., 40,1713(1962). b) idem., Tetrahedron Lett., 1962,923. c) Y.Tsuda, L.Marion, Can.J.Chem., 41, 3055 (1963).
- 65) Yang Tsung-ren, Hao Xiao-jiang, Chow Jun, Acta Botanica Yunnanica 1, 41 (1979).
- 66) a) E.Ochiai, T.OKamoto, and S.Sakai, Yakugaku Zasshi, <u>75</u>, 545 (1955). b) L.H.Keith, S.W.Pelletier, J.Org.Chem., <u>33</u>,2497 (1968).
- 67) H.Guinaudeau, M.Leboeuf, A.Cave, Lloydia, <u>38</u>, 275 (1975).
- 68) M.M.Nijland, Pharm.Weekblad., 98, 623 (1963).
- 69) a) T.Kosuge, M.Yokota, M.Nagasawa, Yakugaku Zasshi, 98, 1370 (1978). b) Idem., Chem.Pharm.Bull., 24, 176 (1976).
- 70) C.Konno, M.Shirasaka, H.Hikino, Planta Medica, 35, 150 (1979).
- 71) H.Takayama, S.Sakai, K.Yamaguchi, and T.Okamoto, Chem.Pharm. Bull., in press.
- 72) a) H.Suginome, N.Katsui, and G.Hasegawa, Bull.Chem.Soc.Japan, 32,604 (1959). b) N.Katsui, ibid., 32, 774 (1959).
- 73) S.W.Pelletier, N.V.Mody, and N.Katsui, Tetrahedron Lett., 1977, 4027.
- 74) O.Achmatowicz, Jr., Y.Tsuda, L.Marion, Can. J. Chem., 43, 2336 (1965).
- 75) J.C.Sheehan, D.D.H.Yang, J.Am.Chem.Soc., 80, 1154 (1958).
- 76) P.S.Ellington, D.G.Hey, G.D.Meakins, J.Chem.Soc.(C), 1966, 1327.
- 77) L.M.Jackman, S.Sternhell, "Application of NMR Spectroscopy in Organic Chemistry" 2nd.edition, Pergamon Press, New York, 1969, p98.
- 78) G.Berti, B, MAcchia, F. Macchia, Tetrahedron Lett., 1965, 3421.
- 79) H.O.Hause, "Modern Synthetic Reactions" 2nd.edition, W.A.Ben-jamin inc., California, 1972, p301.
- 80) A.J. Fatiadi, Synthesis, 1974, 229.
- 81) G.Berti, F.Bottari, B.Macchia, F.Macchia, Tetrahedron, 21. 3277 (1965).
- 82) W.C.Still, M.Kahn, A.Mitra, J.Org, Chem., <u>43</u>, 2923 (1978).
- 83) M.Karplus, J.Chem.Phys., 33, 1842 (1960).
- 84) K.Wiesner, "Stereoselective synthesis of Natural Products" ed. by W.Bartmann, E.Winterfeldt, Excerpta Medica, 1979, p3.
- 85) G.Hofle, W.Steglich, H.Vorbruggen, Angew.Chem.Int.Ed.Engl., 17, 569 (1978).
- 86) N.Miyashita, A.Yoshikoshi, P.A.Grieco, J.Org.Chem., <u>42</u>,3772 (1977).

- 87) F.R.Pfeiffer, C.K.Miao, J.A.Weisbach, J.Org.Chem., <u>35</u>, 221 (1970).
- 88) E.J.Corey, J.W.Suggs, Tetrahedron Lett., 1975, 2647.
- 89) a) K.Omura, A.K.Sharma, D.Swern, J.Org.Chem., 41, 957 (1976).
 b) S.L.Huang, K.Omura, D.Swern, ibid., 41, 3329 (1976).
- 90) E.J.Corey, and C.V.Kim, Tetrahedron Lett., 1974, 287.
- 91) K.Omura, and D.Swern, Tetrahedron, 34, 1651 (1978).
- 92) R.F.Borch, and A.I.Hassid, J.Org.Chem., 37, 1673 (1972).
- 93) J.S.Baran, J.Org.Chem., <u>25</u>, 257 (1960).
- 94) E.C.Ashby, J.R.Boone, J.P.Oliver, J.Am.Chem.Soc., <u>95</u>, 5427 (1973).
- 95) H.Takayama, S.Hasegawa, S.Sakai, J.Haginiwa, and T.Okamoto, Chem.Pharm.Bull., 29, 3078 (1981). b) Idem., Yakugaku Zasshi submitted.
- 96) D.Tourwe, and G.Van Binst, Heterocycles, 9, 507 (1978).
- 97) H.Suginome, K.Ohno, J.Fac.Sci.Hokkaido Univ.Ser.III Chem.<u>5</u>, 36 (1950).
- 98) R.C.Cookson, M.E.Trevett, Chem. and Indust., 1956, 276.
- 99) H.Suginome, S.Imato, S.Yamada, N.Katsui, Bull.Chem.Soc.Japan, 32, 819 (1959).
- 100) O.E.Edwards, M.Los, L.Marion, Can.J.Chem., 37, 1996 (1959).
- 101) Z. Valenta, Chem. and Indust., 1959, 633.
- 102) Z. Valenta, and K. Wiesner, Chem. and Indust., 1956, 354.
- 103) O.E.Edwards, J.Chem.Soc.Chem.Commun., 1965, 318.
- 104) Z. Valenta, and T.G. Wright, Tetrahedron, 9, 284 (1960).
- 105) a) Huang-Minlon, J.Am.Chem.Soc., <u>68</u>, 2487 (1946). b) S.Sakai N.Aimi, K.Katano, H.Ohhira, J.Haginiwa, Yakugaku Zasshi, <u>94</u>, 225 (1974).
- 106) P.W.Codding, K.A.Kerr, M.H.Benn, A.J.Jones, S.W.Pelletier, N.V.Mody, Tetrahedron Lett., 1980, 127.
- 107) A.J.Jones, M.H.Benn, Can.J.Chem., <u>51</u>, 486 (1973).
- 108) L.Marion, J.P.Boca, J.Kallos, Tetrahedron Suppl.8 part I,101 (1966).
- 109) V.Skaric, and L.Marion, Can.J.Chem., 39, 1579 (1961).
- 110) O.E.Edwards, L.Marion, D.K.R.Stewert, Can.J.Chem., 34,1315(1956).
- 111) H.Hikino, C.Konno, H.Tanaka, Y.Yamada, Y.Ohizumi, K.Sugio, H.Fujimura, K.Endo, Yakugaku Zasshi, 97, 359 (1977).
- 112) H.Hikino, T.Ito, C.Yamada, H.Sato, C.Konno, Y.Ohizumi, J.Pharm.
 Dyn., 2, 78 (1979).
- 113) 今井治郎 "東京医科大学雜誌、" 7, 159 (1949)。
- 114) 菅原伯 "日燕理誌、" 56, 1263 (1960)。